

کالج پروژه

www.collegeprozheh.ir



دانلود پروژه های دانشگاهی

بانک موضوعات پایان نامه

دانلود مقالات انگلیسی با ترجمه فارسی

آموزش نگارش پایان نامه ، مقاله ، پروپوزال

به نام آرامش بخش دل ها



دانشگاه صنعتی شریف

دانشکده مهندسی برق

پایان نامه دکتری مهندسی برق

گرایش الکترونیک-ادوات

عنوان:

بهینه سازی عملکرد کیوبیت های ابر رسانا

Optimaization of the superconductor qubites operation

نگارنده:

حسام زندی

استاد راهنما: دکتر سینا خراسانی

استاد همکار: دکتر مهدی فردمنش

شهریور ۱۳۹۱

به نام خدا

پیشگفتار

این پایان نامه نتیجه تحقیقات و تلاش های این جانب در طی دوره دکتری و در مدت بیش از ۴ سال کسب علم و تجربه از استادی و مراکز علمی در گوشه و کنار داخل و خارج این سرزمین می باشد. امید است که نتایج ارایه شده، سهم هر چند بسیار کوچکی در قطار سریع السیر پیشرفت معلومات بشری داشته باشد. با توجه به این که موضوع مورد بحث، یکی از داغترین موضوعات روز دنیا می باشد و یکی از موارد استراتژیک حساس در مراکز علمی کشورهای تراز اول دنیاست، انتخاب این موضوع و بدست آوردن خروجی مورد نظر بسیار دشوار می نمود. با توفيق الهی و همکاری استاد گرامی توانستیم به سطحی از این موضوع دست پیدا کنیم که نتایج این تحقیق در چندین مجله و گرد همایی معتبر در سرتاسر دنیا ارایه شد و پسخوردهای بسیار مثبت و امیدوار کننده ای دریافت گردید. نویسنده بسیار امیدوار است که پس از ارایه این پایان نامه، این مسیر ادامه پیدا کرده و در آینده نه چندان دور تکنولوژی ساخت قابل قبول روز دنیا در دسترس قرار گرفته و این ادوات در داخل میهن عزیzman ساخته و مورد بهره برداری قرار گیرند.

حسام زندی

تشکر و قدردانی

ای خدای پاک و بی انباز و یار
دست گیر و جرم ما را در گذار
یاد ده ما را سخن‌های رقیق
کان به رحم آرد تو را، ای خوش رفیق
گر خطأ گفتیم، اصلاحش تو کن
مصلحی تو، ای تو سلطان سخن
کیمیا داری که تبدیلش کنی
گرچه جوی خون بود، نیلش کنی
اینچنین میناگریها کار توست
اینچنین اکسیرها ز اسرار توست

پیش از هر چیز خداوند را شاکرم که به من توانایی تهیه این پایان‌نامه را داد. پس از آن از خانواده‌ام (مادرم) سپاس‌گزارم که طی این مدت به طرق مختلف در راستای تحصیل علم و دانش مرا یاری نمودند. همچنین مراتب تقدیر و تشکر فراوان خود را از اساتید بزرگوارم جناب آقای دکتر سینا خراسانی و جناب آقای دکتر مهدی فردمنش به پاس زحمات بی دریغشان، به جای می آورم. بدون شک علم‌آموزی در محضر این اساتید بزرگوار از ارزشمندترین تجارب من در طول زندگی ام خواهد بود.

زحمت داوری این پروژه را اساتید گرامی جناب آقایان دکتر و و تقبل فرمودند. از این اساتید بزرگوار که با راهنمایی‌ها و پیشنهادات ارزنده‌ی خود از معایب این رساله کاسته و بر غنای آن خواهند افزود، صمیمانه تشکر و قدردانی می‌نمایم.

چکیده:

یکی از مهم‌ترین و پیشرفته‌ترین ابزارهای مورد نیاز بشر، وسایل محاسباتی همچون رایانه‌ها می‌باشند که در چند سال اخیر با توجه به رشد و پیشرفت سریع تکنولوژی نیمه‌هادی سریع‌ترین آنها ساخته شده‌اند. اما رایانه‌های امروزی پاسخ‌گوی همه این نیازها نیستند. دو مسئله بسیار مهم که در آنها ضعف محسوب می‌شود؛ یکی سرعت انجام محاسبات است که با توجه به حد نهائی تکنولوژی ساخت ادوات نیمه‌هادی و رسیدن به ابعاد نزدیک اتم، دیگر نمی‌توان به سرعت‌های بسیار بالاتر امیدوار بود، و دوم حل برخی مسایل بسیار پیچیده که با این‌گونه رایانه‌ها سال‌ها و بلکه قرن‌ها طول خواهد کشید. در حالیکه با توجه به اصول علم کوانتم و برخی الگوریتم‌های معرفی شده، این مسایل توسط یک رایانه کوانتمی در مدت زمان بسیار کمتر به نتیجه خواهد رسید. در رایانه‌های کوانتمی به منظور بهره‌گیری از اصول کوانتم به بیت کوانتمی نیاز است که ازین طرح‌های مختلف، بیت‌های کوانتمی بر مبنای مواد ابررسانا توجه و محبوبیت بیشتری را به خود اختصاص داده‌اند. تمامی تحقیقات انجام شده درباره این بیت‌ها با در نظر گرفتن ارتباط جریان و اختلاف فاز پیوند جوزفسون به صورت سینوسی خالص بوده است. اما این یک رابطه تقریبی است و به دلیل حساسیت بسیار بالای پیوندهای جوزفسون و حالت‌های کوانتمی، محاسبات دقیق‌تری احتیاج است. بدین منظور آنالیزی از موضوع تونل‌زنی در پیوندهای جوزفسون ارایه داده‌ایم که در آن پس از حل دقیق معادله گینزبرگ-لاندau با روشی نوین احتمالات تونل‌زنی حالت‌ها در یک کیوبیت فاز تک پیوندی را بدست آورده‌ایم. در این پروژه برای اولین بار تأثیر دقیق پارامترهای خود پیوند و پارامترهای خارجی سیستم همچون عرض پیوند، جریان بایاس و میدان مغناطیسی خارجی را بررسی کرده و پس از تعریف و محاسبه معیارهای منطقی برای عملکرد بهینه کیوبیت، شرایط مناسب عملکرد و اندازه‌گیری حالت در آن را بدست آورده‌ایم. همچنین نتایج محاسبات بدست آمده را با گزارش یک آزمایش تجربی از یک گروه معتبر مقایسه نموده و همانگی بسیار خوبی بین این دو یافته‌ایم که صحت محاسبات را تأیید می‌کند. در ادامه مشخصات سیستم‌های کوانتمی توپولوژی را بررسی نموده و توسط مفهوم تونل‌زنی دو-بعدی، ساختار جدیدی معرفی کرده‌ایم. در سیستم‌های کوانتمی توپولوژی به دلیل درهم‌تنیدگی حالت‌های کوانتمی، اندازه‌گیری مستقل کیوبیت‌ها امکان‌پذیر نیست؛ به همین دلیل سیستم پیشنهادی در این پروژه طوری طراحی شده است که همشتوایی اندازه‌گیری در آن قابل صرف نظر باشد. همچنین، با الهام از مدار دو کیوبیتی، سیستم تک کیوبیتی دو پیوندی طراحی نموده‌ایم که در آن تشابه اندازه-گیری پیش‌بینی شده به مقدار ۹۹٪ رسیده است. این تشابه اندازه‌گیری عالی حتی به وسیله پالس‌هایی با عرض کمتر از یک نانو ثانیه به دست می‌آید، در حالی که بالاترین تشابهات گزارش شده تا به امروز توسط پالس‌های زمانی پهن بدست آمده‌اند. در انتها عدم همدوسی این ساختار را بررسی نموده و بهبود قابل ملاحظه‌ای را در مدار طراحی شده مشاهده کرده‌ایم.

کلمات کلیدی :

اطلاعات کوانتمی، ابررسانا، کیوبیت فاز، پیوند جوزفسون، تشابه اندازه‌گیری، همشتوایی

فهرست مطالب

۱	مقدمه
۵	ساختار پایاننامه
فصل ۱ مروری بر محاسبات کوانتومی	
۷	
۷	۱-۱ مقدمه
۸	۲-۱ اطلاعات کوانتومی و محاسبات کوانتومی
۱۱	۳-۱ بیت کوانتومی (QUBIT) و پیاده سازی آن
۱۳	۴-۱ کاواک کوانتومی الکترودینامیکی (CAVITY QUANTUM ELECTRODYNAMICS)
۱۶	۱-۴-۱ معادلات کوانتومی برهمکنش موج (نور) و اتم (ماده)
۲۳	۵-۱ مدارهای کوانتومی ابررسانا
فصل ۲ اصول ابررسانایی و مقدمهای بر پدیده جوزفسون	
۲۴	
۲۴	۱-۲ مقدمه
۲۸	۲-۲ تئوریهای ابررسانایی
۲۹	۲-۲-۱ تئوری BCS
۳۱	۲-۲-۲ مدل دوسیالی ابررسانا
۳۳	۳-۲ مقدمهای بر ویژگیهای پیوند جوزفسون در ابررسانا
۳۳	۱-۳-۲ مدل گینزبرگ-لاندئو برای ابررسانایی
۳۵	۲-۳-۲ تونلزنی در پیوندهای ابررسانا
۳۷	۳-۳-۲ تونلزنی الکترونهای معمولی در پیوند SIS
۳۸	۴-۳-۲ تونلزنی زوچالکترونها: پدیده جوزفسون و روابط آن
۴۲	۵-۳-۲ انرژی تزویج جوزفسون (Josephson coupling energy)

۶-۳-۲	مدار معادل پیوند جوزفسون.....
۷-۳-۲	عملگر های کوانتمی در هامیلتونی پیوند جوزفسون.....
۸-۳-۲	مشخصه ایستایی ۷-اپیوند جوزفسون

فصل ۳ بیتهای کوانتمی ابررسانا

۴۹

۱-۳	مقدمه.....
۲-۳	مدارهای کوانتمی ابررسانا.....
۳-۳	مدار کوانتمی الکترودینامیکی (CIRCUIT QUANTUM ELECTRODYNAMICS).....
۴-۳	بیتهای کوانتمی ابررسانا.....
۵-۳	۱-۴-۳ انواع کیوبیتهای ابررسانا
۵-۵	۳-۵ کیوبیت ابررسانایی بر مبنای فاز
۶-۳	۱-۵-۳ ساختار کیوبیت فاز.....
۷-۳	۲-۵-۳ حالتهای کیوبیت فاز.....
۷-۵	۳-۵-۳ محاسبه پتانسیل فازی.....

فصل ۴ تحلیل دقیق پیوند جوزفسون

۶۷

۱-۴	مقدمه.....
۲-۴	معادله گینزبرگ-لاندائو.....
۳-۴	رابطه تقریبی مرسوم چگالی جریان الکتریکی.....
۴-۴	محاسبه دقیق چگالی جریان الکتریکی پیوند.....
۵-۴	نتایج محاسبات.....
۶-۵-۲	۱-۵-۲ مقادیر دقیق چگالی جریان الکتریکی پیوند

فصل ۵ بهینهسازی دقیق کیوبیت ابررسانا

۷۵

۷۵.....	۱-۵	مقدمه.....
۷۶.....	۲-۵	محاسبه احتمالات تولزنجی حالات کیوبیت.....
۸۳.....	۳-۵	نتایج محاسبات.....
۸۳.....	۵-۳-۱	اثر عرض پیوند.....
۸۷.....	۵-۳-۲	اثر جریان بایاس.....
۸۷.....	۵-۳-۳	اثر سطح مقطع.....
۹۰.....	۵-۳-۴	اثر حضور میدان مغناطیسی خارجی.....

فصل ۶ کیوبیتهاي تزویج شده

۹۵

۹۵.....	۱-۶	مقدمه.....
۹۶.....	۲-۶	اندازهگیری حالت سیستمهای دو کیوبیتی.....
۱۰۰.....	۶-۳	طراحی مدار تزویج با استفاده از خازن و DC-SQUID.....
۱۰۳.....	۶-۳-۱	اندازهگیری حالت سیستم تزویجی توسط دو پالس مجزا.....
۱۱۲.....	۲-۳-۶	اندازهگیری حالت تنها توسط یک پالس.....
۱۱۳.....	۴-۶	طراحی تک کیوبیت با عملکرد عالی.....
۱۱۸.....	۵-۶	زمان عدم همدوسي در کیوبیت.....

فصل ۷ نتیجهگیری و پیشنهادهایی برای تحقیقات آتی

۱۱۹

۱۲۳.....	مراجع.....
----------	------------

فهرست جداول

جدول ۱-۲ دمای ابرسانایی برخی ابرساناهای دما بالا [۱۹] ۲۷
جدول ۱-۳. هر بیت کوانتمی به انواع مختلفی از نویز حساستر است. بیتهاي کوانتمی ساده که متغیر کنترلی و خواندنی یکسانی را استفاده میکنند، حساسیت بیشتری را نسبت به نویز در آن پارامتر از خود نشان میدهند. در بیتهاي کوانتمی که متغیرهاي خواندنی دیگری را استفاده میکنند، میتوان اثرات نویز را با کار کردن در نقاط غیر حساس مرتبه اول و خواندن مشخصهای مرتبه دوم کاهش داد. ۵۲
جدول ۱-۶. زاویه فرار θ بر حسب قدرت تزویج b و شار مغناطیسی خارجی نرمالیزه $\pi\Phi_0/\Phi_0$. اعداد پررنگ: نتایج اعمال دو پالس جریان اندازهگیری همزمان. اعداد کمرنگ: تک پالس جریان اعمال شده است. ۱۰۸
جدول ۲-۶. مقادیر بهینه شده عرض پالس لازم اعمالی (ستون سوم) به یک سیستم تک کیوبیتی برای مقادیر مختلف جریان بایاس و جریان بحرانی پیوندهای جوزفسون. اعداد پررنگ در صورت: در کیوبیتی با یک پیوند جوزفسون با در نظر گرفتن پارامتر $(F=0.992, u=1000)$ ، اعداد کمرنگ در مخرج: در کیوبیتی با دو پیوند جوزفسون تزویج شده و پارامتر $(F=0.9999, u'=500000)$ ۱۱۸

فهرست اشکال

- شكل ۱-۱ - هر دو سطحی از انرژی میتواند به عنوان یک بیت کوانتمی استفاده شود. سطح ۰ وقتی اتفاق میافتد که بیت کوانتمی میرا شده و پس از مدتی سقوط میکند. وقتی به صورت جمع آثار به بیت کوانتمی نگاه کنیم، فاز حالت در فرکانسی که با توجه به اختلاف انرژی دو سطح تعیین میشود، تغییر میکند. اگر این انرژی در طول زمان تغییر کند (به دلیل نویز یا اغتشاش در سیستم) سرعت ساعت تغییر خواهد کرد و باعث از دست رفتن حساب زمان خواهد شد [۱۰].
۱۲.....
- شكل ۱-۲. یک اتم دو حالت که با موج داخل کاواک برهمکنش دارد. نرخ برهمکنش همدوس γ ، نرخ خروج فوتون K ، نرخ میرایی ناخواسته اتم برابر γ و نرخ تغییر حالت اتم برابر $T/1$ میباشد [۱۲].
۱۴.....
- شكل ۳-۱ (a) مدلی از سیستم کوانتمی الکترودینامیکی اتمهای ریدبرگ. ابتدا اتمها در حالت برانگیخته ریدبرگ قرار میگیرند. سپس در حالت اولیه قرار میگیرند و از فیلتر به سرعت میگذرند. وارد یک کاواک مایکروویو که تا نزدیکی یک درجه کلوین سرد شده میشوند و با فوتونهای درون آن برهمکنش انجام میدهند. در نهایت حالت اتمها، با پلاریزاسیون انتخابی اندازهگیری میشود. (b) نوسان رابی در خلا. یک اتم که در حالت برانگیخته قرار دارد به درون کاواک فرستاده شده و به صورت همدوس به جذب و آزاد کردن فوتون میپردازد. سپس تعداد حالت‌های برانگیخته اتم بر حسب زمان در کاواک محاسبه میشود [۱۰].
۱۷.....
- شكل ۴-۱ (a) تراشهای از یک کاواک کوانتمی الکترودینامیکی که در حال پذیرفتن یک ابر از اتمهای سزیم به درون خود میباشد. با تاباندن لیزر به درون کاواک حالت اتم تشخیص داده میشود. (b) گسسته شدن طیف در خلا که مشابه پاسخ یک مولکول با دو جفت سطح انرژی است که این دو سطح بر اساس قدرت پیوند از هم فاصله گرفته‌اند. (c) نمودار زمانی تابش کاواک که برای شمردن تعداد اتمهای درون آن مورد استفاده قرار گرفته است [۱۰].
۱۷.....
- شكل ۵. نمودارهای تراشهای انرژی پس از برهمکنش موج و اتم. خطوط گسسته انرژیهای

هامیلتونی تزویج نشده و خطوط توپر انرژیهای سیستم تزویج شده کامل میباشد؛ چپ: موج و اتم در تزویج قوی قرار دارند. راست: سیستم در رژیم پاشندگی قرار دارد [۹].

شکل ۱-۶. طیف یک کاواک کوانتمی الکترودینامیکی در رژیم پاشندگی قوی؛ راست: حول فرکانس اتم در تعداد فوتونهای مختلف. چپ: حول فرکانس رزوناتور؛ آبی: اتم در حالت برانگیخته، قرمز: پایه و سیاه: بدون اتم [۱۰].

شکل ۱-۷. نواحی مختلف کاری برای یک سیستم تزویج شده موج و اتم [۱۴].

شکل ۱-۸. a) یک نقطه کوانتمی درون مایکروپیلار از نیمههادیها (Al-As و Ga-As). b) یک بلور فوتونی دو بعدی که به یک مایکروپیلار تکیه داده شده است. c) نمای بالا از یک بلور فوتونی. مکان کوانتم دات پایین این سطح و درون ناخالصیها است [۱۷]-[۱۸].

شکل ۱-۹. شرایط بروز خاصیت ابررسانایی در عناصر جدول تناوبی [۱۹].

شکل ۲-۱. دیاگرام سطوح انرژی در دماهای صفر و غیر صفر (الف) نیمههادیان (الکترونها همواره فرمیون) ب) ابررسانا (الکترونها در حالت بوزون و زوج کوپر در شکل آبرالکترون) [۲۰].

شکل ۲-۲ پدیده تونلزنی [۲۰].

شکل ۴-۲. حالتهای مختلف تونلزنی [۲۱].

شکل ۵-۲. تونلزنی تک الکترونها در پیوند SIS [۲۱].

شکل ۶-۲. تونلزنی تک الکترونها در پیوند SIS در دمای غیر صفر [۲۱].

شکل ۷-۲. مدل مداری پیوند جوزفسون.

شکل ۸-۲. جریان نرمالیزه I/I_c بر حسب ولتاژ نرمالیزه شده GV/I_c .

شکل ۹-۲. منحنی مشخصه پیوندی با $\beta_c = 4$.

شکل ۱-۳. یک مجموعه از بیتهای کوانتمی مختلف. شکل اول، یک بیت کوانتمی بر پایه بار بر اساس جعبه زوج کوپر به همراه خواندن یک ترانزیستور تک الکترونی. شکل دوم، یک بیت کوانتمی

بار/فاز که جعبه زوج کوپری است که از طریق بار تحریک میشود، ولی متغیر خواندنی آن شار است. شکل سوم، یک بیت کوانتومی بر پایه فاز که هم متغیر کنترل و هم متغیر خواندنی آن فاز است. شکل چهارم، یک بیت کوانتومی بر پایه شار که جهت جریان، حالت کوانتومی آن است و شار متغیر خواندنی آن است [۲۴] و [۱۰].
۵۰

شکل ۲-۳. جعبه زوج کوپر به عنوان یک اتم قابل تنظیم Cooper pair (جفت‌های دایره‌ای شکل سبز رنگ) میتوانند بین جزیره‌های آبی رنگی که توسط جوزفسون جانکشن به رنگ نارنجی از یکدیگر جدا شده‌اند، تحت تاثیر ولتاژ اعمالی به گیت (میدان الکترومغناطیسی E) و جریان (شار جاری در حلقه) کanal بزنند. به جعبه زوج کوپر میتوان به عنوان یک اتم نگاه کرد که سطوح انرژی آن قابل تنظیم است. انرژی الکترواستاتیکی (E_c) میتواند با اعمال یک میدان الکترومغناطیسی تغییر کند (Stark شیفت) و انرژی کanal زدن جوزفسون (E_r) میتواند توسط یک میدان مغناطیسی (Zeeman شیفت) تنظیم شود. این سطوح برانگیختگی که پایین تر قرار دارند، به وسیله 2Δ gap مربوط به ابر رسانا از سطوح طبیعی و پیوسته الکترونها محافظت میشوند [۱۰].
۵۳

شکل ۳-۳. اولین طراحی از یک کاواک کوانتومی الکترودینامیکی ساخته شده از فیلم ابررسانا. جعبه زوج کوپر (سبز) در مرکز رزوناتور موجبر (آبی) قرار دارد. فرکانس رزونانس در حدود ۵ گیگاهرتز است. کاواک از یک سمت کنترل میشود و از سمت مقابل سیگنال انتقال یافته اندازه‌گیری میشود [۲۶].
۵۴

شکل ۴-۳. a) تصویر نوری از رزوناتور خط انتقال ابررسانا نایوبیوم است که بر روی سیلیکون نشانده شده است. b) خازن تزویج. c) تصویر میکروسکوپ الکترونی با رنگ آمیزی غیرواقعی؛ آبی: درون کاواک، بُر: روی سطح سیلیکونی و سبز: خط انتقال. جعبه زوج کوپر از دو جزیره آلومینیومی به رنگ آبی که توسط یک پیوند جوزفسون کوچک به یکدیگر متصل شده‌اند (قسمت هم پوشانی دو انگشت بر روی جزیره‌های باریک)، تشکیل شده است [۱۰] و [۲۴].
۵۶

شکل ۳-۵. انواع کیوبیت‌های ابررسانا؛ چپ: کیوبیت شار (flux qubit)، راست- بالا: کیوبیت بار

۵۹ راست- پایین: کیوبیت فاز (phase qubit) و [۴۱] [۲۶] (charge qubit)

شکل ۳-۳. a) مدل مداری یک کیوبیت ترانسمون. دو پیوند جوزفسون (با پارامترهای C_J , E_J) یکسان) با یک خازن بزرگ (C_B) شانت شده‌اند.b) شماتیک ساده طراحی کیوبیت ترانسمون [۲۷].

۶۱.....

شکل ۳-۷. نمایی از یک کیوبیت با پیوند جوزفسون و تغییرات پتانسیل ایجاد شده بر حسب اختلاف

فاز دو سر پیوند. ۶۳.....

شکل ۳-۸. a) یک کیوبیت فاز تک پیوندی ابررسانا: خازنها ، جریانهای بایاس، تغییر حالت و اندازه‌گیری b) تونلزنی از سد پتانسیل فازی و نمایی از حالت‌های کیوبیت پس از اعمال جریان اندازه‌گیری

۶۵.....

شکل ۴-۱. چگالی جریان محاسبه شده از سه روش. معادلات (۴-۶)، (۴-۹) و پاسخ دقیق (۴-۱۶)

بر حسب اختلاف فاز دو سر پیوند برای عرض پیوند $L=0.85$ و جریان بایاس $I_b/I_c=0.5$ ۷۴.....

شکل ۴-۲. نسبت تفاضل چگالی جریان دقیق و تقریبی معادلات (۴-۶) و (۴-۹) بر حسب اختلاف

فاز دو سر پیوند برای جریان بایاس $I_b/I_c=0.5$ و عرضهای پیوند $L=0.85$ و 0.60 و 0.35 ۷۴.....

شکل ۴-۳. انرژی حالت‌های چاه پتانسیل تشکیل شده در پیوند جوزفسون برای جریان بایاس $I_b/I_c=0.5$ بالا: هر سه حالت محبوس میباشند، پائین: حالت سوم نشتی است. ۷۷.....

شکل ۴-۴. گسته‌سازی مانع پتانسیل برای محاسبه تونلزنی حالتها با استفاده از روش ماتریس انتقال. ۷۸.....

شکل ۴-۵. معیارهای بهینه‌سازی ۷۹.....

شکل ۴-۶. نمودارهای فرضی قابل تصور تغییرات نرخ تونلزنی حالت‌های کیوبیت برای بیان دلیل تعریف معیار R . (a): علیرغم اینکه مقدار تشابه اندازه‌گیری (F) واحد است، به دلیل حساسیت زیاد به تغییرات جریان اندازه‌گیری مناسب نیست. (b): اختلاف جریانها (ΔI) برابر است، منحنی سبز (کمرنگ)

ارجح است چون حالت برانگیخته دوم عمر کمتری دارد. (c): در منحنی سیاه (پررنگ) تشابه به شدت افت کرده است (d): منحنی سیاه (پررنگ) تشابه بزرگتری دارد و همچنین حالت برانگیخته دوم نیز طول عمر کمتری دارد پس ارجح است..... ۸۰

شکل ۵-۵. احتمالات تونلزنی حالت‌های پایه کیویت بر حسب جریان اندازه‌گیری؛ خطوط پیوسته: نتایج عددی برای عرض پیوند $0.02 = \frac{\text{غ}}{\text{L}}$ سطح مقطع $100 = \frac{\text{غ}}{\text{A}}$ و جریان بایاس $I_b/I_c = 0.97$ ، دایره

خالی: نتایج عملی برای حالت پایه، و دایره پر: نتایج عملی برای حالت برانگیخته..... ۸۲

شکل ۵-۶. احتمالات تونلزنی سه حالت اول بر حسب جریان اندازه‌گیری برای جریان بایاس $I_b/I_c = 0.5$ و عرض پیوند $0.85 = \frac{\text{غ}}{\text{L}}$ ، خطوط تیره (آبی): محاسبات دقیق، و خطوط روشن (سبز): محاسبات تقریبی..... ۸۲

شکل ۵-۷. احتمالات تونلزنی بر حسب جریان اندازه‌گیری برای جریان بایاس $I_b/I_c = 0.5$ ، بالا: عرض پیوند $0.25 = \frac{\text{غ}}{\text{L}}$ ، پائین: عرض پیوند $0.85 = \frac{\text{غ}}{\text{L}}$

شکل ۵-۸. تغییرات معیارهای مقایسه نسبت به عرض پیوند در جریان بایاس نرمالیزه $I_b/I_c = 0.915$ دایره‌های قرمز: پاسخ مرسوم تقریبی، مربعهای آبی: پاسخ دقیق بر اساس راه حل جدید..... ۸۵

شکل ۵-۹. احتمالات تونلزنی بر حسب جریان اندازه‌گیری برای جریان بایاس $I_b/I_c = 0.385$ ، عرض پیوند $0.85 = \frac{\text{غ}}{\text{L}}$ و سطح مقطع $0.5 = \frac{\text{غ}}{\text{A}}$

شکل ۵-۱۰. تغییرات معیارهای مقایسه و جریان بایاس اصلاح شده نسبت به سطح مقطع برای عرض پیوند $0.85 = \frac{\text{غ}}{\text{L}}$ دایره‌های قرمز: پاسخ مرسوم تقریبی، مربعهای آبی: پاسخ دقیق بر اساس راه حل جدید. خط تو پر در (b) منحنی تطبیقی لگاریتمی می‌باشد..... ۸۹

شکل ۵-۱۱. نسبت تفاضل مقدار دقیق و تقریبی چگالی جریان بر حسب اختلاف فاز دو سر پیوند دارای عرض پیوند $0.85 = \frac{\text{غ}}{\text{L}}$ و جریان بایاس $I_b/I_c = 0.5$ برای میدانهای مغناطیسی ضعیف، متوسط و قوی..... ۹۱

شکل ۱۲-۵. احتمالات تونلزنی بر حسب جریان اندازه‌گیری برای عرض پیوند $L=0.85\text{ cm}$ در حضور میدان مغناطیسی خارجی قوی.....
۹۱

شکل ۱۳-۵. تغییرات معیارهای مقایسه نسبت به اندازه میدان مغناطیسی اعمالی در جریان بایاس نرمالیزه $I_b/I_c = 0.915$ و $L=0.85\text{ cm}$ دایره‌های قرمز: پاسخ مرسوم تقریبی، مربعهای آبی: پاسخ دقیق بر اساس راه حل جدید.....
۹۲

شکل ۱۴-۵. نمودار تغییرات چگالی جریان الکتریکی بر حسب اختلاف فاز دو سر پیوند هنگامی که میدان مغناطیسی با اندازه $A = 0.5\text{ cm}^2$ در زوایای مختلف به پیوند اعمال شده است.....
۹۴

شکل ۱۵-۵. احتمالات تونلزنی بر حسب جریان اندازه‌گیری هنگامی که میدان مغناطیسی با اندازه $A = 0.5\text{ cm}^2$ در زوایای مختلف $(\varphi = \pi/3, \pi/2, 2\pi/3\pi)$ به پیوند اعمال شده است.....
۹۴

شکل ۱-۶. a) نمای ۳-بعدی و b) نمای کانتور؛ از پتانسیل فازی دو-بعدی سیستم بر حسب اختلاف فازهای کیوبیتهای A و B. خطوط نقطه‌چین دو راستایی را نشان میدهند که پتانسیل فازی بر اثر اعمال جریانهای اندازه‌گیری در جهت آنها خم می‌شود. فلش جهت تونلزنی احتمالی حالت را نشان میدهد اگر حالت کیوبیت $|01\rangle_{AB}$ بوده باشد.....
۱۰۱

شکل ۲-۶. دو کیوبیت تک پیوندی که توسط مدار تزویج کننده شامل یک خازن و یک DC-SQUID به یکدیگر متصل شده‌اند.....
۱۰۲

شکل ۳-۶. پتانسیل فازی دو-بعدی سیستم تزویجی توسط خازن تنها بر حسب نصف جمع $x = (\phi_A + \phi_B)/2$ و نصف تفاضل $y = (\phi_A - \phi_B)/2$ اختلاف فازهای کیوبیتهای A و B. a) حالت سیستم در چهار پتانسیل محبوس است (قبل از اعمال جریانهای اندازه‌گیری) b) جریان اندازه‌گیری کیوبیت B اعمال شده است اما جریان اندازه‌گیری کیوبیت A اعمال نشده است.....
۱۰۴

شکل ۴-۶. پتانسیل فازی دو-بعدی سیستم تزویجی پیشنهادی توسط مدار کمکی با پارامترهای a) قبل از عملیات اندازه‌گیری b) جریان اندازه‌گیری اعمال شده است. $\Phi_0/2\pi L I_0 = 0.1$ و $\Phi_e/\Phi_0 = \pi$

فلش مسیر فرار حالت محبوس در چاه را نشان میدهد..... ۱۰۵

شکل ۶-۵. نمای کانتور پتانسیل دو-بعدی قبل از عملیات اندازهگیری با پارامترهای

۱۰۶ $\Phi_0/2\pi L I_0 = 0.025$ و $\pi \Phi_0/\Phi_0 = 2$. زاویه θ ترازکتوری کمترین عمل را نشان میدهد

شکل ۶-۶. احتمالات تونلزنی برای حالت یک سیستم دوکیوبیتی بر حسب جریان اندازهگیری

نرمالیزه (I/I_0) برای پارامترهای $b=0.8$ و $y_B=\phi/8=0.2$ خطوط آبی، سبز و قرمز به ترتیب متناظر با

احتمالات تونلزنی حالت‌های $P_{esc}(|00\rangle)$ ، $P_{esc}(|10\rangle)$ و $P_{esc}(|11\rangle)$ میباشند. a) با دو پالس جریان

اندازهگیری، b) تک پالس چریان اندازهگیری در $r=0.021$ ۱۱۱

شکل ۶-۷. دو پیوند جوزفسون در این مدار به عنوان تک کیوبیت به هم تزویج شده‌اند. مقادیر خازن

پیوندها و خازن تزویجی به ترتیب برابر است با $C_1=C_2=4.3pF$ و $C=1000C_1$. جریان اندازهگیری (I_z)

تنها به پیوند جوزفسون اصلی اعمال میشود. ۱۱۳

شکل ۶-۸. a) نمای ۳-بعدی و b) نمای کانتور؛ از پتانسیل فازی دو-بعدی سیستم برای یک طراحی

تک کیوبیتی با دو پیوند جوزفسون تزویجی بر حسب اختلاف فاز های دو پیوند. در این شکل جریان

اندازهگیری به پیوند اصلی (A) اعمال شده است. فلش در (b) جهت تونلزنی احتمالی حالت را نشان

میدهد. ۱۱۵

مقدمه

به دنبال پیشرفت‌های بسیاری که در زمینه علوم مختلف و تکنولوژی در زندگی بشر اتفاق افتداد است، تاکنون بشر توانسته است که ابزارهای بسیار مدرن برای رسیدن به اهداف لایتنهای خود تهیه کند. اما این نیازهای بشری که هیچ‌گاه خاتمه نمی‌یابد همواره در صدد بهبود و پیشرفت وسایل خود می‌باشد.

یکی از مهم‌ترین و پیشرفته‌ترین آنها، ابزارها و وسایل محاسباتی همچون رایانه‌ها می‌باشند که سریع‌ترین آنها در چند سال اخیر با توجه به رشد و پیشرفت سریع تکنولوژی نیمه‌هادی ساخته شده‌اند.

اما هنوز مشکلات بزرگی پیش روی بشر می‌باشند که رایانه‌های امروزی پاسخ‌گوی این نیازها نیستند. دو مورد بسیار مهم که در رایانه‌های امروزی ضعف محسوب می‌شود؛ یکی مسئله سرعت انجام محاسبات است که با توجه به حد نهائی تکنولوژی ساخت ادوات نیمه‌هادی و رسیدن به ابعاد نزدیک اتم، با در نظر گرفتن محدودیت‌های علم الکترونیک، که مهمترین آنها تحرک (Mobility) بار در ابعاد تکنولوژیکی است، دیگر نمی‌توان به سرعت‌های بسیار بالاتر امیدوار بود، و دوم حل برخی مسایل بسیار

پیچیده موجود است که اگر بخواهیم با اینگونه رایانه‌ها انجام دهیم، سال‌ها و بلکه قرن‌ها طول خواهد کشید، در حالیکه با توجه به اصول علم کوانتوم و برخی الگوریتم‌های معرفی شده مربوطه، این مسایل در مدت زمان بسیار بسیار کمتر به نتیجه خواهد رسید که این امر در حل برخی مسایل استراتژیک مانند شکستن رمزهای بسیار پیشرفته نیز کاربرد خواهد داشت.

این دو امر بسیار مهم باعث شده‌اند که بسیاری از دانشمندان به خصوص در زمینه فیزیک و الکترونیک به این موضوع پرداخته و با تمام نیرو در جهت ساخت یک رایانه کوانتومی تلاش بنمایند. با رشد و پیشرفت نسبی این شاخه که آن را با نام اطلاعات و یا محاسبات کوانتومی می‌شناسیم، دانشگاه‌ها، مؤسسات، شرکت‌ها و حتی کشورهای بزرگ حساسیت موضوع را درک نموده و در صدد می‌باشند تا هرچه سریع‌تر به دانش و تکنولوژی این امر دست یابند.

بدون تردید نقطه شروع طراحی هر رایانه تک عنصر حافظه یا به اصطلاح بیت (bit) می‌باشد که در رایانه‌های کلاسیک دو مقدار برای آن قابل تصور است و برای سادگی به صورت صفر (۰) و یک (۱) بیان می‌شود. اما در رایانه‌های کوانتومی به منظور بهره‌گیری از اصول کوانتوم به بیت کوانتومی نیاز است که این بیت از دو حالت (State) خالص (Pure) $|0\rangle$ و $|1\rangle$ تشکیل شده است ولی به طور کلی در یک زمان خاص به شکل برهمنهی (superposition) از این دو حالت $\frac{a|0\rangle+b|1\rangle}{\sqrt{a^2+b^2}}$ وجود خواهد داشت.

همان‌طوریکه می‌دانیم هر سیستمی (از دیدگاه کوانتومی) در ابعاد محدود، دارای طیف انرژی گسسته‌ای است که هر سطح (Level) انرژی متناظر با حالت خاصی است. بنابراین می‌توان گفت که بیت‌های کوانتومی همواره کنار ما در طبیعت وجود دارند. اما معمولاً در طبیعت (ابعاد بزرگ) تعداد زیادی از این طبقات انرژی و بسیار نزدیک به هم وجود خواهند داشت و هنگامی که انرژی موجود در

سیستم بسیار بزرگ باشد، حالت کل سیستم به شکل ترکیبی از تعداد زیادی از این حالت‌ها می‌باشد، در حالی که در بیت کوانتمی یک سیستم دو حالته قابل تفکیک مدنظر است. بر این اصل، تحقیقات و پیشنهادات مختلفی برای طراحی و ساخت بیت‌های کوانتمی در سال‌های اخیر از سوی دانشمندان و محققین ارایه شده‌است و همگی سعی کرده‌اند که بهترین بیت کوانتمی با خاصیت مذکور را معرفی نمایند.

توجه به این نکته مهم است که تنها معرفی و ساخت یک سیستم کوانتمی دو حالته با خاصیت فوق کافی نمی‌باشد، بلکه مهمتر از آن امکان ایجاد تغییر در حالت سیستم به شکل دلخواه و همچنین خواندن (استخراج) حالت (اطلاعات) سیستم نیز دو مسئله اساسی در طراحی بیت‌های کوانتمی می‌باشند. بنابراین بهترین بیت‌های کوانتمی آنهایی می‌باشند که این دو امر (نوشتن و خواندن) در آنها به ساده‌ترین و مؤثرترین شکل، ممکن باشد. مهمترین پارامترهای یک کیوبیت، سیستم کنترلی آسان، مدار اندازه‌گیری دقیق، امکان اعمال گیت‌های لازم و هماهنگی با سیستمهای انتقال اطلاعات می‌باشد.

تعالی در دانش، اغلب حاصل به کارگیری قوانین و تکنیک‌های بین رشته‌هایی است که در ظاهر کاملاً از هم جدا و منفک می‌باشند. معمولاً این تبادل‌ها، هر دو رشته را در مسیری جدید قرار می‌دهد. مدارهای کوانتمی الکترودینامیکی (مدارهای نداخلی نور و ماده) مثالی از این موضوع می‌باشد. در این پروژه پا را فراتر نهاده و به سراغ مدارهای کوانتمی الکترودینامیکی ابررسانا می‌رویم. در واقع کیوبیت‌های ابررسانا برای تحقق بخشیدن سنگ‌بنای کامپیوترهای کوانتمی انتخاب شده‌اند. همانطور که از نام آن پیداست، پیچیدگی‌های بسیاری در این وادی وجود دارد که سعی شده است تا حد توان به ابعاد مختلف آن پرداخته شود.

چون رفتار این مدارها مشابه اتم‌های مطرح در اپتیک کوانتومی است، با استفاده از تکنیک‌های فیزیک اتمی، کارایی این گونه مدارها بهبود بخشیده شده و راه‌های نوین برای تزویج بیت‌های کوانتومی ارائه می‌شود. تفاوت این اتم‌های مصنوعی با اتم‌های ساده در خواص بهتر و قابلیت کنترل آنها می‌باشد، که امکان پیاده‌سازی موثرتر کیوبیت‌ها را فراهم می‌آورد.

اما چرا ابررسانا؟ پیوندھای جوزفسون در پدیده ابررسانایی مثال بارزی از خواص کوانتومی ماکروسکوپیک هستند و همزمان کاربردهای بسیاری را در زمینه الکترونیک فراهم آورده‌اند. اکثر ادوات الکترونیک ابررسانا از این خاصیت کوانتومی ماکروسکوپیک و یک پدیده بنیادین دیگر در ابررساناهای یعنی کوانتش شار استفاده می‌کنند. ترکیب این دو پدیده به همراه رسانایی بینهایت (مقاومت صفر) در حالت ابررسانایی بسیار مناسب برای طراحی مدارهای نوین فراهم آورده است.

یکی از کاربردهای ابررسانایی که به این پروژه بسیار نزدیک است، گیتهای منطقی کلاسیک ابررسانا هستند که تا کنون در پیکربندی‌های گوناگون ساخته شده‌اند. منطق تک شاره کوانتومی سریع (RSFQL^۱) تا کنون در این حوزه پیشرو است. از ویژگی‌های بارز مدارهای RSFQ میتوان به این نکته اشاره کرد که انرژی لازم برای نوشتن و یا ذخیره یک بیت داده، یا انجام یک عملیات منطقی چندین مرتبه از ادوات نیمه رسانا کوچکتر است. که این منجر به تولید گرمای بسیار کمی می‌شود و در نتیجه می‌توان سرعت عملکرد و چگالی پیوندھا را در تراشه افزایش داد.

^۱ Rapid Single Flux Quantum Logic

در ضمن توجه به این نکته ضروری است که با توجه به توضیحات فوق، تا حد بسیار خوبی امکان ساخت قطعات و مدارهای پیچیده ابررسانا با تکنولوژی در دسترس پژوهشگران ایرانی، فراهم است و این خود می‌تواند انگیزه مضاعفی برای تحقیق و تفحص در این زمینه باشد.

ساختار پایان‌نامه

در فصل اول، به مطالعه مختصری از تئوری اطلاعات کوانتومی و در ادامه محاسبات کوانتومی می‌پردازیم و با اصول اولیه رایانه‌های کوانتومی به خصوص خواص مورد نیاز یک بیت کوانتومی ساده آشنایی شویم.

در فصل دوم به بررسی پدیده ابررسانایی پرداخته و در حد نیاز آن را معرفی می‌نماییم. خلاصه‌ای از مدل‌های ارائه شده برای توصیف خواص ابررساناهای خواهیم کرد. همچنین به تشریح پدیده جوزفسون در اتصال ابررسانا-نرم‌آل-ابررسانا خواهیم پرداخت و نتایج تحلیلی حاصل از مدل‌های بیان شده برای پیوند جوزفسون را ذکر می‌کنیم.

موضوع فصل سوم را بیت‌های کوانتومی ابررسانا قرار داده‌ایم. در این فصل از مطالبی که در دو فصل گذشته فرا گرفتیم استفاده نموده و ابتدا ساخت مفهومی بیت‌های کوانتومی در ابررسانا را بیان نموده و سپس انواع کیوبیت‌ها و طرز کار آنها را تا حد امکان شرح می‌دهیم. در نهایت به طور خاص راجع به کیوبیت فاز و خواص آن تمرکز بیشتری خواهیم داشت.

در فصل چهارم راه حل جدیدی برای بدست آوردن دقیق چگالی جریان الکتریکی در پیوندهای جوزفسون ارائه خواهیم کرد. به ازای پارامترهای مختلف آن را محاسبه کرده و بر روی تغییرات آن بحث

خواهیم نمود.

در فصل پنجم با توجه به نتایج دقیق بدست آمده در فصل قبلی، کیوبیت فاز ساخته شده توسط پیوند جوزفسون را به شکل دقیق تحلیل می‌کنیم. و با تعریف معیارهای مقایسه منطقی، اثر پارامترهای مختلف بر روی عملکرا کیوبیت به خصوص در مرحله اندازه‌گیری را بررسی می‌کنیم.

در فصل ششم از این نوشتار، سیستم‌های دوکیوبیتی فاز مورد بررسی قرار خواهند گرفت. درهم-تنیدگی، کترول و اندازه‌گیری حالت سیستم مطالعه شده و طرحی جدید برای اندازه‌گیری موثرتر حالت سیستم ارایه می‌شود. همچنین یک طراحی نوین از سیستم تک کیوبیتی توسط مفاهیم ارائه شده مطرح می‌شود که دارای خواص بهتری در مقایسه با کیوبیت‌های تک پیوندی از خود نشان می‌دهد.

فصل هفتم نیز شامل نتیجه‌گیری از مباحث این پایان‌نامه و پیشنهاداتی برای ادامه‌ی تحقیقات در این زمینه می‌باشد.

فصل ۱ مروری بر محاسبات کوانتومی^۱

۱-۱ مقدمه

در این بخش ابتدا معرفی مختصری از محاسبات کوانتومی و مباحث مرتبط با آن خواهیم داشت و سپس مقدمات لازم برای رسیدن به یک مدار بیت کوانتومی مناسب بیان می‌گردد. مهمترین هدف این فصل آشنایی با کیوبیت‌ها می‌باشد که پس از معرفی آنها و طرز عملکردشان، به مقایسه آنها می‌پردازیم. در ادامه با محیطی مناسب برای مشاهده پدیده‌های کوانتومی آشنا می‌شویم و چگونگی کنترل خواص کوانتومی در داخل این محیط را فرا می‌گیریم.

^۱ Quantum Computation

۲-۱ اطلاعات کوانتومی و محاسبات کوانتومی

اطلاعات ذاتا یک کمیت فیزیکی است و قوانین فیزیکی حاکم بر اطلاعات، همان قوانین فیزیکی حاکم بر تمام مواد است [۱]. مفهوم کامپیوتر به عنوان پاسخی به سوال‌های پایه‌ای انسان در مورد اطلاعات معرفی شد. سوال‌هایی مانند اینکه کامپیوتر چه مسایلی می‌تواند حل کند و چه مسایلی را نمی‌تواند. ایده کامپیوتر کوانتومی از مطالعه ترمودینامیک محاسبات به وجود آمد و پرسیدن این سوال که اطلاعات، در دنیایی که با مکانیک کوانتومی توصیف می‌شود چیست [۲]. دنیایی که به وضوح در آن تصادفی بودن و ناموضعی بودن ذاتی وجود دارد. هدف یک کامپیوتر کوانتومی را می‌توان به عنوان راهی برای ارتقاء تکنولوژی کامپیوترهای کتونی، یا شبیه سازی مکانیک کوانتومی، یا به سادگی وسیله‌ای برای پل زدن بین رشته‌های جدا از هم تلقی کرد [۳].

در سال ۱۹۸۵، David Deutsch الگوریتم ساده‌ای را ارائه کرد که نشان می‌داد با استفاده از اطلاعات کوانتومی می‌توان ذاتا مسئله مدل شده را سریع تر از روش‌های کلاسیکی حل کرد [۴]. اگر چه مسئله مورد بررسی، بسیار خاص بود، اما این اولین مثال بود که نشان می‌داد که فیزیک غنی‌تری که در یک کامپیوتر کوانتومی وجود دارد، می‌تواند این امکان را به آن بدهد که از یک کامپیوتر کلاسیک سریع تر کار کند. سپس در سال ۱۹۹۴، Peter Shor الگوریتمی کوانتومی ارائه کرد که بر پایه آن می‌شود از اعداد بزرگ فاکتورگیری نمود یا از آنها لگاریتم گرفت با سرعتی به مقایسه با $\sqrt[3]{e^n}$ در روش‌های کلاسیک مرسوم کامپیوترهای کلاسیک که بسیار بیشتر است [۵]. این دو مسئله قدیمی محاسباتی به صورت خاص بسیار مهم بودند، چرا که به اصطلاح یک طرفه هستند، یعنی می‌توان چند عدد را در هم ضرب کرد و عدد بزرگی به وجود آورد و در عین حال فاکتورهای آن را دانست، اما در صورتی که عدد بزرگی داده شود و فاکتورهای آن خواسته شود، مسئله‌ای بسیار دشوار خواهد بود.

سرعت بهترین الگوریتم‌های کلاسیک به صورت نمایی به تعداد بیت‌های عدد وابسته است. در نتیجه به سادگی می‌توان اعداد با صدها رقم را در هم ضرب کرد و جواب را بلافاصله به دست آورد، اما فاکتور گرفتن از این اعداد به اندازه عمر تمام جهان زمان خواهد برد. از آسانی ضرب کردن و دشواری فاکتور گرفتن استفاده شده تا روش^۱ RSA در سیستم‌های رمزنگاری به وجود بیاید. این ایده که یک کامپیوتر کوانتومی می‌تواند حمله موفقی به سیستم‌های رمز شده بر مبنای RSA و دیگر روش‌های مشابه انجام دهد، توجه بسیاری را به تئوری و ساخت کامپیوترهای کوانتومی معطوف کرده است. از آن زمان تا کنون، الگوریتم‌های جدیدتری معرفی شده‌اند که از مهمترین آنها می‌توان به الگوریتم جستجوی Grover در سال ۱۹۹۶ اشاره کرد که زمان جستجوی یک ساختمان از داده‌های نامرتب را به جذر چهارم تقلیل می‌دهد [۶].

مبنای فیزیکی اطلاعات نه تنها باعث می‌شود که سیستم‌های کنونی رمزنگاری محکوم به شکست باشند، بلکه این توانایی را می‌دهد که سیستم‌های جدید رمزنگاری به وجود بیایند که بر پایه مسئله‌های یک طرفه نیستند، بلکه بر پایه محدودیت‌های اندازه‌گیری بیان شده توسط مکانیک کوانتومی هستند. چنانچه این سیستم‌ها پیاده‌سازی شوند، با دانش فیزیکی که در حال حاضر در اختیار ما هست، قابل شکستن نیستند. سیستم‌های رمزنگاری کوانتومی اکنون به وجود آمده‌اند و حتی به صورت تجاری به فروش می‌رسند [۷].

به غیر از رمزنگاری که به امنیت ملی مرتبط است و نقش کلیدی در مطالعه پیچیدگی‌های محاسباتی

^۱ Rivest Shamir Adelman

دارد، کاربرد مهم دیگری برای محاسبات کوانتومی وجود دارد که اگر بخواهیم از بعضی از آنها نام ببریم، می‌توان به شبیه سازی فیزیک کوانتومی اشاره کرد. دست کامپیوترهای کلاسیکی برای شبیه سازی سیستم‌های کوانتومی بسته است و حتی زیر بار محاسبات سیستم‌هایی که درجهات آزادی محدودی دارند خم می‌شوند. Richard Feynman در سال ۱۹۸۲ به این محدودیت اشاره کرد و اظهار کرد که ممکن است بتوان با کامپیوترهای کوانتومی بر این محدودیت فایق آمد [۸]. برای سیستم‌های کوانتومی بسیار کوچک که درجهات آزادی محدودی دارند، توان محاسباتی بالا می‌تواند در شناخت کلیدی ترین مسایل فیزیکی آن سیستم به ما کمک کند.

برای سیستم‌های کوانتومی بزرگ با درجهات آزادی زیاد که شامل میلیون‌ها ذره می‌شوند، به طور معمول می‌توان از نوسانات جزئی صرف نظر کرد. رفتار متوسط را می‌توان با عبارت‌های کلاسیکی و تعداد محدودی پارامتر که از در نظر گرفتن مکانیک کوانتومی به دست آمده توصیف کرد. اگر چه، رده بزرگی از مسایل فیزیکی وجود دارد که برای حل آنها نمی‌توان از این روش‌ها و ساده‌سازی‌ها یاری جست. این رده از مسایل در بعضی رشته‌ها مانند فیزیک اتمی، فیزیکی هسته‌ای و شیمی بسیار مهم‌اند.

اگر کامپیوتری بتواند از قوانین اولیه رفتار بدنه اصلی سیستم را پیش‌بینی کند، می‌تواند انقلابی در هر جنبه از تکنولوژی به پا کند. به همین دلیل است که در دهه گذشته تلاش‌های فراوانی برای نیل به ابزارالات رایانه کوانتومی انجام گرفته و می‌توان گفت که گام‌های موثری در این مسیر برداشته شده است.

۳-۱ بیت کوانتومی (Qubit) و پیاده سازی آن

یک کامپیوتر کلاسیک همواره از بیت‌هایی تشکیل شده است که اطلاعات را ذخیره می‌کنند و گیت-هایی که بر روی آن بیت‌ها عمل می‌کنند در نهایت الگوریتم مورد نظر را پیاده‌سازی می‌کنند [۹]. برای ساخت کامپیوتر کوانتومی باید ابتدا این عناصر پایه‌ای را بسازیم. یک بیت کلاسیکی می‌تواند با استفاده از هر سیستمی با دو حالت ساخته شود، مثل یک سکه یا یک ترانزیستور MOSFET. واضح‌ا ترانزیستور انتخاب برتری برای بیشتر کاربردها است که به طور ساده این امر به دلیل قابلیت مجتمع‌سازی و سرعت مناسب آن می‌باشد. به صورت مشابه، یک بیت کوانتومی یا Qubit می‌تواند از هر سیستم کوانتومی دو حالت ساخته شود.

مهمنترین پیش نیاز یک سیستم فیزیکی برای این که برای این منظور مورد مطالعه قرار بگیرد، کنترل پذیر بودن آن است. به این معنا که برای آزمایش‌گر آسان باشد که چندین بیت کوانتومی را با هم کوپل کند و اندازه‌گیری کند. چیزی که هنوز بسیار چالش برانگیز است این است که حالت کوانتومی سیستم همدوس^۱ باشد به این معنا که از میرا^۲ شدن و فازگریزی^۳ برحدر باشد. یعنی مشابه حالت کلاسیک که وقتی حالت بیت به صورت ۱ قرار داده می‌شود و سپس به حال خود رها می‌گردد، در طول زمان تغییر نکند که در آن صورت حالت بیت یا بی‌معنی خواهد بود و یا به حالت ۰ تبدیل شده است.

برای توصیف یک بیت کوانتومی، می‌توان مثال یک ساعت را مطرح کرد. فرض کنید که اسپین یک ذره

¹ Coherent

² Decay

³ Diphasing

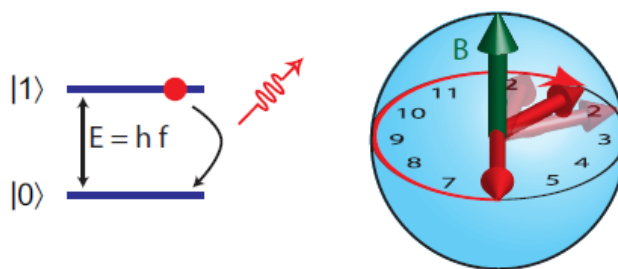
را که از لحاظ کوانتومی دارای دو سطح انرژی است، به عنوان بیت کوانتومی خود در نظر گرفته‌ایم.

اسپین به تدریج و با توجه به قوانین مکانیک کوانتومی تغییر می‌کند. جهتی که اسپین به آن اشاره می‌کند،

می‌تواند نشان دهنده زمان باشد و این جهت روی یک صفحه دایره‌ای در حال چرخش است. اگر نویزی

به این بیت کوانتومی، چه از داخل و چه از خارج وارد شود، باعث از دست رفتن کنترل زمان می‌شود

(شکل ۱-۱). به همین دلیل است که ارتباط زیادی بین مطالعه ساعت اتمی و بیت کوانتومی وجود دارد.



شکل ۱-۱ - هر دو سطحی از انرژی می‌تواند به عنوان یک بیت کوانتومی استفاده شود. سطح ۰ وقتی اتفاق می‌افتد که بیت کوانتومی میرا شده و پس از مدتی سقوط می‌کند. وقتی به صورت جمع آثار به بیت کوانتومی نگاه کنیم، فاز حالت در فرکانسی که با توجه به اختلاف انرژی دو سطح تعیین می‌شود، تغییر می‌کند. اگر این انرژی در طول زمان تغییر کند (به دلیل نویز یا اغتشاش در سیستم) سرعت ساعت تغییر خواهد کرد و باعث از دست رفتن حساب زمان خواهد شد [۱۰].

برای اینکه جلوی خارج شدن سیستم از همدوسی گرفته شود عناصر کامپیوتر کوانتومی باید از منابع نویز ایزوله شوند و در عین حال، به صورت قوی به هم دیگر کوپل شده باشند و همه اینها در حالتی است که توسط یک آزمایشگر کلاسیک اندازه‌گیری می‌شوند. این پیش نیازهای تقریباً متضاد، سبب می‌شود که چالش مشترکی در همه آزمایش‌های مربوط به محاسبات کوانتومی به وجود بیاید و انبوهی از ایده‌های مختلف از دیدگاه‌های مختلف به سمت این موضوع و راه حل‌های آن جاری ساخته است. با استفاده از مدارهای ابررسانایی، می‌توانیم به مطالعه حوزه‌هایی پردازیم که دسترسی به آنها در سیستم‌های اتمی در ساختارهای دیگر سخت یا ناممکن است.

۴-۱

کاواک کوانسومی الکترودینامیکی (Cavity Quantum Electrodynamics)

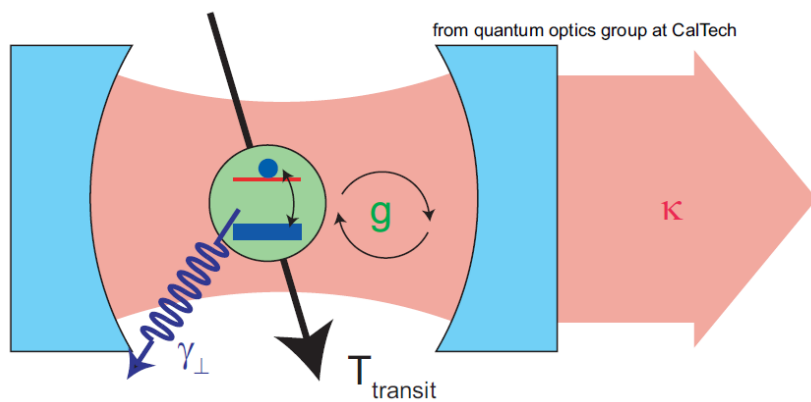
همانطور که می‌دانیم، میدان الکترومغناطیسی، اگر چه طبیعتی موج گونه دارد، از بسته‌های مجزایی به نام فوتون تشکیل شده است. این منبع توصیف بسیاری از خواص پدیده‌های کوانتمی است مانند توضیح رنگ یک جسم داغ مثل خورشید و اینکه در مواد کریستالی الکترون‌ها چگونه بین ترازها جابجا شده و تنها نوری در یک فرکانس معین از خود ساطع می‌کنند. توزیع انرژی هم در زمان و هم در مکان وابسته به شرایط مرزی است و همچنین توسط آن قابل کنترل است. چگونه ماده با نور در سطح یک فوتون تنها برهم کنش می‌کند؟ کوانتم اپتیک که به مطالعه خواص کوانتمی نور می‌پردازد، در تلاش برای پاسخ به این گونه سوال‌ها است.

همان گونه که ممکن است که بیتی ساخته شود که ذاتاً کوانتمی است، می‌توان حالت‌هایی از نور در نظر گرفت که توصیف کلاسیکی نداشته باشند. هر دوی حالت‌های کلاسیکی و کوانتمی، نویزی ذاتی را دارا می‌باشند. اما می‌توان با استفاده از کوانتم اپتیک، این نویز را به گونه‌ای توزیع کرد که نویز در پارامتری کمتر شده باشد با این هزینه که در پارامتر دیگری بیشتر شده است. این حالت‌های فشرده شده را می‌توان برای اندازه‌گیری‌های بسیار دقیق و همچنین کاربرد در انتقال اطلاعات کوانتمی استفاده کرد.

ولین راهی که ممکن است برای تولید تک فوتون به ذهن برسد، این است که یک منبع نور انتخاب شود و آن قدر تضعیف شود که به صورت میانگین تنها یک فوتون باقی بماند. اگرچه، به رغم داشتن یک فوتون به صورت متوسط، یک حالت کلاسیکی تضعیف شده کماکان بسیاری از طبیعت کلاسیکی خود را حفظ می‌کند و همچنین زمان تولید این تک فوتون مشخص نیست. برای داشتن یک فوتون تنها، نیاز به یک سیستم غیرخطی هست. به صورت ایده آل سیستمی با تنها دو حالت، مانند یک اتم تنها مورد

نیاز است. اگر این اتم برانگیخته شود، پس از مدتی به حالت پایه باز میگردد و دقیقاً یک فوتون ساطع خواهد شد. معمولاً، سطح مقطع (میزان تداخل) یک اتم و یک فوتون به شدت کوچک است و در نتیجه مشاهده برهمنش آسان نخواهد بود.

کاواک کوانتمی الکترودینامیکی ابزاری به دست می‌دهد که بر اساس آن می‌توان بر این دشواری‌های تکنیکی فائق آمد [۱۱]. نمونه این سیستم، اتمی است دو حالت که به یک نوسان‌ساز (کاواک) تزویج شده است (شکل ۲-۱). هنگامی که یک اتم به محیط الکترومغناطیسی پیرامون خود کوپل می‌شود، نویزی که حتی در محیط خلاً حاضر است، باعث می‌شود که اتم بدون این که بتوانیم کنترل کنیم برانگیخته شود و پس از آن فوتونی را ساطع کند. در کاواک کوانتمی الکترودینامیکی محیطی متفاوت به وجود آمده است که در آن کاواک مانند یک اتاق آینه عمل می‌کند و فوتون بارها و بارها، انعکاس پیدا می‌کند. در نتیجه کاواک این شانس را به فوتون می‌دهد که بارها از کنار اتم عبور کند و شانس برهمنش با اتم را افزایش می‌دهد. همانطور که می‌دانیم تنها فوتون‌هایی با انرژی‌های (بسامدهای) خاص در رزوناتور باقی می‌مانند.



شکل ۲-۱. یک اتم دو حالت که با موج داخل کاواک برهمنش دارد. نرخ برهمنش همدوس γ ، نرخ خروج فوتون K ، نرخ میرابی ناخواسته اتم برابر γ_{\perp} و نرخ تغییر حالت اتم برابر $1/T$ می‌باشد [۱۲].

چنانچه فرکانس مربوط به اتم و کاواک یکسان نباشد (محدوده پاشندگی^۱، فوتون آزاد شده درون کاواک مدت زیادی باقی نخواهد ماند؛ در عمل یا از کاواک خارج شده و یا در محیط میرا (جذب) می-شود. در این صورت، اتم برای زمان خیلی بیشتری نسبت به فضای آزاد همدوس باقی میماند. نرخ خروج فوتون از سیستم را κ می‌نامیم که ارتباط معکوس با ضریب کیفیت رزوناتور $\omega_r/\kappa = Q$ دارد. مشخصاً این ضریب توسط آینه‌های دو طرف کاواک قابل تنظیم می‌باشد و برای تشخیص اتفاقات داخلی، بایستی مقدار قابل قبولی از موج برای حسگرهای بیرونی، از کاواک خارج شود.

هنگامی که اتم و کاواک با هم در رزونانس باشند و کاواک به گونه‌ای طراحی شده باشد که نشت^۲ داشته باشد، اتم می‌تواند حتی سریع‌تر از حالت تنها (فضای آزاد) میرا شود. در این شرایط برهم‌کنش اتم و فوتون زیاد است و در اولین فرصت اطلاعات خود را به فوتون داده و یا بالعکس از فوتون تحويل می‌گیرد اما از آنجائیکه فوتون به سرعت از کاواک خارج می‌شود، اطلاعات نیز همراه آن خارج خواهد شد. پارامتر γ نرخ برهم‌کنش بین اتم و فوتون می‌باشد.

پارامتر دیگری که در کنار κ ، باعث عدم همدوسی می‌شود، γ می‌باشد که بیانگر نرخ میرایی اتم به مدهای غیر تابشی و یا مدهای جانبی غیر رزونانسی است. در کنار تمامی این پارامترها نرخ تغییر حالت اتم و یا زمان خارج شدن از کاواک (طول عمر متوسط) برابر $1/T_{\text{transit}}$ می‌باشد.

حال اگر این دو با هم رزونانس داشته باشند و نشت کاواک بسیار کم باشد

¹ Dispersive limit

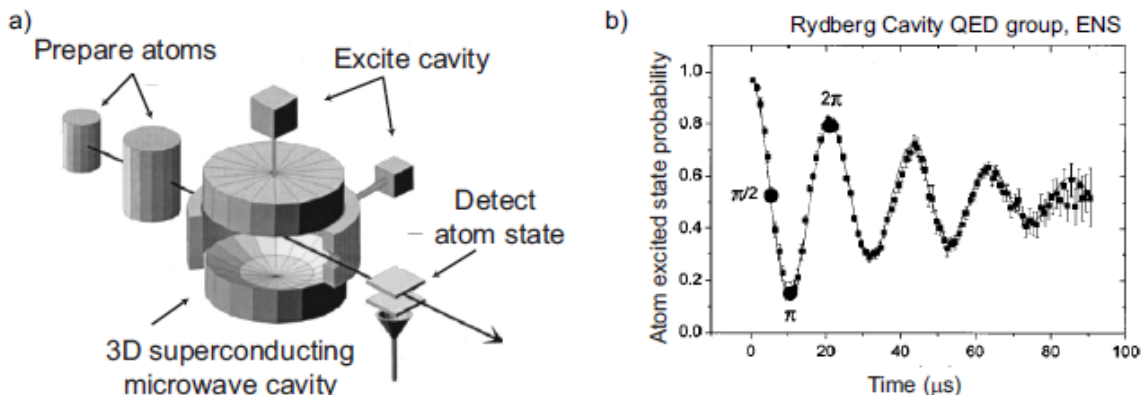
² Leaky resonator

$\kappa, \gamma_{\perp}, 1/T_{\text{transit}}$ ، به حد تزویج قوی^۱ می‌رسیم که یک اتم می‌تواند بارها و بارها یک تک فوتون را ساطع کند و دوباره آن را جذب کند قبل از اینکه اتم به طور کلی تغییر حالت دهد و یا فوتون فرصت آن را داشته باشد که بگریزد. کاواک کوانتمی الکترودینامیکی این امکان را به ما می‌دهد که با کاهش و یا افزایش پارامترهای مدار، این پدیده اسرارآمیز کوانتمی را مهندسی و مطالعه کنیم.

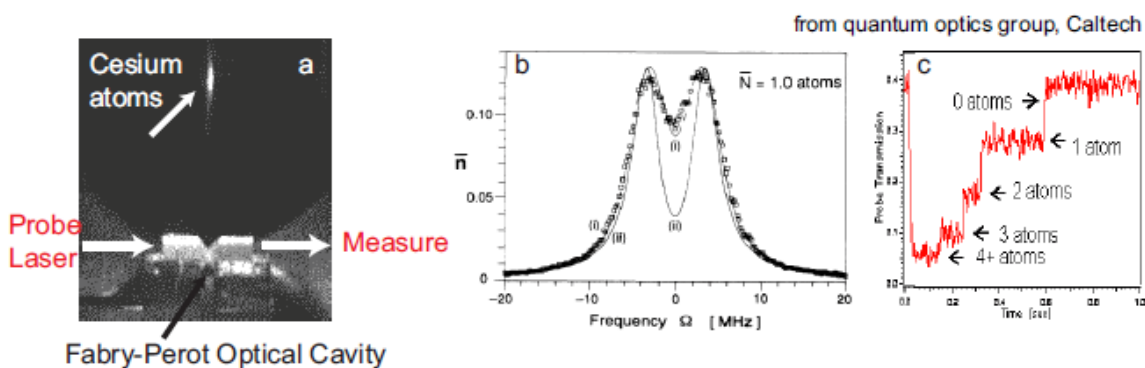
فرآیند فوق، که نوسانی است بین وجود فوتون و حالت اتمی برانگیخته، با نام نوسان رابی در خلا^۲ شناخته می‌شود (شکل ۱-۳ را ببینید). نحوه دیگر نگرش به این پدیده شباهت آن به حالتی است که در آن دو اتم، الکترونی را در یک مولکول به اشتراک می‌گذارند، با این تفاوت که در اینجا یک اتم و کاواک هستند که یک کوانتم از انرژی را به اشتراک می‌گذارند. مشابه یک مولکول دو اتمی، این سیستم دارای دو حالت شبیه به یک اربیتال پیوندی و یک اربیتال غیرپیوندی است که می‌توان از طریق طیف نگاری و مشاهده انرژی فوتون‌هایی که مجاز به بالا و پایین رفتن در این سطوح کاواک و اتم هستند، اندازه‌گیری کرد. (شکل ۱-۴ را ببینید).

^۱ Strong coupling limit

^۲ Vacuum Rabi oscillation



شکل ۳-۱ (a) مدلی از سیستم کوانتمی الکترودینامیکی اتم‌های ریدبرگ.^۱ ابتدا اتم‌ها در حالت برانگیخته ریدبرگ قرار می‌گیرند. سپس در حالت اولیه قرار می‌گیرند و از فیلتر به سرعت می‌گذرند. وارد یک کاواک مایکروویو که تا نزدیکی یک درجه کلوین سرد شده می‌شوند و با فوتون‌های درون آن برهم‌کنش انجام می‌دهند. در نهایت حالت اتم‌ها، با پلاریزاسیون انتخابی اندازه‌گیری می‌شود. (b) نوسان رابی در خلا. یک اتم که در حالت برانگیخته قرار دارد به درون کاواک فرستاده شده و به صورت همدوس به جذب و آزاد کردن فوتون می‌پردازد. سپس تعداد حالت‌های برانگیخته اتم بر حسب زمان در کاواک محاسبه می‌شود [۱۰].



شکل ۴-۱ (a) تراشه‌ای از یک کاواک کوانتمی الکترودینامیکی که در حال پذیرفتن یک ابر از اتم‌های سزیم به درون خود می‌باشد. با تاباندن لیزر به درون کاواک حالت اتم تشخیص داده می‌شود. (b) گسسته شدن طیف در خلا که مشابه پاسخ یک مولکول با دو جفت سطح انرژی است که این دو سطح بر اساس قدرت پیوند از هم فاصله گرفته‌اند. (c) نمودار زمانی تابش کاواک که برای شمردن تعداد اتم‌های درون آن مورد استفاده قرار گرفته است [۱۰].

^۱ Rydberg atoms

پس از اینکه اتم به درون کاواک افتاد، اندکی خصوصیات آن را تغییر می‌دهد که با تاباندن لیزر به درون کاواک قابل فهمیدن است. این موضوع، این قابلیت را به ما می‌دهد که تعداد اتم‌های درون کاواک را بتوانیم بشماریم و حتی حالت یک اتم تنها را متوجه بشویم. یک روش مشابه در این پژوهش استفاده شده است.

۱-۴-۱ معادلات کوانتومی برهم‌کنش موج (نور) و اتم (ماده)

هنگامی که موج به اتم تابانده می‌شود، می‌توان با توجه به انرژی‌های موجود هامیلتونی سیستم را که به هامیلتونی جینز-کامینگز^۱ معروف است، به صورت زیر بیان نمود:

$$H_{JC} = \hbar\omega_r(a^\dagger a + 1/2) + \hbar\frac{\omega_a}{2}\sigma_z + \hbar g(a^\dagger\sigma^- + a\sigma^+) \quad (1-1)$$

که در آن بخش اول، انرژی موج الکترومغناطیسی کوانتیده بوزونی، بخش دوم انرژی یک ذره دو حالته فرمیونی و بخش سوم انرژی برهم‌کنش این دو می‌باشد. بخش آخر به شکل اضافه و یا کم شدن فوتون از سیستم و متعاقباً پایین و یا بالا آمدن حالت اتم بیان شده است.

به طور کلی، حالت تعداد فوتون ($|n\rangle$) و همچنین حالت‌های پایه و برانگیخته اتم ($|g\rangle$ و $|e\rangle$) دیگر حالت‌های ویژه سیستم (هامیلتونی جینز-کامینگز) نخواهند بود و در نتیجه انرژی‌ها نیز تغییر خواهند کرد. در شرایط تزویج قوی، فرکانس‌های اتم و رزوناتور تبھگن^۲ می‌باشند. حالت‌های سیستم به

¹ Jaynes-Cummings Hamiltonian

² Degenerate energies

شکل زیر قابل محاسبه‌اند:

$$|\psi_{\pm}\rangle = (|g\rangle|n\rangle \pm |e\rangle|n-1\rangle) / \sqrt{2} \quad (2-1)$$

و اگر از روش اختلال تبهگن [۱۳] استفاده کنیم، اختلاف تقریبی انرژی‌های گستته حالت n -ام نسبت به قبل از برهم‌کنش به اندازه $2g\sqrt{n}$ بدست می‌آید.

در بسیاری از موارد، ترجیح می‌دهیم از رژیم پاشندگی استفاده کنیم، چون در این رژیم احتمال جذب فوتون خارجی توسط اتم بسیار کم است و این امر تاثیر فوتون تابشی از خارج بر روی سیستم داخل کاواک را کم می‌کند (اندازه‌گیری غیر مخرب). برای این منظور فرکانس‌های اختلاف تراز اتم (ω_a) و رزونانس کاواک (ω_r) را یکسان انتخاب نمی‌کنیم. به اختلاف بین این دو ضریب ناموزونی^۱ و $\Delta = \omega_a - \omega_r$ می‌گوئیم.

مقادیر انرژی حالت‌ها در این سیستم مطابق رابطه زیر محاسبه می‌شوند:

$$E_{\pm,n} = \hbar n \omega_r \pm \frac{\hbar}{2} \sqrt{4ng^2 + \Delta^2} \quad (3-1)$$

در این رژیم مقدار نرخ برهم‌کنش بسیار کوچکتر از ضریب ناموزونی است ($\Delta < g$) بر خلاف تزویج قوی که در عمل ضریب ناموزونی صفر نیست اما بسیار کوچک است ($\Delta > g$). با این شرایط می‌توان هامیلتونی و انرژی‌های تقریبی سیستم را به صورت زیر بازنویسی نمود:

$$H \approx \hbar \omega_r (a^\dagger a + 1/2) + \frac{\hbar}{2} \left(\omega_a + \frac{2g^2}{\Delta} a^\dagger a + \frac{g^2}{\Delta} \right) \sigma_z \quad (4-1)$$

$$E_{\pm,n} \approx \hbar n \omega_r \pm \frac{\hbar}{2} (\Delta + 2ng^2 / \Delta) \quad (5-1)$$

¹ Detuning factor

در هامیلتونی (۴-۱) می‌توان اثر برهمنش بر روی اتم را مشاهده نمود. اگر خوب دقت کنیم،

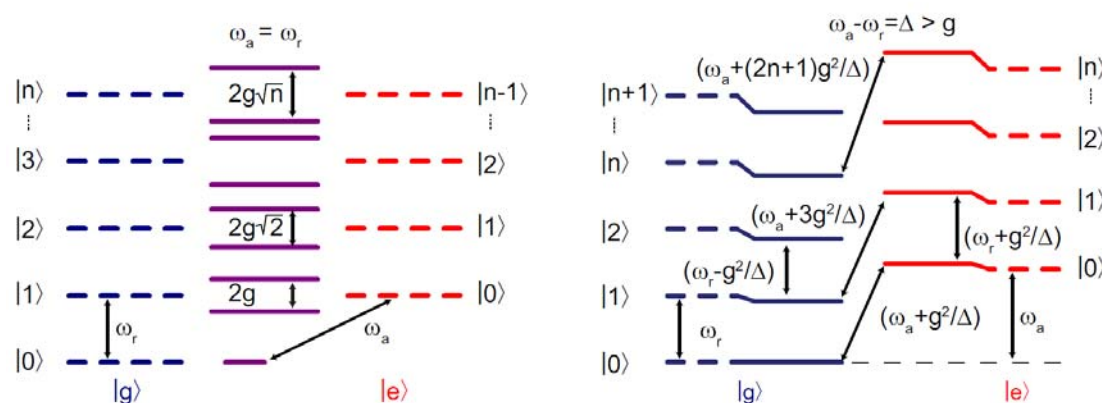
فرکانس اتم دچار دو جابجایی همزمان شده است:

اول) انتقال فرکانس استارک^۱ که به تعداد فوتونها وابسته است ($2ng^2/\Delta$)

دوم) انتقال فرکانس لامب^۲ که حاصل القای خلا می‌باشد (g^2/Δ)

هردوی این اثرات در فیزیک کوانتم شناخته شده می‌باشند و در عمل نیز مشاهده شده‌اند.

نمودارهای ترازهای انرژی برای شرایط تزویج قوی و رژیم پاشندگی در شکل ۵-۱ آورده شده‌اند.



شکل ۱-۵. نمودارهای ترازهای انرژی پس از برهمنش موج و اتم. خطوط گرسیته انرژی‌های هامیلتونی تزویج نشده و خطوط

تپیر انرژی‌های سیستم تزویج شده کامل می‌باشند؛

چپ: موج و اتم در تزویج قوی قرار دارند. راست: سیستم در رژیم پاشندگی قرار دارد [۱۰].

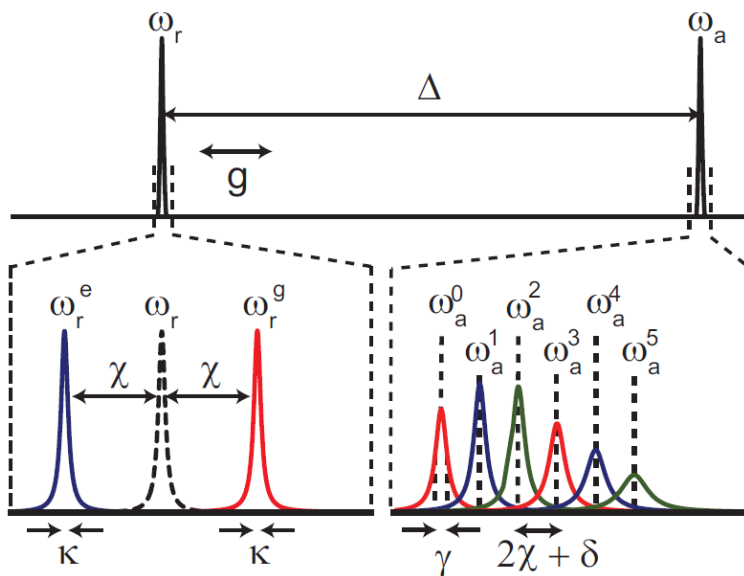
نکته جالب توجه در انرژی رژیم پاشندگی وابستگی مستقیم آنها به تعداد فوتون‌های داخل کاواک می‌باشد که این امر امکان تشخیص حالت داخل کاواک را فراهم می‌کند.

برای بالا بردن قابلیت تشخیص تعداد فوتون‌های داخل کاواک سیستم را در رژیم پاشندگی قوی

¹ Stark light shift

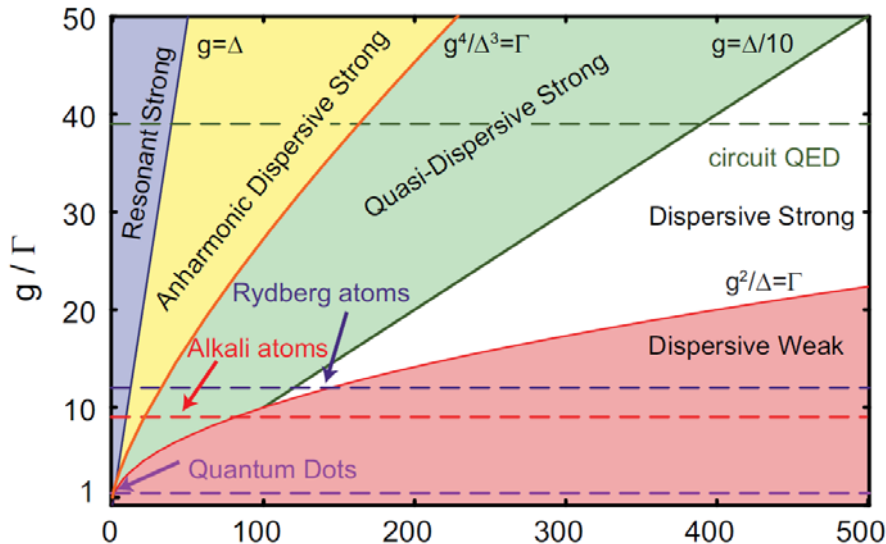
² Vacuum Lamb shift

قرار می‌دهیم؛ در این شرایط $\gamma \ll \Delta$ می‌باشد. در این صورت طیف فرکانسی موج خروجی دارای قله‌های مجزا وابسته به تعداد فوتون‌های داخل کاواک خواهد داشت (شکل ۶-۱). از طرفی به دلیل اینکه در بیت‌های کوانتومی تنها یک فوتون و یک اتم در کاواک متصور است، این امر بسیار مهم خواهد بود چون کمترین اختلاف بین حالت پایه و برانگیخته اول وجود دارد.



شکل ۶-۱. طیف یک کاواک کوانتومی الکترودینامیکی در رژیم پاشندگی قوی؛ راست: حول فرکانس اتم در تعداد فوتون‌های مختلف. چپ: حول فرکانس رزوناتور؛ آبی: اتم در حالت برانگیخته، قرمز: پایه و سیاه: بدون اتم [۱۰].

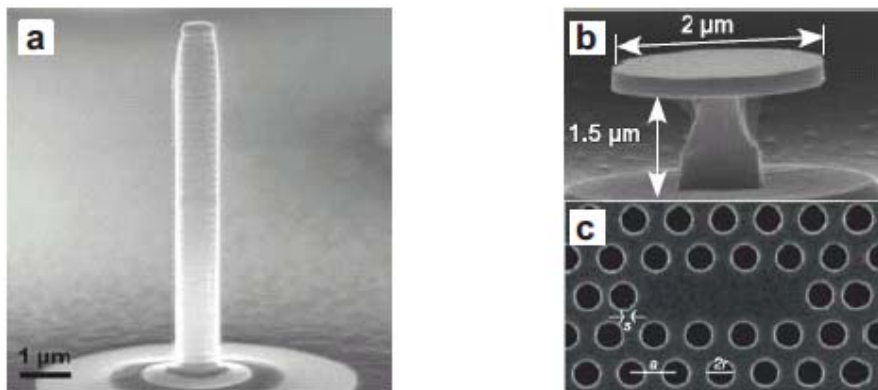
با توجه به توضیحات فوق می‌توان مشابه شکل ۱-۷ نواحی مختلف کاری برای یک سیستم تزویج شده موج و اتم را بر روی نموداری بر حسب پارامترهای میرایی و برهمنکش نشان داد. همانطوریکه دیده می‌شود، کاواک کوانتومی الکترودینامیکی در تمامی نواحی قابل بکارگیری است.



شکل ۱. نواحی مختلف کاری برای یک سیستم تزویج شده موج و اتم [۱۴].

البته لازم به ذکر است که علاوه بر پیشرفت سریع در سیستم‌های اتمی، پیشرفت‌های بسیار خوبی در زمینه سیستم‌های نیمه‌هادی مانند نقطه‌های کوانتومی^۱ که از آنها به عنوان اتم‌های مصنوعی [۱۵]-[۱۶] و یا ساخت کاواک استفاده می‌شود، به چشم می‌خورد. در تکنیک این گزارش [۱۷][۱۷]، از نقطه‌های کوانتومی خود ساخته و بازتاب دهنده‌های ساخته شده از دی الکتریک‌های متنابض برای ساخت کاواک استفاده می‌شود (شکل ۱-۸). در یک روش دیگر از یک کاواک فوتونی در ناخالصی یک بلور فوتونی دارای گاف انرژی دو بعدی استفاده شده است، که مانند یک چاه کوانتومی عمل می‌کند [۱۸]. این روش‌ها، مسیری طبیعی برای استفاده از تکنیک‌هایی که در رشته حالت جامد به وجود آمده در کوانتوم اپتیک است.

^۱ Quantum dot



شکل ۸-۱ (a) یک نقطه کوانتومی درون مایکروپیلار از نیمه‌هادی‌ها (Al-As و Ga-As) یک بلور فوتونی دو بعدی که به یک مایکروپیلار تکیه داده شده است. (c) نمای بالا از یک بلور فوتونی. مکان کوانتوم دات پایین این سطح و درون ناخالصی‌ها است [۱۷]-[۱۸].

۵-۱ مدارهای کوانتومی ابررسانا

به دلیل خواص منحصر به فرد مواد ابررسانا، از مدارهای ابررسانایی در کاوک به عنوان ذرات کوانتومی دو حالت استفاده شده است. این مدارهای ابررسانا می‌توانند به گونه‌ای طراحی شوند که طیفی غیر خطی و گسسته و همچنین زمان همدوسی بالایی داشته باشند. در نتیجه این قابلیت را دارند که به عنوان اتم‌های مصنوعی در نظر گرفته شوند. پیوند جوزفسون مانند یک سلف غیر خطی عمل می‌کند که مانند یک ترانزیستور نیمه‌هادی، می‌تواند مبنای بهره و منطق غیر بدیهی را به وجود بیاورد.

در فصل آتی (فصل سوم) اصول پدیده ابررسانایی و دانش مورد نیاز این پروژه در زمینه ابررسانایی آورده شده است. با استفاده از مفاهیم ابررسانایی خواهیم توانست بیت‌های کوانتومی ابررسانا را تحلیل نماییم (فصل بعد).

فصل ۲ اصول ابررسانایی و مقدمه‌ای بر پدیده جوزفسون

۱-۲ مقدمه

مقاومت الکتریکی بسیاری از فلزات و آلیاژها (مانند Al ، Hg ، Nb ، Zn و ...) هنگامی که به اندازه کافی سرد شوند (معمولأً در درجه حرارت‌های در محدوده هلیوم مایع و کمتر از آن) به طور ناگهانی صفر خواهد شد. این پدیده به عنوان مهمترین خاصیت ابررساناهای شناخته می‌شود.

برای اولین بار این پدیده در سال ۱۹۱۱ توسط فیزیکدان هلندی به نام Heike Kamerlingh Onnes در دانشگاه Leiden^۱ در عنصر جیوه (اولین ابررسانای کشف شده) و در دمای هلیوم مایع (4 K) کشف

۱ - <http://www.leiden.edu>

شد. یک سال بعد Onnes دریافت که مقاومت صفر عنصر جیوه در دمای K 4 تحت میدانهای مغناطیسی

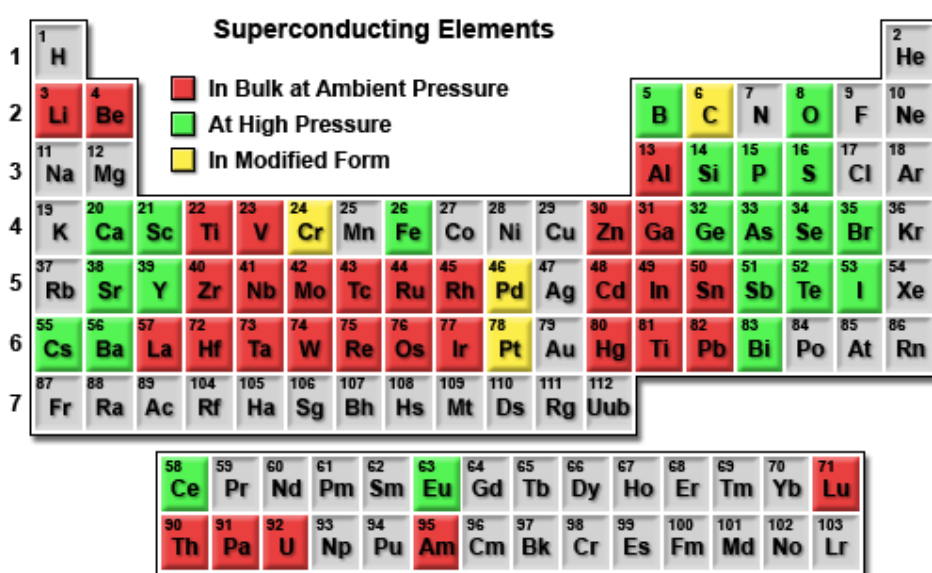
بالا و همچنین با عبور جریان بالا از بین خواهد رفت. در سال ۱۹۱۳ این فیزیکدان به علت تحقیقات

ارزنده خود در زمینه ابررسانایی برنده جایزه نوبل شد.

پس از آن ابررساناها دیگری نیز کشف شدند که از انواع فلزات، سرامیک‌ها، آلیاژ‌ها و عناصر

ترکیبی و تغییر شکل یافته بدست آمده بودند. البته برخی از عناصر، فقط تحت فشارهای بسیار زیاد و

دهماهای بسیار کم، ابررسانا می‌شوند (شکل ۱-۲).



شکل ۱-۲ شرایط بروز خاصیت ابررسانایی در عناصر جدول تناوبی [۱۹]

اما همهی عناصر، با فرض ابررسانا شدن، دارای دمای گذار ابررسانایی بسیار کمی می‌باشند و این

مسئله، طیف کاربردهای آن‌ها را در ابتدای اکتشاف، محدودتر می‌کرد (اگرچه امروز رسیدن به دهها

بسیار اندک با سادگی بیشتری امکان‌پذیر شده است). سپس خاصیت ابررسانایی در برخی آلیاژ‌های فلزی

و ترکیبات این عناصر، مانند ترکیب‌های فلز Nb₃Sn، Nb₃Ge و ... که دمای گذار

ابررسانایی نسبتاً بیشتری دارند، کشف شد. مثلاً Nb_3Sn دارای دمای گذار ابررسانایی 180K و Nb_3Ge

دارای دمای گذار ابررسانایی 230K می‌باشد [۱۹].

اما در این مواد نیز دمای ابررسانایی هنوز اندک می‌باشد و سرد کردن این مواد تا این دما، نیاز به تجهیزات سرمایشی پیچیده‌ای دارد. به همین دلیل، تا مدتی، ابررساناهای برای استفاده در مدارات علمی و سیستم‌های کاربردی، چندان مورد توجه، قرار نگرفت. اما در سال ۱۹۸۶، انقلاب بزرگی در علم ابررسانایی صورت پذیرفت. محققین آزمایشگاه تحقیقاتی IBM در زوریخ، خاصیت ابررسانایی را در ترکیبات غیرفلزی خاصی به نام سرامیک‌ها کشف کردند. این محققین مشاهده کردند که انواع خاصی از سرامیک‌ها با وجود اینکه در دماهای عادی رسانای خوبی نمی‌باشند، اما پس از سرد شدن و کاهش دما، در دماهای اندک، خاصیت ابررسانایی پیدا می‌کنند. ماده‌ی سرامیکی که این محققین موفق به ساخت آن شدند، LaBaCuO بود که دمای ابررسانایی در حدود 320K داشت و بیشترین دمای ابررسانایی تا آن زمان بود. این امر توجه آزمایشگاه‌های مختلفی را در سراسر جهان به خود جلب کرد، تا اینکه در فوریه سال ۱۹۸۷، گروه تحقیقات ابررسانایی دانشگاه آلاما موفق به تولید سرامیکی شدند که در دمای 920K ابررسانا می‌شد. این ماده که فورمول شیمیایی آن $\text{YBa}_2\text{Cu}_3\text{O}_{7-x}$ می‌باشد، بسیار مورد توجه دانشمندان و به خصوص مهندسان قرار گرفت، زیرا دمای ابررسانایی آن بالاتر از دمای جوش نیتروژن بوده و لذا با استفاده از نیتروژن مایع که بسیار ارزان و فراوان است، قابل سرد شدن می‌باشد. از آن پس، ابررساناهایی با دمای گذار بالاتر تا حدود 1380K نیز کشف گردید. اما با رسیدن به این دمای گذار خاص (1380K)، از سرعت رشد رکوردد بیشینه‌ی دمای گذار کاسته شد. با این حال، تحت فشارهای خیلی زیاد، پدیده‌ی

ابررسانایی در موادی مانند $\text{InSnBa}_4\text{Tm}_4\text{Cu}_6\text{O}_{18+}$ در دمای 150°K نیز مشاهده شده است. این سرامیک‌های ابررسانا که دمای ابررسانایی زیادی دارند، ابررساناهای دمای بالا (HTS¹) نام گرفتند و توجه طیف وسیعی از مهندسان و محققان کاربردی را به خود جلب کردند. علت این امر، خواص بسیار جالب توجه این نوع از ابررساناهای بوده که برای استفاده در مدارات مایکرورویوی، نوری، مغناطیسی و ... بسیار مفید و کاربردی می‌باشد. در جدول ۱-۲، لیست برخی از مهمترین ابررساناهای دمای بالا آورده شده است.

جدول ۱-۲ دمای ابررسانایی برخی ابررساناهای دما بالا [۱۹]

HTS	T_c
$(\text{La}_{1.85}\text{Ba}_{.15})\text{CuO}_4$	32 K
$(\text{La}_{1.85}\text{Sr}_{0.15})\text{CuO}_4$	40 K
$\text{Y}_1\text{Ba}_2\text{Cu}_4\text{O}_8$	81 K
$\text{Y}_1\text{Ba}_2\text{Cu}_3\text{O}_{7-x}$	92 K
$\text{Bi}_2\text{Sr}_2\text{CaCu}_2\text{O}_8$	91-92K
$\text{Sn}_4\text{Ba}_4\text{Y}_3\text{Cu}_7\text{O}_x$	~80 K
$\text{Tl}_2\text{Ba}_2\text{CaCu}_2\text{O}_{7+}$	105 K
$\text{TlBa}_2\text{Ca}_3\text{Cu}_4\text{O}_{11}$	112 K
$\text{Tl}_2\text{Ba}_2\text{Ca}_2\text{Cu}_3\text{O}_{10}$	127-128 K
$\text{HgBa}_2\text{Ca}_2\text{Cu}_3\text{O}_8$	133-135 K
$(\text{Hg}_{0.8}\text{Tl}_{0.2})\text{Ba}_2\text{Ca}_2\text{Cu}_3\text{O}_{8.33}$	138 K
$\text{InSnBa}_4\text{Tm}_4\text{Cu}_6\text{O}_{18+}$	~150 K

¹ High Temperature Superconductor

امروزه پس از پیشرفت‌های بسیار زیاد در علوم مهندسی، وسایل و ابزارالات خنکسازی^۱ دیگر مشکلی بر سر راه بهره‌برداری از ابررسانها نیستند و دمای بسیار پائین به راحتی قابل دسترسی بوده و استفاده از مواد ابررسانا را آسان نموده‌اند.

۲-۲ تئوری‌های ابررسانا

همانطور که گفته شد هنگامی که یک ابررسانا تا زیر دمای بحرانی سرد شود مقاومت آن به طور ناگهانی، صفر می‌شود. خاصیت مهم دیگر آنها عدم اجازه نفوذ میدان مغناطیسی به درون ماده و دفع آن به اطراف می‌باشد که این پدیده اثر مایزنر^۲ نامیده می‌شود [۲۰]. به دنبال کشف پدیده ابررسانا ایی تلاشهای بسیاری برای توصیف این پدیده انجام شد. در سال ۱۹۳۴ یک مدل بسیار ساده توسط London برای توصیف آن معرفی شد. این مدل اثر مایزنر را توصیف کرده و وجود طول نفوذ λ را پیش‌بینی می‌کند (λ طولی است که در این طول میدان مغناطیسی در ابررسانا نفوذ کرده و به صورت نمایی افت می‌کند تا به صفر برسد). سپس در سال ۱۹۵۰ توسط Vitaly Ginzburg و Lev Landau یک تئوری معرفی شد که بعدها به تئوری Ginzburg-Landau معروف شد. این تئوری که بر پایه ویژگی‌های ماکروسکوپیک است بسیاری از خواص ابررسانها را توصیف می‌کند. در سال ۱۹۵۷ Alexi Abrikosov با استفاده از تئوری Ginzburg-Landau به مطالعه ابررسانها تحت میدان مغناطیسی پرداخت و ابررساناهای نوع یک و نوع دو^۳ را کشف کرد که در ادامه به توضیح مختصری از آنها خواهیم پرداخت.

¹ Cryogenics

² Meissner effect

³ Type I and Type II superconductors

۱-۲-۲ تئوری BCS

کامل‌ترین مدل تئوری ارائه شده برای توصیف پدیده ابررسانایی در سال ۱۹۵۷ توسط فیزیکدانان آمریکایی به نامهای آقایان John Bardeen ، Leon Cooper و John Schriffer ارائه شد. این تئوری که به نام تئوری BCS معروف است از نظر ریاضی بسیار پیچیده است و به خوبی پدیده ابررسانایی را در دماهای نزدیک به دمای صفر مطلق برای آلیاژها و عناصر توصیف می‌کند ولی برای توصیف پدیده ابررسانای دمای بالا تئوری جامعی نیست و نمی‌تواند این پدیده را در دماهای بالا توصیف کند.

ایده‌ی مدل نظری بس‌ذره‌ای BCS برای ابررساناهای، بر این مبنای است که در حالت ابررسانایی، الکترون‌ها با وجود دافعه‌ی متقابل، توسط نیروی واسطه‌ی فونونی، به یکدیگر متصل شده و تشکیل زوج‌های کوپر را می‌دهند. اندرکنش جذبی بین زوج الکترون‌ها به کمک فونون‌ها و توسط یون‌های شبکه در ابررساناهای معمولی انجام می‌شود.

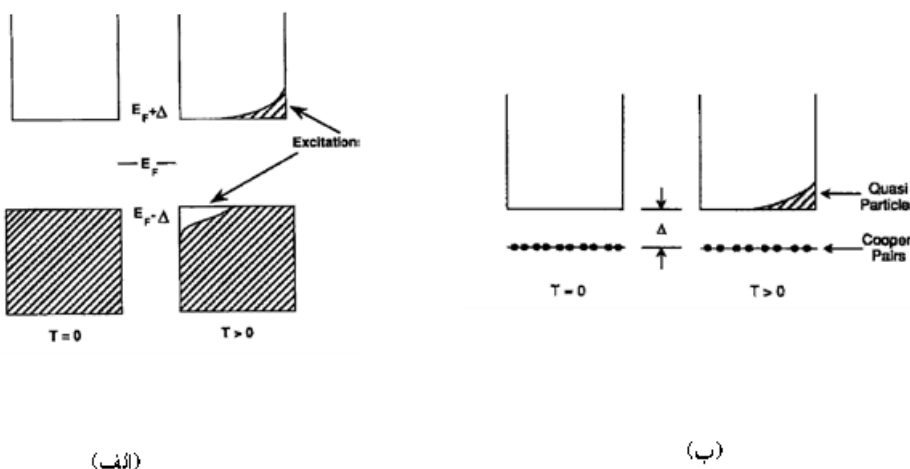
در یک تصویر کلی، تعامل با جذب یون‌ها در شبکه، توسط الکترون عبورکننده آغاز می‌شود. حرکت یون‌ها به سمت الکترون، ناحیه‌ای از بارهای مثبت ایجاد می‌کند که می‌تواند الکترون دوم را جذب نماید. بنابراین نتیجه‌ی حرکت یون‌ها، ساطع شدن یک فونون توسط الکترون اول است که این فونون توسط الکترون دوم، حس و جذب می‌شود. بنابراین زوج‌های کوپر در حالت ابررسانایی، از طریق تبادل فونون‌ها، به صورت یک مجموعه، رفتار می‌کنند. انرژی اتصال هر الکترون، گاف ابررسانایی نامیده شده و با Δ بیان می‌شود. برای شکستن یک زوج کوپر، انرژی معادل 2Δ لازم است، زیرا یک الکترون به همراه زوج خود، وارد حالت تحریک شده می‌گردد. به بیان دیگر، امکان وجود الکترون جفت نشده در حالت ابررسانایی غیرمحتمل است. تزویج بین دو الکترون و تشکیل زوج کوپر، منجر به خاصیت مقاومت صفر در ابررساناهای می‌شود، زیرا زوج‌های کوپر تنها وقتی دچار پراکنش می‌شوند، که تحت تاثیر

انرژی بیشتر از 2Δ قرار گیرند.

بنابراین، حالت ابرسانایی انرژی گاف بین الکترون‌های عادی و الکترون‌های زوج‌شده ابرسانا ایجاد می‌کند، که شبیه انرژی گاف بین باند ظرفیت و هدایت در مواد نیمه‌رسانا می‌باشد و ساختار باند آن در شکل ۲-۲، نشان داده شده است. در نیمه‌رساناها، انرژی گاف E_g از مرتبه 1 eV است، در حالی که تئوری BCS، برای ابرساناهای معمولی درجه حرارت پایین، انرژی گاف بسیار کوچکتری را در محدوده 1 meV تا 3 meV پیش‌بینی می‌کند که این گاف برای ابرساناهای معمولی، از رابطه زیر به دست می‌آید.

$$2\Delta(0) = 3.52K_B T_c \quad (1-2)$$

در رابطه فوق K_B ثابت بولتزمن بوده و Δ ، گاف ابرسانایی در دما $T=0$ می‌باشد.



شکل ۲-۲ دیاگرام سطوح انرژی در دمای‌های صفر و غیر صفر (الف) نیمه‌رسانا (الکترون‌ها همواره فرمیون) (ب) ابرسانا (الکترون‌ها در حالت بوزون و زوج کوپر در شکل آبرالکترون) [۲۰]

در نیمه‌رساناها، همان‌طور که در شکل ۲-۲، می‌بینیم، فونون‌های با انرژی $E_g \geq h\omega$ می‌توانند الکترون‌ها را در طول گاف تحریک کنند و منجر به تشکیل زوج‌های الکترون-حفره شوند. وضعیت

مشابهی نیز در ابررساناهای رخ می‌دهد، که این وضعیت، در شکل ۲-۲ دیده می‌شود. فوتون‌های با انرژی $\hbar\omega \geq 2\Delta$ می‌توانند زوج‌های کوپر را بشکنند و الکترون‌ها را به حالت نرمال تحریک کنند. از این تحریک‌ها، با عنوان تحریک‌های شبهدره^۱ یاد می‌شود، زیرا الکترون‌ها در این حالت می‌توانند خواص هر دو شکل شبه‌حفره یا شبه‌الکترون را داشته باشند.

۲-۲-۲ مدل دوسیالی ابررسانا

مدل دوسیالی^۲، مجموعه‌ی الکترون‌های نرمال و زوج‌شده‌ی ابررسانا را به فرم دو ماده سیال بدون برهم کنش، توصیف می‌کند: سیال ابررسانا که از حامل‌های بار در حالت ابررسانایی تشکیل شده، و سیال نرمال که متشکل از حامل‌های بار در حالت نرمال است. همانطور که اشاره شد، به حامل‌های بار در حالت نرمال، تحریک‌های شبهدره نیز می‌گویند.

نقشه شروع مدل دو سیالی، ارائه‌ی رابطه‌ی وابستگی دمایی چگالی حامل‌های بار به صورت زیر می-

باشد [۲۰].

$$n_s(T) = n_0 \begin{cases} 0 & T \geq T_c \\ 1 - (T/T_c)^\gamma & T \leq T_c \end{cases} \quad (2-2)$$

$$n_n(T) = n_0 \begin{cases} 1 & T \leq T_c \\ (T/T_c)^\gamma & T \geq T_c \end{cases} \quad (3-2)$$

در این روابط، T دما، T_c دمای بحرانی و n_0 چگالی کل الکترون‌ها در ابررسانا است.

$n_s(T)$ نیز با یکی از پارامترهای پایه‌ی ابررسانایی به نام عمق نفوذ میدان مغناطیسی (عمق نفوذ

¹ Quasi-particle excitation

² Two Fluid Model

لاندن^۱، $\lambda_L(T)$ ، به صورت زیر رابطه دارد.

$$\frac{1}{\lambda_L(T)^2} = \frac{e^2 n_s(T) \mu_0}{m_s} \quad (4-2)$$

که e بار الکتریکی، m_s جرم موثر یک الکترون و μ_0 نفوذپذیری مغناطیسی فضای آزاد است.

λ_L میزان نفوذ میدان مغناطیسی داخل ابررسانا را نشان می‌دهد. بنابراین به λ_L عمق نفوذ داخل ماده‌ی

ابررسانا گفته می‌شود. عمق نفوذ طبق رابطه‌ی زیر به دما، وابستگی دارد.

$$\lambda_L(T) = \frac{\lambda_L(0)}{\sqrt{1 - (T/T_c)^4}} \quad (5-2)$$

(۵-۲) عمق نفوذ در دمای صفر است.

خاصیت منحصر به فرد $\lambda_L(T)$ در مقایسه با عمق پوستی رساناهای فلزی، عدم وابستگی آن به فرکانس مایکروویو است که این خاصیت منجر به ناچیز بودن واپاشی در ابررسانا می‌باشد.

وقتی ماده ابررسانا در یک میدان مغناطیسی ضعیف تا کمتر از دمای بحرانی، T_c ، سرد می‌شود، اندوکتانس مغناطیسی داخل آن صفر می‌شود و شار مغناطیسی از داخل آن به بیرون دفع می‌شود. به این خاصیت، اثر مایزнер^۲ گفته می‌شود که در سال ۱۹۳۳ کشف شد و یکی از خواص ویژه‌ی ابررساناهای است.

اثر مایزнер با هیچ‌یک از مدل‌های متداول حالت جامد قابل توضیح نبود. در سال ۱۹۳۴، برادران لاندن یک مدل دوسیالی ساده را برای توضیح اثر مایزнер ارائه کردند. مدل لاندن همچنین عمق نفوذ ابررسانایی را به نحو مناسبی پیش‌بینی کرد. معادلات لاندن بر حسب عمق نفوذ $\lambda_L(T)$ به صورت زیر در می‌آید [۲۰].

^۱ London Penetration depth

^۲Meissner effect

$$\frac{\partial \mathbf{J}_s}{\partial t} = \frac{1}{\mu_0 \lambda_L^2(T)} \mathbf{E} \quad (6-2)$$

$$\nabla \times \mathbf{J}_s = -\frac{1}{\lambda_L^2(T)} \mathbf{H} \quad (7-2)$$

۳-۲ مقدمه‌ای بر ویژگی‌های پیوند جوزفسون در ابررسانا

۱-۳-۲ مدل گینزبرگ-لانداو^۱ برای ابررسانایی

پیشتر اشاره کردیم که در فاز ابررسانایی، دو الکترون آزاد با هم جفت شده و تشکیل یک ذره واحد با بار معادل $e^* = 2m$ ^۲ و جرم m^* به نام زوج کوپر را می‌دهند. این زوج‌ها مانند بوزون‌ها رفتار می‌کنند. طبق قوانین مکانیک کوانتوم، در شرایط خاص، بوزون‌ها همگی دارای یک حالت کوانتومی می‌شوند که به این پدیده در اصطلاح چگالش بوز-اینشتین^۳ می‌گویند که خاصیت ابرشارگی در هلیوم نیز به این خاصیت مربوط می‌شود. این حالت کوانتومی ماکروسکوپیک با تابع موج ψ نمایش داده می‌شود:

$$\psi = |\psi(\vec{r})| \exp^{i(\theta(\vec{r}))} \quad (8-2)$$

که در آن $|\psi(r)|$ تعیین‌کننده چگالی وجود جفت الکترون‌ها در مکان r می‌باشد و فاز $\theta(r)$ با جریان ابررسانایی^۴ در آن مکان رابطه دارد. با نزدیک شدن دو ابررسانا به هم، توابع موج آنها در سد

¹ Ginzburg-Landau

² Bose-Einstein Condensation (BEC)

³ Supercurrent

مابین نفوذ کرده و در یکدیگر ادغام می‌شوند تا سطح انرژی سیستم به مقدار حداقل برسد. در این

شرایط جفت الکترون‌ها می‌توانند بدون اتلاف انرژی از سد بین دو ابررسانا عبور کرده و جابجا گردند.

چگالی زوج‌های کوپر تابعی از دما بوده و مطابق مدل دوسیالی در ابررسانا، هم الکترون‌های عادی و هم

زوج‌های کوپر (آبرالکترون‌ها^۱) در کنار یکدیگر وجود دارند که چگالی آنها به صورت زیر با هم رابطه

دارد:

$$\frac{n_s}{n} = 1 - \left(\frac{T}{T_c}\right)^{\gamma} \quad (9-2)$$

که در آن n_s چگالی آبرالکترون‌ها و n چگالی کل الکترون‌هاست و پارامتر γ برای ابررساناهای دمای

پایین، حدود ۴، و برای ابررساناهای دمای بالا، تقریباً ۲ می‌باشد.

دو پارامتر مهم دیگر در ابررساناهای، عمق نفوذ^۲ و طول همدوسی^۳ می‌باشند. همانطور که ذکر شد،

میدان مغناطیسی در عمق ابررسانا نفوذ نمی‌کند. حال اگر یک ابررسانا را در حضور یک میدان مغناطیسی

خارجی قرار دهیم، این میدان به صورت نمایی داخل ابررسانا افت می‌کند تا به صفر برسد. نرخ افت

نمایی میدان مغناطیسی در داخل ابررسانا، عمق نفوذ نامیده شده و با λ نشان داده می‌شود. بنابر معادلات

لاندن عمق نفوذ میدان مغناطیسی فاصله‌ای از سطح ابررساناست که میدان مغناطیسی در داخل آن به

مقدار $1/e$ روی سطح آن می‌رسد.

طول همدوسی (λ) حداقل فاصله‌ای است که تابع موج ابررسانا (ψ) می‌تواند در آن فاصله به صفر

¹ Super electrons

² Penetration depth

³ Coherence length

بررسد. تعبیر فیزیکی این پارامتر، فاصله بین دو الکترونی است که به هم تزویج شده‌اند (زوج کوپر) و برای شکستن پیوند بین این دو الکترون، مقداری انرژی لازم است که به اندازه همان گاف ابررسانایی می‌باشد. پس اگر در کمتر از این فاصله تابع موج در دو نقطه صفر باشد، پدیده ابررسانایی بین آن دو نقطه امکان‌پذیر نیست.

به همین دلیل است که اگر در ابررساناهای نوع دوم میدان مغناطیسی نفوذ کند، شعاع حلقه میدان عبوری در حدود عمق نفوذ و شعاع تخریب تابع موج در حدود طول همدوسی می‌باشد.

۲-۳-۲ تونل زنی در پیوندهای ابررسانا

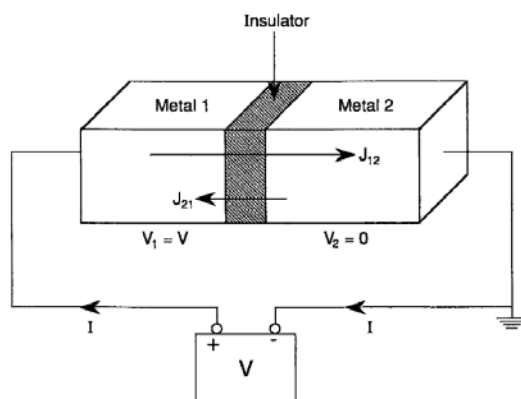
گام موثر دیگری در پیشرفت تئوری ابررسانایی در سال ۱۹۶۲ توسط Brian D. Josephson دانشجوی کارشناسی ارشد دانشگاه کمبریج برداشته شد. او پیش‌بینی کرد که جریان الکتریکی بین دو ماده ابررسانا وجود دارد حتی اگر توسط یک ماده غیر ابررسانا و یا یک عایق از هم جدا شوند. در سال ۱۹۶۴ این اثر در آزمایشگاه توسط آندرسون و رول مشاهده شد و باعث شد تا Josephson در سال ۱۹۷۳ به صورت اشتراکی برنده جایزه نوبل شود. این پدیده امروزه به عنوان پدیده جوزفسون شناخته می‌شود. کاربردهای بسیاری در حوزه ادوات ابررسانا به علت خواص جالب پدیده جوزفسون بوجود آمده است. یکی از مهمترین ابزارهایی که تاکنون توسط آن ساخته شده، وسیله‌ای به نام SQUID^۱ است. SQUID حسگری برای اندازه‌گیری ضعیف‌ترین میدان‌های مغناطیسی موجود مانند میدان‌های مغناطیسی ناشی از فعالیت‌های مغز انسان است.

پدیده‌ی تونل زنی یک پدیده‌ی کوانتمی است که مطابق آن، الکترون از سدی که انرژی آن بیشتر از انرژی جنبشی ذره است، عبور می‌کند (بر خلاف پیش‌بینی فیزیک کلاسیک). رابطه‌ی تونل زنی و مثال آن در ادامه آمده است.

$$I = \frac{2\pi eA}{\hbar} |H_T|^2 \int D_1(E - eV) D_2(E) \times [f(E - eV) - f(E)] dE \quad (10-2)$$

که در این رابطه، D_1 و D_2 معرف چگالی حالت‌های پر و خالی در دو طرف پیوند، $|H_T|^2$ احتمال تونل-زنی، و تابع f احتمال پر یا خالی بودن حالت‌ها است.

سه نوع پیوند جوزفسون از همه معروف‌ترند: ابررسانا-عایق-رسانا^۱، ابررسانا-عایق-ابررسانا^۲ و پیوند ضعیف ابررسانا-ابررسانا (Weak link junction) که در هر کدام تونل زنی کمی متفاوت است. مشخصاً ذراتی که در پیوند SIN تونل می‌زنند الکترون‌های نرمال خواهند بود در حالی که در پیوندهای دو طرف ابررسانا، هم الکترون‌های عادی و هم زوججهای کوپر تونل می‌زنند.



شکل ۳-۲ پدیده تونل زنی [۲۰]

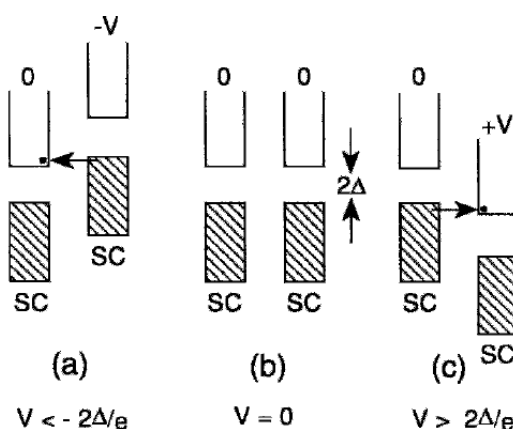
^۱ Superconductor-Insulator-Normal

^۲ Superconductor-Insulator-Superconductor

در یک پیوند ابرسانا- عایق- ابرسانا^۱، اگر ضخامت سد به اندازه کافی کم باشد، الکترون‌های معمولی می‌توانند تونل بزنند (نوارهای پر و خالی انرژی روبروی هم قرار می‌گیرند). اگر فاصله از آن هم کمتر شود، به طوری که در حد طول همدوسی باشد، آنگاه توابع موج در دو طرف پیوند با یکدیگر هم-پوشانی داشته و در نتیجه، احتمال تونل زنی زوج‌های کوپر نیز فراهم می‌شود. به دلیل نیاز کیویت‌ها، در ادامه به بررسی دو نوع تونل زنی در پیوند SIS می‌پردازیم.

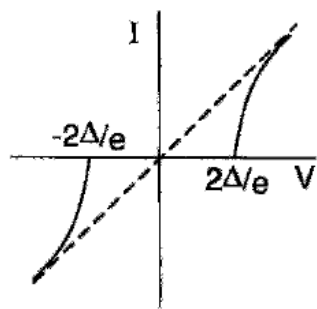
۳-۳-۲ تونل زنی الکترون‌های معمولی در پیوند SIS

یک پیوند SIS را در نظر گرفته و برای سادگی فرض می‌شود ابرسانای هر دو طرف پیوند، از یک نوع هستند و لذا انرژی گاف یکسان دارند. در شکل ۴-۲، نمودار انرژی برای این پیوند رسم شده است. هنگامی که ولتاژ در بازه‌ی $V < -2\Delta/e$ باشد، نواحی الکترون‌دار روبروی نواحی مجاز قرار نمی‌گیرد و لذا جریانی وجود نخواهد داشت. اما خارج از این بازه، الکترون‌ها می‌توانند تونل بزنند.



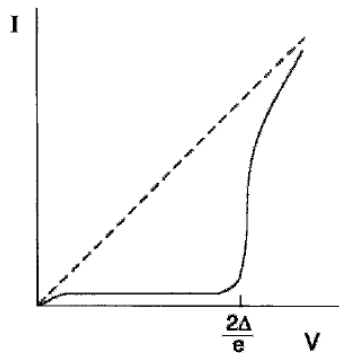
شکل ۴-۲ حالت‌های مختلف تونل زنی [۲۱]

^۱ Superconductor-insulator-Superconductor (SIS)



شکل ۲-۵ تونل زنی تک الکترون‌ها در پیوند SIS [۲۱]

نمودار $I-V$ نشان داده شده در شکل ۲-۵ برای دمای $T=0$ رسم شده است، در دماهای غیر صفر تعدادی زوج کوپر شکسته می‌شوند و تولید الکترون‌های معمولی در بالای ناحیه گاف می‌کنند، که باعث تونل زنی در ولتاژهای کمتر می‌شود (شکل ۶-۲).



شکل ۶-۲ تونل زنی تک الکترون‌ها در پیوند SIS در دمای غیر صفر [۲۱]

۴-۳-۲ تونل زنی زوج الکترون‌ها: پدیده جوزفسون و روابط آن

در ابتدا با استفاده از قوانین مکانیک کوانتوم، روابط جوزفسون را بدست آورده، خواهیم دید که تونل زنی زوج الکترون‌ها به اختلاف فاز توابع موج در دو طرف پیوند بستگی دارد.

برخلاف تونل زنی تک الکترون‌ها، تونل زنی زوج الکترون‌ها احتیاجی به ولتاژ ندارد. بنابراین می‌توان

یک منبع جریان به پیوند وصل کرد و مادامی که جریان از یک حد بحرانی کمتر باشد ولتاژ تولید نمی-شود. در ادامه برای درک این پدیده به صورت کیفی تاثیر توابع موج بر روی دو ابرسانا که بسیار به هم نزدیک شده‌اند، بررسی می‌شود. هنگامی که دو ابرسانا از یکدیگر دور باشند زوج الکترون‌ها در هر کدام توسط یک تابع موج ماکروسکوپیک توصیف می‌شوند که فاز این دو تابع موج از یکدیگر مستقل هستند (معادله (۲-۸)). اما هنگامی که فاصله دو ابرسانا کم شود توابع موج به اندازه کافی از سد نفوذ کرده و با یکدیگر تزویج می‌شوند. در این هنگام فازها قفل می‌شوند و زوج الکترون‌ها می‌توانند از سد بدون اتلاف انرژی عبور کنند. همچنین نشان داده خواهد شد که تونل‌زنی زوج الکترون‌ها در حالتی که ولتاژ اعمال می‌شود هم برقرار است اما در این حالت فازها دیگر قفل نیستند بلکه با یک نرخ وابسته به ولتاژ اعمالی نسبت به هم تغییر می‌کنند. می‌توان از روش ساده زیر معادلات جوزفسون را بدست آورد

[۲۰]. تغییرات زمانی توابع موج در هر طرف پیوند از معادله شرودینگر زیر پیروی می‌کند.

$$\begin{aligned} i\hbar \frac{\partial \psi_1}{\partial t} &= U_1 \psi_1 + K \psi_2 \\ i\hbar \frac{\partial \psi_2}{\partial t} &= U_2 \psi_2 + K \psi_1 \end{aligned} \quad (11-2)$$

که U ها انرژی توابع موج در دو ابرسانا و K ثابت تزویج نمایانگر میزان تزویج می‌باشد. با فرض اعمال یک ولتاژ به دو طرف پیوند، یک اختلاف انرژی به اندازه $e^*(V_2 - V_1) = e^*V$ بین دو ابرسانا به وجود می‌آید، به طوری که $U_2 - U_1 = e^*V$ می‌شود. برای راحتی سطح صفر انرژی مقدار متوسط U_2 و

U_1 در نظر گرفته می‌شود، لذا داریم:

$$\begin{aligned} i\hbar \frac{\partial \psi_1}{\partial t} &= -\frac{e^*V}{2} \psi_1 + K \psi_2 \\ i\hbar \frac{\partial \psi_2}{\partial t} &= \frac{e^*V}{2} \psi_2 + K \psi_1 \end{aligned} \quad (12-2)$$

با قرار دادن تابع موج به صورت $\psi_k = \sqrt{(n_{sk}^*)} \exp^{i(\theta_k)}$ که در آن $k = 1$ یا 2 است، جایگذاری ψ_k

در معادلات، جدا کردن قسمتهای حقیقی و موهومی و معرفی $\varphi = \theta_2 - \theta_1$ روابط زیر بدست می‌آید:

$$\begin{aligned}\frac{\partial n_{s1}^*}{\partial t} &= \frac{2}{\hbar} K \sqrt{(n_{s1}^* n_{s2}^*)} \sin(\varphi) \\ \frac{\partial n_{s2}^*}{\partial t} &= -\frac{2}{\hbar} K \sqrt{(n_{s1}^* n_{s2}^*)} \sin(\varphi)\end{aligned}\quad (13-2)$$

$$\begin{aligned}\frac{\partial \theta_1}{\partial t} &= -\frac{K}{\hbar} \sqrt{\left(\frac{n_{s2}^*}{n_{s1}^*}\right)} \cos(\varphi) + \frac{e^* V}{2\hbar} \\ \frac{\partial \theta_2}{\partial t} &= -\frac{K}{\hbar} \sqrt{\left(\frac{n_{s1}^*}{n_{s2}^*}\right)} \cos(\varphi) - \frac{e^* V}{2\hbar}\end{aligned}\quad (14-2)$$

از معادله (13-2) دیده می‌شود که نرخ تغییرات چگالی زوج الکترون‌ها در یک ابرسانا مخالف دیگری است. این نرخ تغییرات، تنها نشان دهنده تمایل به تغییرات است. چون به علت بهم خوردن توازن بار الکتریکی نمی‌توان تغییرات چگالی زوج الکtron داشت بنابراین این عدم تعادل توسط جریانهایی که به پیوند می‌آیند جبران می‌شود. در نتیجه حاصل ضرب تمایل به تغییرات بار، در ضخامت پیوند برابر چگالی جریانی است که از پیوند می‌گذرد. این چگالی جریان در جهت مخالف تغییرات θ می‌باشد. در پیوند جوزفسون $0 < \phi$ نمایانگر کاهش فاز از 1 به 2 است، لذا هنگامی که $0 < \phi$ است جریان از 2 به 1 است. پس معادلات فوق برای چگالی جریان از 2 به 1 به رابطه زیر منجر می‌شوند:

$$J = J_c \sin(\varphi) \quad (15-2)$$

این اثر، پدیده DC جوزفسون نامیده می‌شود. در رابطه فوق، J_c چگالی جریان بحرانی نامیده می‌شود و انتگرال چگالی جریان بحرانی روی سطح مقطع پیوند جریان بحرانی (I_c) را بدست می‌دهد. ذکر این نکته حائز اهمیت است که محاسبه J_c از معادلات فوق، به علت نداشتن اطلاعاتی در مورد مقدار عددی k ، امکان ندارد.

با تفاضل روابط و مساوی قرار دادن n_{s1}^* و n_{s2}^* ، تغییرات زمانی اختلاف فاز دو طرف پیوند به

صورت زیر بدست می‌آید:

$$\frac{\partial \varphi}{\partial t} = \frac{2e}{\hbar} V \quad (16-2)$$

که به این اثر، پدیده AC جوزفسون گفته می‌شود و در این رابطه V ولتاژ دو سر پیوند است.

معادلات (15-2) و (16-2)، روابط جوزفسون نامیده می‌شوند که رفتار ابرالکترون‌ها را توضیح می-

دهند. در دمای غیر صفر و ولتاژ غیر صفر یک مؤلفه جریان دیگر ناشی از الکترون‌های معمولی نیز وجود دارد. رابطه (15-2) بیان می‌کند که جریان گذرنده از پیوند، تابعی است از چگالی جریان بحرانی J_c و اختلاف فاز دو تابع موج در دو سر پیوند و رابطه (16-2) نشان می‌دهد که آهنگ تغییر این اختلاف فاز، تابع ولتاژ دو سر پیوند می‌باشد. با اعمال یک ولتاژ DC به دو سر پیوند و انتگرال‌گیری از (16-2)، رابطه

زیر بدست می‌آید:

$$\varphi = \varphi_0 + \left(\frac{2e}{\hbar}\right) V t \quad (17-2)$$

با جایگذاری این رابطه در (15-2) معادلات زیر بدست می‌آیند:

$$J = J_C \sin(\varphi_0 + \omega_j t) \quad (18-2)$$

$$f_j = \frac{\omega_j}{2\pi} = \left(\frac{2e}{\hbar}\right) V \approx 483593.420 \frac{GHz}{V} \cdot V \quad (19-2)$$

بسیار جالب است که رابطه فوق ولتاژ را به فرکانس مربوط می‌کند و از آنجایی که اندازه‌گیری فرکانس با دقت بالایی مقدور می‌باشد، سازمان استاندارد آمریکا¹ این روش را برای تعریف استاندارد ولتاژ پذیرفته است [۲۰].

¹ US National Bureau of Standards

۵-۳-۲ انرژی تزویج جوزفسون (Josephson coupling energy)

با استفاده از روابط جوزفسون می‌توان کار انجام شده توسط یک منبع جریان در تغییر اختلاف فاز توابع موج دو سر پیوند را بدست آورد و از آنجا نتیجه گرفت [۲۲] و [۲۳]:

$$E = E_0 - E_C = E_0 - \left(\frac{\hbar I_c}{2e}\right) \text{Cos}(\phi) \quad (20-2)$$

رابطه فوق نشان می‌دهد که تزویج بین دو تابع موج باعث کاهش سطح انرژی به اندازه E_c می‌شود. این انرژی تزویج هنگامی بیشینه است که $\phi = 0$ باشد، اما هنگامی که چگالی جریان افزایش پیدا می‌کند و به مقدار بیشینه خود (J_c) می‌رسد آنگاه $\phi \rightarrow \pi/2$ و انرژی تزویج به صفر میل می‌کند. به ازای $J > J_c$ توابع موج دیگر تزویج ندارند و نسبت به هم شروع به لغزیدن می‌کنند. چگالی جریان بحرانی نشان-دهنده میزان تزویج دو تابع موج با یکدیگر است، که به نوع پیوند و ضخامت آن و ماده‌ای که به عنوان عایق بکار رفته بستگی دارد.

در بسیاری از کاربردها I_c در محدوده چند میکرو آمپر تا چند میلی آمپر قرار دارد. حد پایین از آنجا ریشه می‌گیرد که باید انرژی تزویج بر انرژی حرارتی (kT) غلبه کند. در غیر این صورت نویز حرارتی اثر تزویج بین توابع موج را از بین می‌برد. و به همین ترتیب در دماهای بالا نوسانات دمایی بسیار حساس خواهد بود.

۶-۳-۲ مدار معادل پیوند جوزفسون

با توجه به مباحث مطرح شده تا به اینجا دو نتیجه کلی زیر قابل استنتاج است:

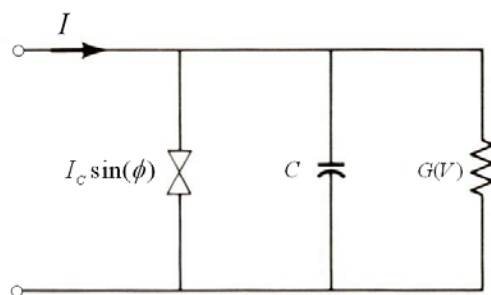
اول) جریان به اختلاف فاز دو طرف پیوند وابسته است.

دوم) نرخ تغییرات اختلاف فاز به ولتاژ وابسته است.

باید به خاطر داشت که روابط جوزفسون فقط برای ابرالکترون‌ها صادق است و علاوه بر آن در دمای غیر صفر الکترون‌های معمولی نیز می‌توانند جریان داشته باشند^۱. لذا در ولتاژ‌های بسیار کم نیز جریان ناشی از تکالکترون‌ها وجود دارد که دیگر مکانیزم هدایت آنها تونل‌زنی نیست بلکه هدایت معمولی است. همچنین در بسیاری از کاربردها ناحیه سد پیوند، عایق نیست بلکه ممکن است یک فلز معمولی و یا یک ارتباط ضعیف بین دو ابررسانا باشد که در این صورت جریان نشی به وجود خواهد آمد. برای در نظر گرفتن اثر جریان‌های اشاره شده در مدل پیوند، می‌توان یک مقاومت موازی در نظر گرفت.

یک پیوند همیشه دارای یک خازن موازی شده است که ناشی از ساختار خود پیوند است. در نتیجه برای یک پیوند جوزفسون واقعی مدل مداری نشان داده شده در شکل ۷-۲ پیشنهاد می‌شود [۲۰]. البته در حالت کلی G تابعی از ولتاژ است اما در بسیاری از موارد یک عدد ثابت فرض می‌شود. حل مسئله‌های مداری با استفاده از این مدار معادل می‌تواند پیچیده باشد؛ به علت اینکه ϕ باید از معادله (۱۶-۲)

بدست آید و این خود به C ، G و همچنین به امپدانس مداری که به آن وصل شده است، وابسته می‌باشد.



شکل ۷-۲. مدل مداری پیوند جوزفسون

^۱ Quasi particle current

۷-۳-۲ عملگرهای کوانتومی در هامیلتونی پیوند جوزفسون

همانطور که می‌دانیم هر مدار الکتریکی LC از دیدگاه کوانتومی همانند یک نوسانگر هماهنگ^۱ عمل می‌کند. بنابراین با توجه به مدل مداری ارایه شده از یک پیوند جوزفسون، به آسانی می‌توان تشخیص داد که یک پیوند جوزفسون تنها نیز می‌تواند یک نوسانگر هماهنگ باشد.

در ابتدا سعی می‌کنیم هامیلتونی یک مدار نوسانی LC را توسط عملگرهای کوانتومی که از پارامترهای مدار ساخته شده‌اند، بیان کنیم. انرژی این سیستم را می‌توان به صورت زیر نوشت:

$$H = \frac{q^2}{2C} + \frac{\varphi^2}{2L} \quad (21-2)$$

که در آن q و φ به ترتیب بار و شار ذخیره شده در خازن و سلف می‌باشند. با توجه به انرژی بدست آمده، می‌توان مشتقات انرژی نسبت به دو پارامتر مستقل مدار بیان نمود:

$$\begin{cases} \frac{\partial H}{\partial q} = \frac{q}{C} = -L \frac{\partial I}{\partial t} = -\dot{\varphi} \\ \frac{\partial H}{\partial \varphi} = \frac{\varphi}{L} = I = \dot{q} \end{cases} \quad (22-2)$$

به راحتی می‌توان اثبات نمود که رابطه جابجایی عملگر کوانتومی^۲ در مورد پارامترهای فوق برقرار است:

$$[\hat{q}, \hat{\varphi}] = -i\hbar \quad (23-2)$$

با یک مقایسه ساده نسبت به عملگرهای کوانتومی یک نوسانگر هماهنگ، می‌توان آنها را به شکل زیر با یکدیگر معادل نمود:

¹ Harmonic oscillator

² Quantum commutator

$$\hat{H} = \frac{\hat{p}^2}{2m} + m\omega^2 \frac{\hat{x}^2}{2} \Rightarrow \begin{cases} \hat{q} \leftrightarrow \hat{p} \\ \hat{\varphi} \leftrightarrow \hat{x} \\ \omega \leftrightarrow 1/\sqrt{LC} \end{cases} \quad (24-2)$$

در نهایت، عملگرهای خلق^۱ و نابودی^۲ برای هامیلتونی متناظر با روابط زیر ساخته می‌شوند:

$$\begin{cases} \hat{a} = \frac{1}{\sqrt{2\hbar Z_c}} (\hat{\varphi} + iZ_c \hat{q}) \\ \hat{a}^\dagger = \frac{1}{\sqrt{2\hbar Z_c}} (\hat{\varphi} - iZ_c \hat{q}) \end{cases} \quad (25-2)$$

که در آن $Z_c = \sqrt{L/C}$ امپدانس مشخصه مدار می‌باشد. در این صورت رابطه مشهور کوانتمی زیر

برقرار خواهد بود:

$$\hat{H} = \hbar\omega(\hat{a}^\dagger \hat{a} + 1/2) \quad (26-2)$$

۸-۳-۲ مشخصه ایستایی I-V پیوند جوزفسون^۳

در این بخش مشخصه ولتاژ-جریان پیوند را تحت شرایطی که جریان ثابتی به آن داده شده است،

بررسی می‌کنیم. به این منظور معادله دیفرانسیل ولتاژ مدار معادل را بدست می‌آوریم:

$$I = I_c \sin(\varphi) + GV + C \frac{dV}{dt} \quad (27-2)$$

اگر از روابط (15-2) و (16-2) استفاده کنیم، سمت راست معادله فوق تنها تابعی از φ خواهد بود:

¹ Creation operator

² Annihilation operator

³ Static I-V Characteristics

$$I = \frac{\hbar C}{2e} \frac{d^2\phi}{dt^2} + \frac{\hbar G}{2e} \frac{d\phi}{dt} + I_c \sin(\phi) \quad (28-2)$$

حال اگر معادله بالا را بر I_c تقسیم کرده و از تغییر متغیر استفاده کنیم:

$$\frac{I}{I_c} = \beta_c \frac{d^2\phi}{d\theta^2} + \frac{d\phi}{d\theta} + \sin(\phi) \quad (29-2)$$

در رابطه فوق $\beta_c = \frac{\omega_c C}{G} = \left(\frac{2e}{\hbar} \right) \left(\frac{I_c}{G} \right) \frac{C}{G}$ پارامتر اصلی پیوند جوزفسون است و ضریب

مک‌کامبر^۱ نامیده می‌شود [۲۳]. این ضریب به بیان دیگر، نسبت سوپتانس خازنی (در فرکانس جوزفسون) به رسانایی پیوند می‌باشد [۲۲]

برای یافتن مشخصه ولتاژ- جریان پیوند، ولتاژ متوسط $V = \left\langle \left(\frac{\hbar}{2e} \right) \frac{d\phi}{dt} \right\rangle$ را به ازای جریان اعمالی

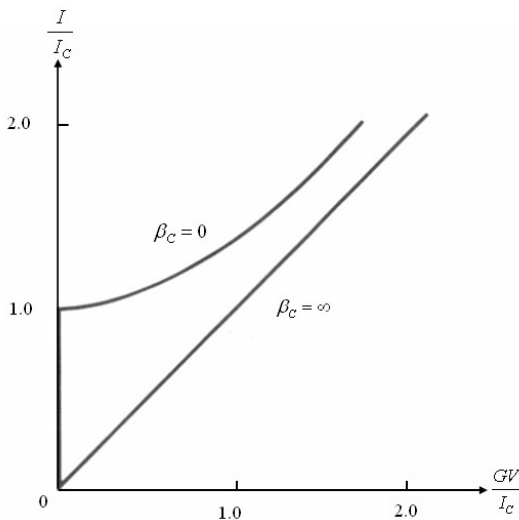
در β_c ‌های مختلف می‌یابیم. در ساده‌ترین حالت که $C=0$ و در نتیجه $\beta_c = 0$ ، با انتگرال‌گیری مستقیم از

رابطه (۲۷-۲) داریم:

$$V = \begin{cases} 0 & I < I_c \\ \frac{I_c}{G} \sqrt{\left(\frac{I}{I_c} \right)^2 - 1} = \frac{\sqrt{I^2 - I_c^2}}{G} & I > I_c \end{cases} \quad (30-2)$$

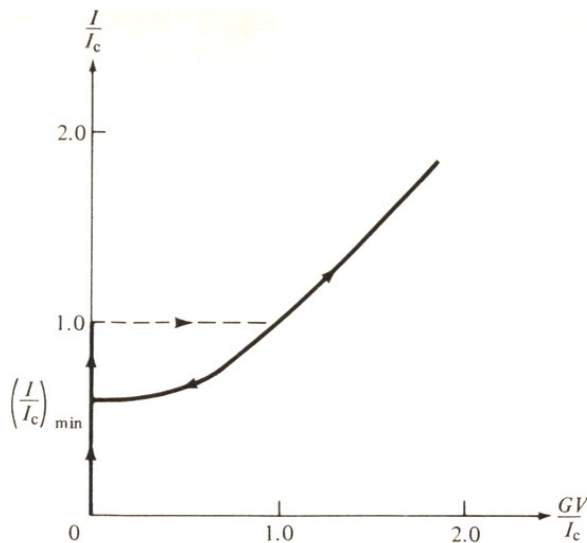
در شکل ۸-۲ جریان نرمالیزه II_c بر حسب ولتاژ نرمالیزه شده GV/I_c برای $\beta_c = 0$ و $\beta_c = \infty$ رسم شده است.

^۱ Mc-Cumber



شکل ۸-۲ جریان نرمالیزه I/I_c بر حسب ولتاژ نرمالیزه شده GV/I_c

واضح است که در حالت $\beta_c = 0$ ، به ازای هر مقدار جریان، تنها یک مقدار ولتاژ خواهیم داشت. در ضمن ملاحظه می‌شود که در ولتاژ صفر، جریان قابل توجهی می‌تواند از پیوند عبور نماید. برای بدست آوردن رابطه دقیق بین میانگین ولتاژ و جریان ثابت اعمالی، لازم است از معادله (۹-۲) بصورت عددی انگرال‌گیری شود. در شکل ۹-۲ نتیجه حل این معادله به ازای $\beta_c = 4$ رسم شده است.



شکل ۹-۲. منحنی مشخصه پیوندی با $\beta_c = 4$

اگر پیوندی با $\beta_c = 4$ به یک منبع جریان DC متصل شود و جریان منبع از صفر شروع به افزایش کند، مشخصه I-V مطابق با پیکان‌های نشان داده شده در شکل فوق دنبال می‌شود. وقتی جریان به مقدار حدی I_c برسد، ولتاژ با یک پرش ناگهانی از صفر به مقداری غیرصفر جهش می‌کند. حال اگر جریان کاهش یابد، ولتاژ از مسیری دیگر کاهش یافته تا در I_{min} به صفر برسد. لازم به ذکر است که در بکارگیری پیوندهای جوزفسون در حلقه‌های SQUID، پیوندهایی با حداقل پسماند مغناطیسی^۱ (حداقل β_c) مورد نظر می‌باشد [۲۲][۲۳].

^۱ Hysteresis

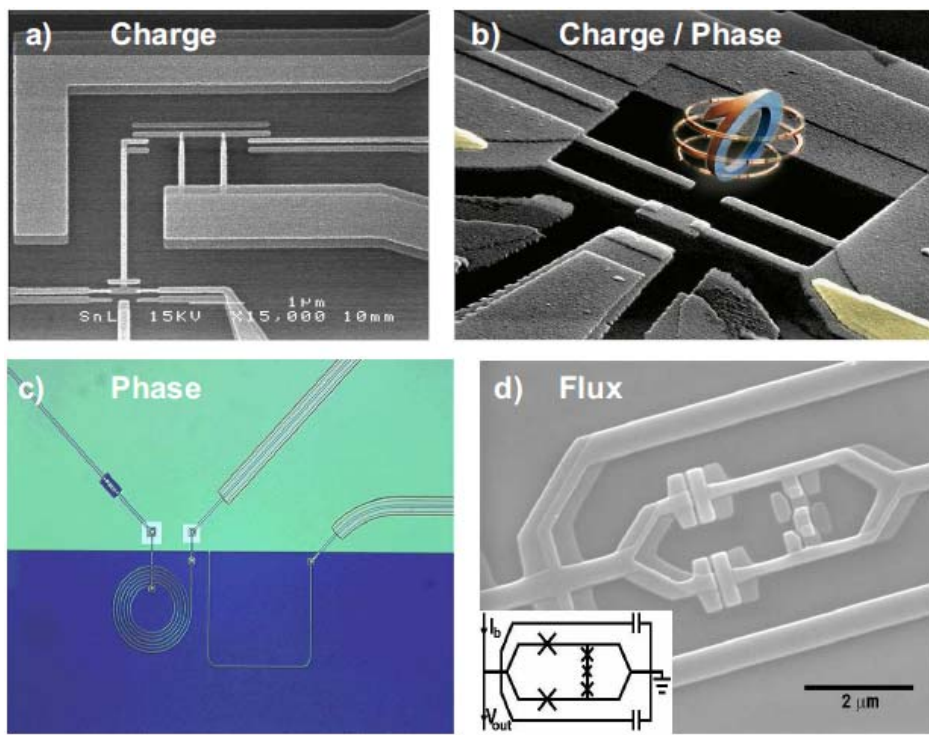
فصل ۳ بیت‌های کوانتومی ابررسانا

۱-۳ مقدمه

در این فصل ابتدا با مفاهیم مشترک کوانتوم و ابررسانایی آشنا می‌شویم و پس از آن انواع بیت‌های کوانتومی ابررسانا معرفی شده و مختصررا در مورد طرز کار آنها شرح خواهیم داد. در ادامه به طور خاص کیوبیت‌های ابررسانا بر مبنای فاز را که تمرکز این پروژه بر روی این مدار می‌باشد، پرداخته و به شکل تحلیلی خواص آن را بررسی می‌کنیم.

۲-۳ مدارهای کوانتومی ابررسانا

با دادن نظم‌ها و توپولوژی‌های مختلف به این المان‌ها در یک مدار، زمینه ساخت مدارهایی که می‌توانند بر روی تعداد فوتون‌ها، بار، شار و فاز حالت‌های کوانتیزه شده عمل کنند، به وجود می‌آید (شکل ۱-۳).



شکل ۱-۳. یک مجموعه از بیت‌های کوانتومی مختلف. شکل اول، یک بیت کوانتومی بر پایه بار بر اساس جعبه زوج کوپر به همراه خواندن یک ترانزیستور تک الکترونی. شکل دوم، یک بیت کوانتومی بار/فاز که جعبه زوج کوپری است که از طریق بار تحریک می‌شود، ولی متغیر خواندنی آن شار است. شکل سوم، یک بیت کوانتومی بر پایه فاز که هم متغیر کنترل و هم متغیر خواندنی آن فاز است. شکل چهارم، یک بیت کوانتومی بر پایه شار که جهت جریان، حالت کوانتومی آن است و شار متغیر خواندنی آن است [۱۰] و [۲۴].

ساده‌ترین ترکیب، یک مدار LC ساده است که یک نوسانگر هارمونیک الکتریکی ساده را تولید می‌کند. این مدار، اگر در فرکانس‌های به حد کافی بالا (در حد گیگاهرتز) و در دماهای به حد کافی کم (در حد کمتر از صد میلی کلوین) عمل کند، دارای سطوح انرژی قابل تشخیص خواهد بود. در یک نوسانگر هارمونیک، سطوح انرژی فواصل یکسانی دارند و در نتیجه فوتون‌های ایجاد شده دارای انرژی یکسانی خواهند بود و قابل تفکیک نیستند. برای اینکه بتوانیم کوانتیزاسیون انرژی را بهتر ببینیم، نیاز به

یک المان غیر خطی داریم. چنانچه سلف با یک پیوند جوزفسون کوچک جایگزین شود، مداری بنام جعبه زوج کوپر^۱ به وجود می‌آید که نوعی بیت کوانتمی بر پایه بار است. پیوند این امکان را برای زوج کوپر فراهم می‌کند که بین دو طرف تونل بزند. اما این تونل‌زنی به اندازه‌های ضعیف است که بتوان حالت‌های بیت کوانتمی را با اختلاف بار بین جزیره‌ها (دو سمت پیوند) تعیین کرد.

از نظر فیزیک و ریاضیات این مدار، مزدوج متغیر کوانتمی بار، میزان شار گذرنده از حلقه ابررسانا می‌باشد. به این ترتیب که می‌توان حالت کوانتمی را با ذخیره کردن شار در یک حلقه که توسط پیوند جوزفسون کنترل می‌شود، ساخت. در این صورت، متغیر کوانتمی، تعداد کوانتای شار، یا معمولاً^۲ جهت شار (جريان حلقه) ایجاد شده است. همچنین راه دیگر این است که سلف را این بار با یک پیوند جوزفسون بزرگ جایگزین کنیم. این ترکیب نیز فی نفسه تقریباً هارمونیک است اما استفاده هوشمندانه از یک جريان بایاس، سبب تقویت اثر غیرخطی می‌شود.

یک اتم در سیستم‌های کوانتمی ذاتی، از ذراتی که به شدت به یکدیگر پیوند دارند ساخته شده است و می‌تواند در یک محیط خلاً خیلی ایده آل برای 10^{14} نوسان، ذات کوانتمی خالص خود را به نمایش بگذارد. اتم‌های مصنوعی که توسط مدارهای کوانتمی ساخته می‌شود، از میلیاردها اتم تشکیل شده است و به طراح این امکان را می‌دهد که پارامترهای اتم (مصنوعی) را طوری تنظیم کند که با اتم-های طبیعی سخت یا غیرممکن است. اگر چه این سیستم‌های ماکروسکوپیک، درجات آزادی بسیاری دارند که به خودی خود می‌توانند منجر به عدم همدوسی بشوند. هر گونه نویز یا اغتشاش یا غیرایده آل

^۱ Cooper Pair Box

بودن در سیستم می‌تواند یک منبع بالقوه حذف همدوسی باشد. نویزهایی که به متغیر مورد نظر و یا مزدوج فیزیکی آن کوپل می‌شوند، بسیار مضرند (جدول ۱-۳). به حداقل رساندن منابع نویز محیطی و تعیین و بهینه‌سازی طریقه کوپل شدن آنها به مدار، یکی از مهمترین مباحث تحقیقات در مورد مدارهای کوانتمی می‌باشد.

جدول ۱-۳. هر بیت کوانتمی به انواع مختلفی از نویز حساس‌تر است. بیت‌های کوانتمی ساده که متغیر کنترلی و خواندنی یکسانی را استفاده می‌کنند، حساسیت بیشتری را نسبت به نویز در آن پارامتر از خود نشان می‌دهند. در بیت‌های کوانتمی که متغیرهای خواندنی دیگری را استفاده می‌کنند، می‌توان اثرات نویز را با کار کردن در نقاط غیر حساس مرتبه اول و خواندن مشخصه‌های مرتبه دوم کاهش داد.

نویز بار	نویز شار	نویز جریان بحرانی	متغیر خواندنی	متغیر کنترل
بالا	پایین	متوسط	بار	بار
پایین	بالا	متوسط	شار	شار
پایین	پایین	بالا	فاز	فاز
پایین	متوسط	متوسط	پذیرفتاری ^۱ مغناطیسی	شار
متوسط	پایین	متوسط	پذیرفتاری ^۲ الکتریکی	بار

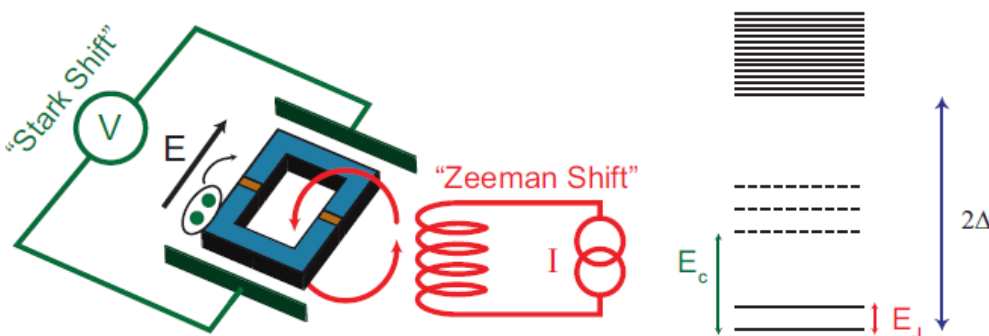
پس از کنترل بیت کوانتمی توسط متغیرهای کنترلی، حالت این بیت به عنوان خروجی مدار بايستی اندازه‌گیری شود تا نتیجه الگوریتم پیاده شده بر روی کیوبیت مشخص شود. این موضوع یک مسیر طبیعی برای نفوذ نویز ناخواسته به سیستم ایجاد می‌کند. برای حل این مسئله، تکنیک‌هایی معرفی شده‌اند

^۱ Magnetic susceptibility

^۲ Electric susceptibility

که در آنها به جای اینکه بار، شار یا فاز را مستقیماً اندازه بگیریم، یک پارامتر مرتبه دوم نظری نفوذ پذیری مغناطیسی یا الکتریکی را اندازه می‌گیریم (دوقطبی‌ها). این تکنیک‌ها، این امکان را به ما می‌دهد که میزان نفوذ نویز از طریق اندازه‌گیری را کاهش دهیم. تلاش‌های بسیار زیادی درباره کاهش اثر منابع نویز از طریق تبادل ایده‌ها بین گروه‌های معتبر سرتاسر دنیا، انجام می‌شود.

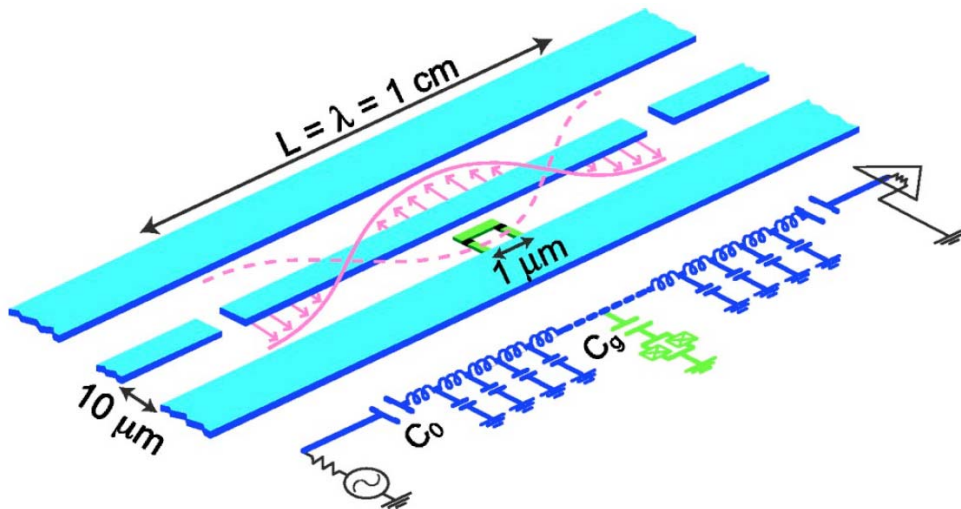
یک جعبه زوج کوپر از دو جزیره ابررسانای کوچک تشکیل شده است که از طریق یک کanal (یک عایق یک نانومتری مانع بین دو جزیره) پیوند جوزفسون به یکدیگر تزویج شده‌اند [۲۴]. در کیوبیت‌های ابررسانای، دو مقیاس انرژی تعریف می‌شود؛ انرژی بار الکتریکی (E_C) که حاصل اضافه کردن الکترون به یکی از دو جزیره است و انرژی جوزفسون (E_J) که حاصل تونل‌زنی یک زوج کوپر بین دو جزیره کanal می‌باشد. در این سیستم، هر دوی این انرژی‌ها معادل فرکانس‌هایی در حد گیگاهرتز است. بیشترین مقدار E_C و E_J بر اساس شکل هندسی طراحی مدار قابل تنظیم است و همچنین می‌تواند بر اساس اعمال ولتاژ گیت یا میدان مغناطیسی اعمالی، دقیق‌تر تنظیم شود (شکل ۲-۳).



شکل ۲-۳. جعبه زوج کوپر به عنوان یک اتم قابل تنظیم Cooper pair (جفت‌های دایره‌ای سبز رنگ) می‌توانند بین جزیره‌های آبی رنگی که توسط جوزفسون جانکشن به رنگ نارنجی از یکدیگر جدا شده‌اند، تحت تاثیر ولتاژ اعمالی به گیت (میدان الکتریکی E) و جریان (شار جاری در حلقه) کanal بزنند. به جعبه زوج کوپر می‌توان به عنوان یک اتم نگاه کرد که سطوح انرژی آن قابل تنظیم است. انرژی الکترواستاتیکی (E_c) می‌تواند با اعمال یک میدان الکتریکی تغییر کند (شیفت Stark) و انرژی کanal زدن جوزفسون (E_J) می‌تواند توسط یک میدان مغناطیسی (شیفت Zeeman) تنظیم شود. این سطوح برانگیختگی که پایین‌تر قرار دارند، به وسیله 2Δ gap مربوط به ابررسانا از سطوح طبیعی و پیوسته الکترون‌ها محافظت می‌شوند [۱۰].

۳-۳ مدار کوانتومی الکترودینامیکی (Circuit Quantum Electrodynamics)

مدارهای ابررسانا را می‌توان به گونه‌ای ساخت که مانند اتم‌های مصنوعی عمل کنند. این مدارها، معمولاً در فرکانس‌های مایکروویو کار کرده و متغیرهای کوانتومی آنها با استفاده از متغیرهای ماکروسکوپیک نظیر جریان و ولتاژ قابل کنترل هستند. اگر چه پارامترهای مدار، خود ذاتاً کوانتومی هستند، میدان مغناطیسی که تا کنون برای بر هم کنش با مدار از آنها استفاده می‌شود، به گونه‌ای کلاسیکی مورد استفاده قرار می‌گرفتند.



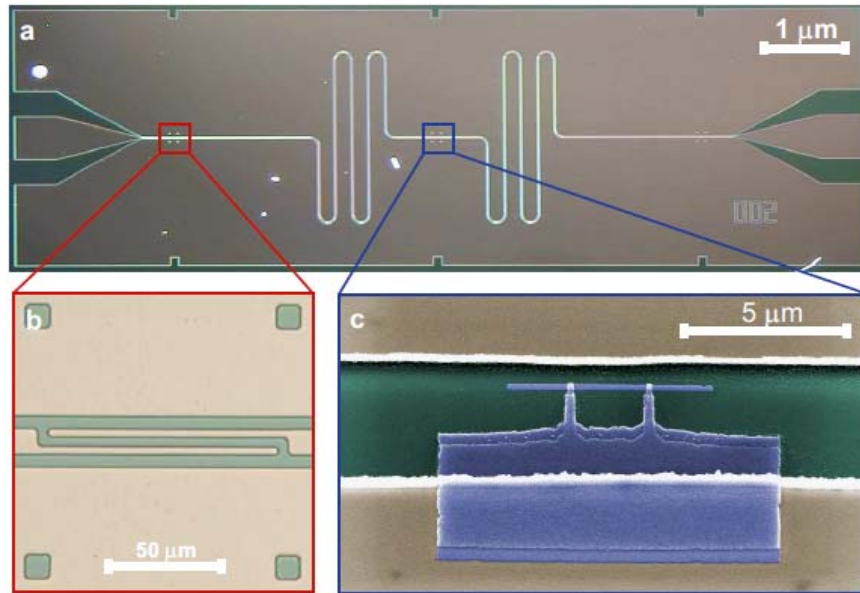
شکل ۳-۳: اولین طراحی از یک کاواک کوانتومی الکترودینامیکی ساخته شده از فیلم ابررسانا. جعبه زوج کوپر(سیز) در مرکز رزوناتور موج بر (آبی) قرار دارد. فرکانس رزونانس در حدود ۵ گیگاهرتز است. کاواک از یک سمت کنترل می‌شود و از سمت مقابل سیگнал انتقال یافته اندازه گیری می‌شود [۲۶].

با بهره‌گیری از طبیعت کوانتومی امواج مایکروویو، می‌توان بسیاری از مشکلات مربوط به اندازه-گیری در این مدارها را به گونه‌ای حل کرد که آنها در معرض منابع نویز قرار ندهیم. می‌توان آنها را از میرایی تابشی حفاظت کرد و همچنین از امواج مایکروویو به عنوان وسیله‌ای برای کوپل شدن بیت‌های کوانتومی از فاصله دور استفاده نمود.

توسط معماری مدار کوانتمی الکترودینامیکی، نوعی از بیت کوانتمی ابررسانایی به نام کیوبیت بار طراحی شده است [۲۶]. قلب این کیوبیت که آن را می‌توان به عنوان یک اتم مصنوعی تصور کرد، در داخل خط انتقال یک رزوناتور قرار داده می‌شود و به این صورت یک کاواک مایکروویو کوانتمی تشکیل می‌شود (شکل ۳-۳). سیگنال محبوس در رزوناتورهای غیر ابررسانا پس از بازتاب از دو سر انتهایی تنها چند بار می‌تواند طول مسیر را قبل از اینکه به صورت گرمایش شود، طی کند. اما در رزوناتور ابررسانا، تقریباً هیچ اتلافی وجود ندارد و گپ (فاصله خالی بین خطوط انتقال) را می‌توان به طوری تنظیم کرد که فوتون از صدها تا نزدیک به یک میلیون بار قبل از آنکه بتواند فرار کند یا جذب شود، بازتاب داشته باشد. پس یک فوتون می‌تواند درون رزوناتور تا دهها کیلومتر مسافت کند قبل از آنکه جذب شود. از طرفی نوعی فیلتر مایکروویو می‌باشد و کمک می‌کند که بیت کوانتمی از نویز ناخواسته محیطی حفاظت شود. خط انتقال هندسه بسیار ساده‌ای دارد که آن را تبدیل به محیطی می‌کند که نسبتاً ساده قابل مدل کردن و کنترل است. ساده بودن این محیط، یکی از مهمترین جنبه‌های این معماری است. نمای یک طراحی پیاده‌سازی شده عملی این کیوبیت در شکل ۴-۳ نشان داده شده است.

ممکن دو قطبی ایجاد شده در اتم‌های مصنوعی مدارهای کوانتمی می‌تواند ده هزار برابر بزرگتر از یک اتم قلیایی ساده و حتی ده برابر بزرگتر از یک اتم ریدبرگ باشد. این موضوع باعث تقویت تزویج آنها به کاواک می‌شود. به طور کلی، ابعاد کاواک بایستی حداقل به اندازه یک طول موج در جهت مورد نظر باشد. در کاواک خط انتقال تک بعدی معروفی شده (شکل ۳-۳ و شکل ۴-۳) دو بعد دیگر به مقداری بسیار کمتر از طول موج فشرده شده است و این سبب افزایش چگالی انرژی تا یک میلیون مرتبه بر روی کاواک مایکروویو سه بعدی می‌شود و همچنین ممان دو قطبی را تا هزار مرتبه افزایش می‌دهد. این تزویج شدید سبب می‌شود که مدار بتواند حتی در حضور منابع نویز همدوس باقی بماند. این مدارها با

توجه به نسبت بین قدرت تزویج و میزان همدوسى در رژیمهای مختلفی قرار می‌گیرند که در هر کدام کاربردهای خاصی قابل تصور است.



شکل ۴-۳. a) تصویر نوری از رزوناتور خط انتقال ابررسانای ناپویوم است که بر روی سیلیکون نشانده شده است.
b) خازن تزویج. c) تصویر میکروسکوپ الکترونی با رنگ آمیزی غیرواقعی؛ آبی: درون کاواک، بُز: روی سطح سیلیکونی و سبز: خط انتقال. جعبه زوج کوپر از دو جزیره آلومنیومی به رنگ آبی که توسط یک پیوند جوزفسون کوچک به یکدیگر متصل شده‌اند (قسمت هم پوشانی دو انگشت بر روی جزیره‌های باریک)، تشکیل شده است [۱۰] و [۲۴].

۴-۳ بیت‌های کوانتومی ابررسانا

تا به حال کیوبیت‌ها در ساختارهای متفاوتی از جمله یون‌های محبوس^۱ [۲۸] و [۲۹]، اتمهای خنثی

^۱ Trapped Ions

[۳۰]، سیستمهای اپتیکی [۳۱] و [۳۲]، ابررساناهای [۳۳]-[۳۷] و ... بررسی و ساخته شده‌اند. از بین

ساختارهای متفاوت معرفی شده تا به امروز، انواع بیت‌های کوانتمی بر مبنای مواد ابررسانا [۳۸]-[۴۰]

توجه و محبوبیت بیشتری را به خود اختصاص داده‌اند که این امر به دلیل قابلیت افزایش تعداد

کیوبیت‌های یک سیستم و همچنین امکان افزایش شدت برهم‌کنش آنها با امواج الکترومغناطیسی است.

این تمایل به این دلیل است که ابررساناهای به واسطه نشان دادن مقاومت در حد صفر موجات محیطی

بدون تلفات را فراهم می‌آورند و در نتیجه جدا از محدود نمودن انرژی در کاواک موجود، می‌توانند

شدت وابستگی بین اجزاء کوانتمی مجموعه را افزایش دهند. بدین ترتیب برهم‌کنش بین موج و ماده در

این شرایط به حدی می‌رسد که توسط یکی از پارامترهای ساختار می‌توان از حالت کوانتمی داخل

اطلاع پیدا نمود.

دلیل بسیار مهم دیگر خاصیت غیرخطی بودن المانی به نام پیوند جوزفسون در پدیده ابررسانایی

است که تنها عنصر الکتریکی شناخته شده می‌باشد که از خود در شرایط مناسب هیچ تلفاتی نشان نمی-

دهد. این موضوع برای موارد حساس مانند مدارهای کوانتمی بسیار حائز اهمیت است.

در چنین مدارهایی ناگزیریم که دمای مدار را تا زیر 100 میلی کلوین پائین ببریم. این امر صرفا

به دلیل ذات ابررسانا بودن قطعات مدار نیست بلکه به دلیل حساسیت مدار کوانتمی به انرژی محیط

می‌باشد. به طور مثال اگر فرکانس متناظر با اختلاف انرژی دو حالت کوانتمی را برابر 5 گیگاهرتز در

نظر بگیریم، دمایی در حدود 20 میلی کلوین مناسب خواهد بود.

در کیوبیت‌های ابررسانا، بسته به اینکه حالت کوانتمی بر حسب کدام پارامتر تعریف می‌شود تا

اطلاعات در آن گنجانده شود، آن را نام‌گذاری می‌نمایند. از انواع مختلف بیت‌های ابررسانا می‌توان به

بیت‌های کوانتمی بر اساس بار، فاز و شار اشاره نمود.

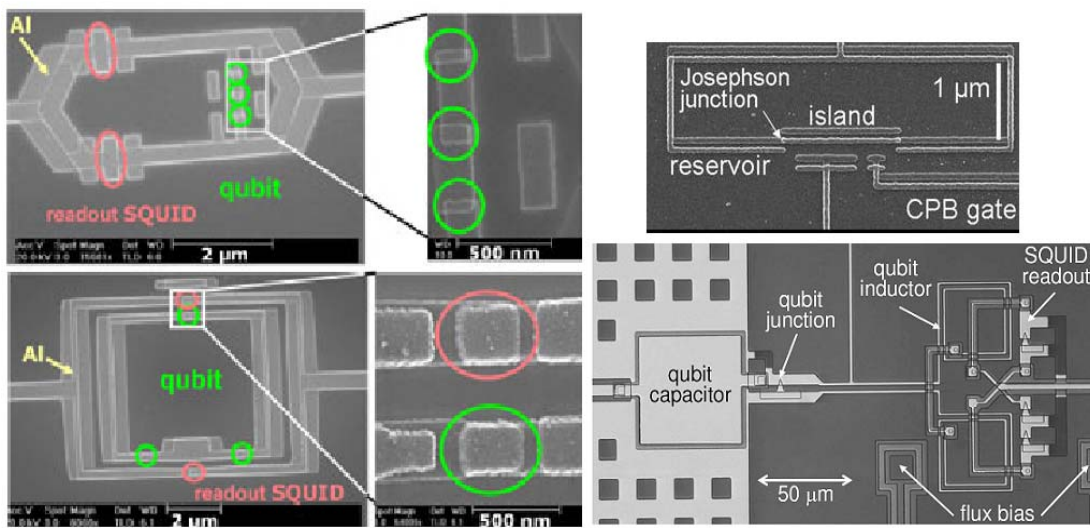
با توجه به جستجوهای به عمل آمده، دو نوع بیت‌های کوانتمی بر اساس بار و فاز توجه بیشتری را به خود جلب نموده‌اند. البته نوع فاز و نوع شار از لحاظ ساختاری بسیار به یکدیگر نزدیک می‌باشد ولی در عملکرد تفاوت‌هایی وجود دارد. بین این دو نوع هنوز به طور قطع نمی‌توان قضاوت نمود که کدام یک برتری دارند اما بر اساس تحقیقات و پیشنهادات موجود، می‌توان گفت که در مرحله ساخت، بیت‌های کوانتمی بر اساس بار به دلیل اینکه کاوک آن از نوع مایکرواستریپ^۱ (خط انتقال تخت) بوده و پیوندهای جوزفسون تنها برای خود حالت کوانتمی در نظر گرفته می‌شوند، ساده‌تر بوده و توانایی افزایش تعداد بیت‌های تزویجی در ساختار آن بیشتر است (Scalability). اما کنترل و اندازه‌گیری حالت کوانتمی در این ساختار به مراتب از سیستم کوانتمی بر اساس فاز پیچیده‌تر بوده و نیازمند لوازم پیشرفته و دقیق طیف‌نگاری است. در حالیکه در بیت‌های کوانتمی بر مبنای فاز برخلاف ساختار نسبتاً پیچیده آن که چندین پیوند جوزفسون به شکل خاصی درکنار هم قرار گرفته‌اند، اندازه‌گیری و کنترل آن به مراتب ساده‌تر می‌باشد.

۱-۴-۳ انواع کیوبیت‌های ابررسانا

یک کیوبیت بار در ساده‌ترین شکل از یک جزیره بسیار کوچک ابررسانا تشکیل شده که توسط یک پیوند جوزفسون به سایر بخش‌های مدار متصل است و از طریق یک خازن، به آن ولتاژ گیت اعمال می‌شود (شکل ۳-۵ راست-بالا). در دماهای بسیار پایین، به دلیل گستاخی طیف انرژی مجاز در جزیره و همچنین اهمیت نیروی دافعه کولنی، تونل زنی زوج‌های کوپر به داخل جزیره و بر عکس مجاز نمی‌باشد

^۱ Microstrip

مگر در ولتاژهای گیت خاص. در نتیجه تعداد زوجهای کوپر اضافه بر روی جزیره ابررسانا به طور دقیق قابل شمارش می‌باشد. معمولاً حالت جزیره، بدون هیچ زوج کوپر اضافه بر روی آن، حالت $|0\rangle$ و با یک زوج کوپر بر روی آن حالت $|1\rangle$ در نظر گرفته می‌شوند. در ولتاژهای گیت خاص دو حالت فوق تبھگن بوده و یک زوج کوپر میتواند متناویاً به درون جزیره تونل بزند یا از آن خارج شود و بدین ترتیب حالت کوانتومی کیوبیت به صورت ترکیبی از $|0\rangle$ و $|1\rangle$ خواهد بود.



شکل ۵-۳. انواع کیوبیت‌های ابررسانا؛ چپ: کیوبیت شار (flux qubit)، راست-بالا: کیوبیت بار (charge qubit)، راست-پایین: کیوبیت فاز (phase qubit) [۲۴] و [۴۱].

یک کیوبیت شار از یک RF SQUID که توسط شار خارجی بایاس می‌شود تشکیل یافته است (شکل ۵-۳ چپ). زمانی که شار خارجی مضرب نیمه صحیحی از کوانتای شار Φ_0 باشد، پتانسیل این سیستم دارای دو کمینه هم انرژی می‌باشد که توسط یک سد پتانسیل از یکدیگر جدا شده‌اند. این دو کمینه انرژی متناظر با دو حالت ساعتگرد و پادساعتگرد برای جریان درون حلقة اسکوئید می‌باشند و به عنوان دو حالت $|0\rangle$ و $|1\rangle$ کیوبیت در نظر گرفته می‌شوند. با تغییر شار خارجی یکی از این کمینه‌ها عمیق‌تر از دیگری شده و در نتیجه حالت پایه سیستم متناظر با جریان ساعتگرد و یا پادساعتگرد خواهد

بود. به دلیل پدیده توనلزنی ماکروسکوپیک^۱ همواره احتمال توونلزنی بین این دو حالت وجود دارد، مخصوصاً زمانی که شار خارجی دقیقاً مضرب نیمه صحیحی از کوانتای شار Φ_0 باشد. در نتیجه با تغییر شار خارجی می‌توان حالت کیوبیت را بصورت ترکیبات متفاوتی از دو حالت $|0\rangle$ و $|1\rangle$ در آورد.

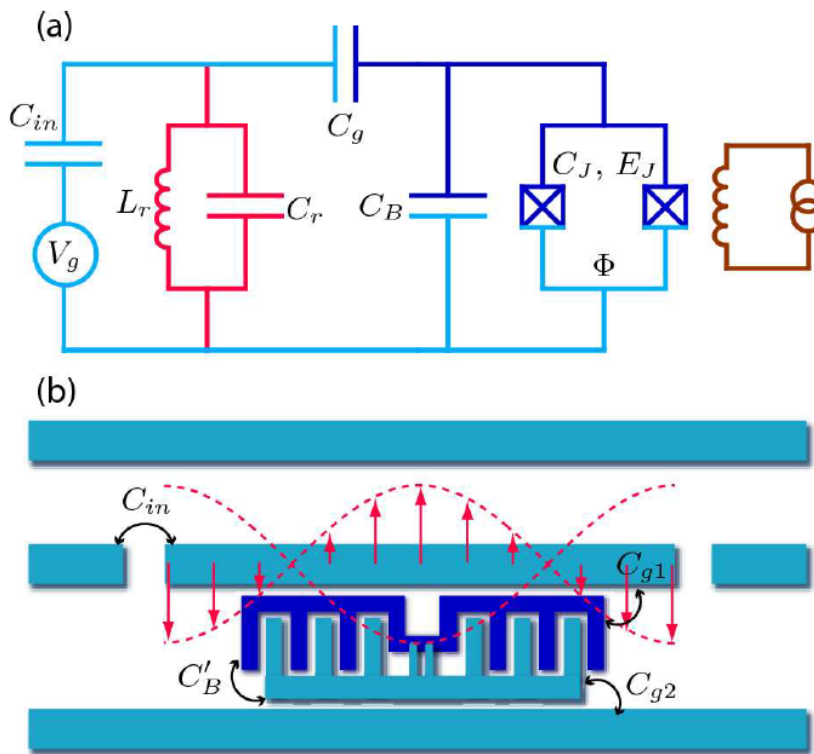
در یک کیوبیت ابررسانا بر مبنای فاز، سیستم کوانتمی مورد نظر یک پیوند جوزفسون می‌باشد که توسط یک جریان DC بایاس شده است (شکل ۵-۳ راست-پایین). پتانسیل این سیستم، به صورت تابعی از اختلاف فاز ابررسانایی دو سر پیوند، دارای شکل سکوهای متمایل^۲ می‌باشد. طرازهای انرژی در هر یک از چاههای این پتانسیل گستته بوده و به دلیل هارمونیک نبودن پتانسیل، انرژی گذار بین این طرازها با یکدیگر متفاوت می‌باشند. با انتخاب مناسب جریان بایاس می‌توان تعداد طرازهای مجاز انرژی را در درون چاه پتانسیل تعیین کرد. بدین ترتیب با ایزوله کردن دو طراز کمینه درون چاه، حالت کوانتمی متناظر با حالت پایه را $|0\rangle$ و اولین حالت برانگیخته را $|1\rangle$ در نظر می‌گیرند. انتقال بین این دو حالت نیز توسط یک جریان مایکروویو با فرکانس مساوی با فرکانس گذار بین این دو حالت (ω_{01}) صورت می‌گیرد.

اخیراً انواع پیچیده‌تری از کیوبیتها نیز ساخته شده‌اند که کارکرداشان بر اساس ترکیبی از این پارامترها می‌باشد، مانند ترانسمون‌ها که ترکیبی از کیوبیت‌های فاز و بار هستند [۲۷]. در شکل ۶-۳ مدل مداری یک کیوبیت ترانسمون به همراه شماتیک ساده شده طراحی ساخت آن آورده شده است. مشابه طراحی

¹ Macroscopic quantum tunneling

² Tilted washboard

کیوبیت بار، دو پیوند جوزفسون جعبه زوج کوپر (با پارامترهای C_J , E_J یکسان) وجود دارند که در اینجا با یک خازن بزرگ (C_B) شانت شده‌اند. برای هماهنگی^۱ بیشتر، این خازن برابر با خازن بزرگ (C_G) انتخاب شده است. در این ساختار پیوندها و خازن طوری انتخاب شده‌اند که انرژی جوزفسون بسیار بزرگ‌تر از انرژی بار الکتریکی می‌باشد. توضیحات تکمیلی در فصول بعدی آورده شده‌اند. با این سیستم در این رژیم باعث شده است که حساسیت به نویز بار کاهش پیدا نموده و تزویج کیوبیت و فوتون نیز قوی‌تر بشود.



شکل ۶-۳. a) مدل مداری یک کیوبیت ترانسمون. دو پیوند جوزفسون (با پارامترهای C_J , E_J یکسان) با یک خازن بزرگ (C_B) شانت شده‌اند. b) شماتیک ساده شده طراحی کیوبیت ترانسمون [۲۷].

^۱ Matching capacitances

انواع مختلف این ساختارها توسط گروههای مجرب در دانشگاههای معتبر دنیا پس از طی چندین سال تحقیق و پیشرفت‌های قابل توجه، همچنان در دست بررسی بوده و از مباحث روز در مجلات معتبر می‌باشند.

۵-۳ کیوبیت ابرسانایی بر مبنای فاز

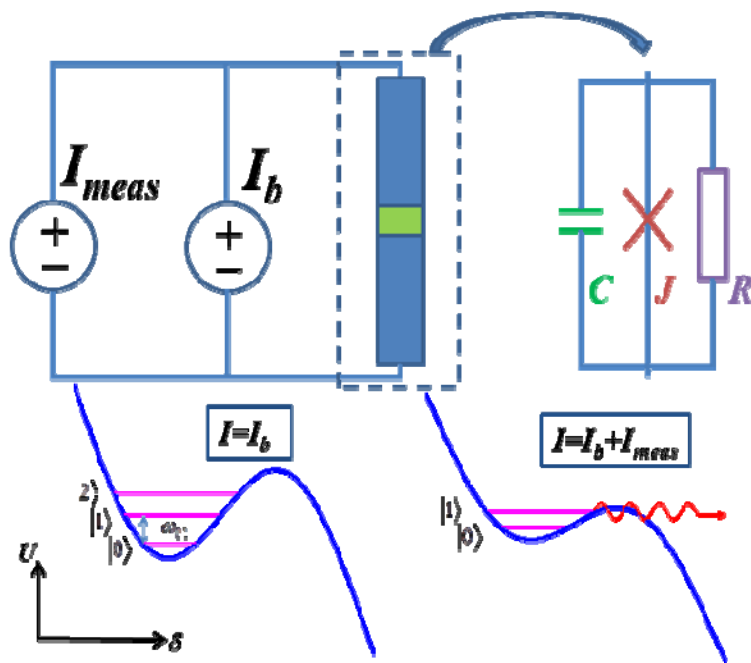
از آنجاییکه تمرکز اصلی این پایاننامه بر روی کیوبیت‌های فاز می‌باشد، در یک بخش جداگانه به توضیح آن می‌پردازیم. در ابتدا ساده‌ترین کیوبیت ابرسانایی از نوع فاز را درنظر گرفته و خواص آن را بررسی می‌نماییم.

۱-۵-۳ ساختار کیوبیت فاز

دلیل مناسب نمودن این کیوبیت به فاز، در نظر گرفتن حالت‌های کوانتمی فازی است. در واقع حالت‌ها به جای قرار داشتن در چاه کوانتمی مکانی، در چاه کوانتمی فازی محبوس خواهند بود.

ساده‌ترین ساختار شناخته شده، یک پیوند جوزفسون در یک مدار اعمال جریان می‌باشد که در شکل ۷-۳ مشاهده می‌شود [۲۴]. از مدل مداری پیوند جوزفسون برای تحلیل کیوبیت استفاده شده است.

در فصل قبل گفته شد که این مدل از سه المان موازی مقاومت، خازن و سلف متغیر تشکیل می‌شود. در واقع مهمترین بخش کیوبیت فاز طریقه به کارگیری جریانهای اعمالی به پیوند جوزفسون است که در دو مرحله انجام می‌شود؛ ابتدا جریان بایاس ثابت (I_b) به منظور تعیین نمودن حالت‌های کیوبیت در پیوند جوزفسون و سپس پالس جریان (I_{meas}) برای اندازه‌گیری حالت فاز پیوند.



شکل ۷-۳. نمایی از یک کیوبیت با پیوند جوزفسون و تغییرات پتانسیل ایجاد شده بر حسب اختلاف فاز دو سر پیوند.

۲-۵-۳ حالتهای کیوبیت فاز

همانطوری که در ادامه توضیح داده خواهد شد، در این سیستم شکل پتانسیل بر حسب اختلاف فاز به صورت سکوهای متمایل (Tilted Washboard) خواهد بود (مطابق شکل ۷-۳). در حالت دائمی درون چاههای پتانسیل متواالی تشکیل شده، مطابق نظریه کوانتوم، حالت‌هایی با انرژی گسسته می‌توانند وجود داشته باشند که می‌توان آنها را حالت‌های مقید^۱ نامید. کیوبیت بر مبنای دو حالت پائین این چاه تعريف می‌شود که آنها را $|0\rangle$ و $|1\rangle$ می‌نامیم. این در حالی است که حالت‌های بالاتر نیز ممکن است در چاه پتانسیل موجود باشند (مانند حالت $|2\rangle$ مطابق شکل) که این حالت‌های زائد معمولاً مزاحم عملکرد

^۱ Bound States

کیوبیت می‌باشد. البته طول عمر این حالت‌های ناخواسته بسیار کم است و در عمل همواره تمهیداتی

برای جلوگیری از تاثیر آنها خواهیم داشت (توضیحات مکفی در فصول بعدی).

اندازه‌گیری حالت داخلی کیوبیت توسط یک پالس جریان (I_{meas}) انجام می‌شود؛ به این ترتیب که

پس از وارد شدن جریان به پیوند جوزفسون، سد پتانسیل کوتاه‌تر شده، و احتمال تونل‌زنی حالت‌های

چاه افزایش می‌یابد، به خصوص در مورد حالت $|1\rangle$. در صورت تونل زدن حالت $|1\rangle$ به دلیل ایجاد تغییر

اختلاف فاز در دو سر پیوند، ولتاژی پدید می‌آید که توسط سنسورهای خارجی قابل خواندن می‌باشد و

به این ترتیب، می‌توان حالت داخلی کیوبیت را پیدا نمود. اما باید به این مسئله دقیق نمود که به دلایل

کوانتمی تشابه میانگین^۱ بین حالت واقعی کیوبیت و حالت اندازه‌گیری شده هیچ‌گاه کامل نمی‌شود (به

یک نمی‌رسد). تلاش‌های بسیاری برای بهبود این تشابه انجام شده است [۳۳] و [۴۰] و رقابت بر سر

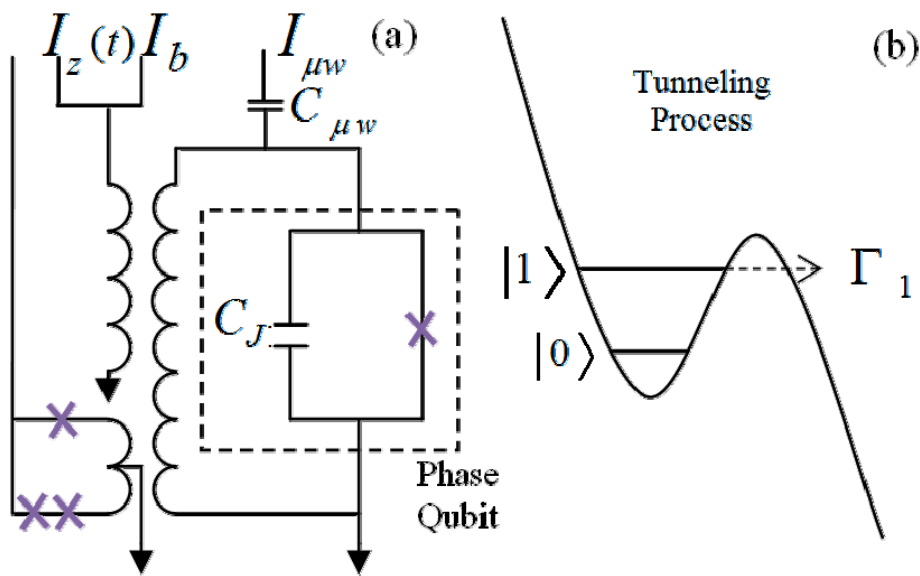
افزایش آن ادامه دارد.

در نهایت برای تغییر حالت کیوبیت، یک موج جریان مایکروویو مدوله شده با فرکانسی مطابق با

فرکانس انتقال بین حالت‌های پایه کیوبیت ($|0\rangle$ و $|1\rangle$) در کنار جریان بایاس اعمال می‌گردد. این پالس

همچون یک عملگر کوانتمی حالت کیوبیت را برمی‌گرداند (شکل ۸-۳).

^۱ Fidelity of measurement



شکل ۳-۵-۳ (a) یک کیوبیت فاز تک پیوندی ابررسانا: خازن‌ها، جریان‌های بایاس، تغییر حالت و اندازه‌گیری
 (b) تونل زنی از سد پتانسیل فازی و نمایی از حالت‌های کیوبیت پس از اعمال جریان اندازه‌گیری

۳-۵-۳ محاسبه پتانسیل فازی

در ادامه پتانسیل توصیف شده فوق را بدست می‌آوریم؛ با توجه به مدل مداری ارائه شده می‌توان معادله دیفرانسیل حرکت بار (جریان) را به صورت

$$\frac{\hbar}{2e}C\ddot{\delta} + \frac{\hbar^2}{2eR}\dot{\delta} + I_J = I_e \quad (1-3)$$

بیان کرد [۴۲] که در آن I_J جریان داخلی پیوند، I_e جریان اعمالی خارجی، C خازن پیوند و R مقاومت پیوند می‌باشد. همانند ارتباط معادله حرکت در مکان که دارای پتانسیل مکانی است، می‌توانیم برای این معادله دیفرانسیل نیز، یک پتانسیل بر حسب اختلاف فاز بیان نمائیم:

$$U(\delta) = \frac{\hbar}{2e} \left(A \int J_J d\delta - I_e \delta \right) \quad (2-3)$$

که در آن A سطح مقطع پیوند و J چگالی جریان عبوری از آن می‌باشد.

در واقع این شباهت است که به ما اجازه می‌دهد مفاهیمی همچون حالت‌های انرژی و تونل‌زنی را در مورد پتانسیل فازی نیز تعریف نمائیم. البته نتایج این محاسبات و پیش‌بینی‌های آن در عمل مشاهده شده و مورد تائید قرار گرفته‌اند.

همان‌طوری که گفته شد، از یک جریان خارجی برای اندازه‌گیری حالت کیویت، استفاده می‌شود.

بنابراین بایستی این جریان نیز در روابط فوق وارد شود. به طور کلی پتانسیل مورد بررسی به چهار پارامتر اصلی وابسته خواهد بود: چگالی جریان، جریان بایاس، جریان اندازه‌گیری و سطح مقطع:

$$U(\delta) = A \int J(\delta) d\delta - (I_b + I_{meas}) \delta \quad (3-3)$$

برای محاسبه تغییرات پتانسیل بر حسب اختلاف فاز، وابستگی چگالی جریان الکتریکی به اختلاف فاز را با استفاده از معادله (۱۵-۲) جایگذاری می‌کنیم:

$$U(\delta) = A \{-\cos(\delta) + C_1\} - (I_b + I_{meas}) \delta \quad (4-3)$$

همان‌طور که مشاهده می‌شود تغییرات پتانسیل دارای یک بخش سینوسی ($A\cos(\delta)$) و یک بخش خطی (δ) دارد که بیانگر همان پتانسیل سکوهای متمایل می‌باشد. دقت می‌کنیم که مقدار ثابت ($A \times C_1$) نقشی در شکل تغییرات تابع پتانسیل ندارد و تنها به مرجع پتانسیل مربوط می‌شود.

فصل ۴ تحلیل دقیق پیوند جوزفسون

۱-۴ مقدمه

همانطور که در انتهای فصل پیش دیدیم، ارتیاط بین پتانسیل فازی و اختلاف فاز بین دو سر پیوند جوزفسون ارتباط تنگاتنگی با چگالی جریان الکتریکی گذرنده از پیوند دارد. در واقع در فصل ۲ که رابطه چگالی جریان الکتریکی و اختلاف فاز به شکل سینوسی خالص محاسبه شده است، در ابتدای راه حل فرضیاتی وجود داشته که برای هر پیوندی برقرار نمی‌باشند. پس به این فکر افتادیم که رابطه بین جریان الکتریکی و اختلاف فاز (CPR^1) در پیوند را به شکل کلی بدست آوریم.

برای بدست آوردن آن از معادله گینزبرگ-لاندائو کمک می‌گیریم.

¹ Current-Phase Relation

۲-۴ معادله گینزبرگ-لاندائو

محاسبات ما بر اساس خصوصیات تابع موج بدست آمده از حل معادله گینزبرگ-لاندائو بنا شده است که یک معادله پدیده‌شناسی^۱ است و با کمینه نمودن انرژی کل سیستم توسط پارامترهای اصلی بیان می‌شود. نتیجه این معادله یافتن کمترین انرژی ممکن در ماده ابررسانا است که به صورت معادله زیر بیان می‌شود:[۲۲]

$$\alpha\psi + \beta|\psi|^2\psi + \frac{1}{2m^*}\left(\frac{\hbar}{i}\nabla - \frac{e^*}{c}\mathbf{A}\right)^2\psi = 0 \quad (1-4)$$

که در آن α و β پارامترهای ماده ابررسانا می‌باشند که مقادیر حقیقی بوده و به ترتیب منفی و مثبت می‌باشند.

به دلیل تقارن در راستای جريان، سیستم به صورت مؤثر، یک بعدی در نظر گرفته شده است و اگر میدان مغناطیسی در محیط موجود نباشد، معادله دیفرانسیل زیر حاصل می‌شود:

$$\alpha\psi + \beta|\psi|^2\psi - \frac{\hbar^2}{2m^*}\frac{d^2\psi}{dx^2} = 0 \quad (2-4)$$

برای سادگی تابع موج نرمالیزه را به صورت $f = \psi/\psi_\infty$ تعریف می‌کنیم که $|\psi_\infty|^2 = -\alpha/\beta$ چگالی الکترونهای ابررسانا در نقطه بینهایت می‌باشد. همچنین طول مشخصه ذاتی ماده ابررسانا را به صورت $\xi = \hbar/\sqrt{2m^*|\alpha|}$ تعریف می‌نماییم. پس معادله (۵) به صورت زیر خواهد بود:

$$f - |f|^2 f + \xi^2 \frac{d^2 f}{dx^2} = 0 \quad (3-4)$$

^۱ Phenomenological equation

۳-۴ رابطه تقریبی مرسوم چگالی جریان الکتریکی

معمول ترین راه برای حل معادله فوق با در نظر گرفتن شرط $\xi \ll L$ که در آن L عرض پیوند

می باشد، این است که از دو بخش اول در مقابل بخش سوم صرف نظر کنیم [۲۲]:

$$f(x) = ax + b \quad (4-4)$$

پس از اعمال شرایط مرزی در دو سمت پیوند جوزفسون به صورت $f(0) = 1$ و $f(L) = e^{i\delta}$ ،

پاسخ تقریبی بدست آمده به صورت زیر خواهد بود:

$$f(x) = \frac{e^{i\delta} - 1}{L} x + 1 \quad (5-4)$$

و نهایتاً چگالی جریان الکتریکی با توجه به آن به شکل زیر محاسبه می شود:

$$J = \frac{e^* \hbar}{m^* L} |\psi_\infty|^2 \sin(\delta) \quad (6-4)$$

می توانیم برای بهبود تقریب، تنها از جمله غیر خطی دوم صرف نظر کرده و پاسخ را به بدست آوریم:

$$f(x) = a \sin\left(\frac{x}{\xi}\right) + b \cos\left(\frac{x}{\xi}\right) \quad (7-4)$$

که در آن ضرایب مستقل a و b پس از اعمال شرایط مرزی بدست می آینند:

$$f(x) = \frac{e^{i\delta} - \cos(L/\xi)}{\sin(L/\xi)} \sin\left(\frac{x}{\xi}\right) + \cos\left(\frac{x}{\xi}\right) \quad (8-4)$$

و در نتیجه چگالی جریان عبوری محاسبه می شود:

$$J = \frac{1}{\operatorname{sinc}(L/\xi)} \frac{e^* \hbar}{m^* L} |\psi_\infty|^2 \sin(\delta) \quad (9-4)$$

همان طور که می بینیم اگر چگالی جریان در معادله (۱۲) را با معادله (۹) مقایسه کنیم، پاسخ دقیق تر

تنها در ضریب $(\xi/L)^2 = \sin(L/\xi)/(L/\xi)$ تفاوت می کند. بنابراین در حد $\xi \ll L$ هر دو پاسخ

یکسان خواهند بود.

۴-۴ محاسبه دقیق چگالی جریان الکتریکی پیوند

در این بخش، راه حل دقیق معادله (۴-۳) ارائه می‌شود که در آن تمامی جملات در نظر گرفته شده‌اند. این معادله دیفرانسیل که مختلط و شدیداً غیرخطی می‌باشد، در شرایط مرزی صفر در بینهایت در می‌آیند، دیگر نمی‌توان یک فرم بسته برای آن پیدا نمود. بنابراین به ناچار به سراغ حل عددی این معادله رفته‌یم تا پاسخ دقیق آن را بیابیم.

الگوریتم ارائه شده به شکل تغییر تدریجی از جواب تقریبی بدست آمده در (۴-۸) و افزایش شدت جمله غیرخطی است که نهایتاً پس از تکرارهای کافی به پاسخ دقیق می‌انجامد (میل می‌کند یا همگرا می‌شود). بنابراین ضریب بدون بعد k را در معادله (۴-۳) به صورت زیر وارد می‌نماییم:

$$f - k|f|^2 f + \xi^2 \frac{d^2 f}{dx^2} = 0 \quad (10-4)$$

پارامتر k در ابتدا صفر بوده و بیان‌گر عدم تأثیر جمله غیرخطی است که در نهایت پس از طی N مرحله به مقدار ۱ می‌رسد که معادله کامل است. حال سری تابعی $\{f_n\}$ مرتبط با ضریب $k=n\varepsilon$ را تعریف می‌کنیم که $\varepsilon=1/N$ طول هر پله می‌باشد. به وضوح f_0 همان معادله (۴-۸) می‌باشد و f_N همان پاسخ مورد نظر است. برای $n > 0$ توابع اختلال δf_n را به صورت زیر تعریف می‌نماییم:

$$f_n = f_{n-1} + \delta f_{n-1} \quad (11-4)$$

فرض شده که تمام توابع f_n در معادله

$$f_n - n\varepsilon|f_n|^2 f_n + \xi^2 \frac{d^2 f_n}{dx^2} = 0 \quad (12-4)$$

صدق می‌نمایند که با استفاده از این معادله می‌توانیم معادله دیفرانسیل حاکم بر توابع اختلال δf_n را بدست آوریم. کافی است معادله (۱۱-۴) را در (۱۲-۴) جایگزاری کنیم و از تئوری اختلال درجه اول

استفاده نمائیم:

$$(f_{n-1} + \delta f_{n-1}) + \xi^2 \frac{d^2(f_{n-1} + \delta f_{n-1})}{dx^2} - n\epsilon(f_{n-1} + \delta f_{n-1}) \left(|f_{n-1}|^2 + f_{n-1} \delta f_{n-1}^* + f_{n-1}^* \delta f_{n-1} + |\delta f_{n-1}|^2 \right) = 0 \quad (13-4)$$

اگر تعداد کل پله‌ها (N) به اندازه کافی بزرگ باشد، توابع اختلال δf_n بسیار کوچک خواهند بود و می‌توانیم به راحتی از توانهای بالاتر این توابع صرفنظر نمائیم. بنابراین معادله دیفرانسیل درجه دوم «خطی» برای توابع اختلال بدست خواهد آمد.

$$(f_{n-1} + \delta f_{n-1}) + \xi^2 \frac{d^2(f_{n-1} + \delta f_{n-1})}{dx^2} - n\epsilon \left(|f_{n-1}|^2 f_{n-1} + 2|f_{n-1}|^2 \delta f_{n-1} + f_{n-1}^2 \delta f_{n-1}^* \right) = 0 \quad (14-4)$$

با مرتب نمودن معادله فوق به صورت

$$\delta f_{n-1} - \epsilon |f_{n-1}|^2 f_{n-1} + \xi^2 \frac{d^2 \delta f_{n-1}}{dx^2} - n\epsilon \left(2|f_{n-1}|^2 \delta f_{n-1} + f_{n-1}^2 \delta f_{n-1}^* \right) + \left[f_{n-1} - (n-1)\epsilon |f_{n-1}|^2 f_{n-1} + \xi^2 \frac{d^2 f_{n-1}}{dx^2} \right] = 0 \quad (15-4)$$

در می‌یابیم که عبارت داخل براکت، مطابق رابطه (۱۲-۴) برابر مقدار صفر می‌باشد. ماقبی جملات معادله دیفرانسیل مورد نظر را تشکیل می‌دهند که البته این معادله هنوز مختلط می‌باشد و مستقیماً قابل حل نیست. برای رفع این مانع، بخش‌های حقیقی و موهومی معادله (۱۵-۴) را از یکدیگر جدا می‌نمائیم. نتیجه این کار بدست آمدن یک زوج معادله دیفرانسیل خطی تزویج شده بر اساس بخش‌های حقیقی و موهومی توابع اختلال خواهد بود. برای سادگی در بیان، اندیس‌های تکراری $n-1$ در معادله (۱۵-۴) را حذف نموده و از اندیس‌های r و i به ترتیب برای نشان دادن بخش‌های حقیقی و موهومی متناظر

استفاده می‌کنیم:

$$\begin{aligned} \delta f_r - \varepsilon |f|^2 f_r + \xi^2 \frac{d^2 \delta f_r}{dx^2} - n\varepsilon (2|f|^2 \delta f_r + \operatorname{Re}\{f^2\} \delta f_r + \operatorname{Im}\{f^2\} \delta f_i) &\approx 0 \\ \delta f_i - \varepsilon |f|^2 f_i + \xi^2 \frac{d^2 \delta f_i}{dx^2} - n\varepsilon (2|f|^2 \delta f_i - \operatorname{Re}\{f^2\} \delta f_i + \operatorname{Im}\{f^2\} \delta f_r) &\approx 0 \end{aligned} \quad (16-4)$$

از آنجائی که $f_0(0) = e^{i\delta}$ و $f_0(L) = 1$ شرایط مرزی جدید

برای توابع اختلال $\delta f = \delta f_r + i\delta f_i$ بسیار ساده می‌باشند:

$$\begin{aligned} \delta f_r(0) &= \delta f_i(0) = 0 \\ \delta f_r(L) &= \delta f_i(L) = 0 \end{aligned} \quad (17-4)$$

با بدست آوردن تابع اختلال و جایگزاری مجدد در (11-4) و (16-4) می‌توان با تکرار این

عملیات تا وقتی که $k=1$ (یا $n=N$) پاسخ نهائی را برای یک پیوند جوزفسون دلخواه بدست آورد. می-

توان دقت پاسخ نهائی را به اندازه دلخواه توسط افزایش تعداد پله‌ها بالا برد.

همچنین می‌توانیم تأثیر میدان مغناطیسی را مطابق رابطه (4-1) در نظر بگیریم. در صورت اعمال

میدان مغناطیسی خارجی، معادله (4-1) را می‌توان به شکل زیر بازنویسی نمود.

$$\left(\alpha + \frac{e^{*2} |\mathbf{A}|^2}{2m^* c^2} \right) \psi + \beta |\psi|^2 \psi + \frac{i\hbar e^* A_x}{m^* c} \frac{d\psi}{dx} - \frac{\hbar^2}{2m^*} \frac{d^2 \psi}{dx^2} = 0 \quad (18-4)$$

در شرایطی که این میدان مغناطیسی موازی سطح مقطع (عمود بر فیلم ابررسانا) پیوند جوزفسون

باشد ($A_x=0$)، و پس از نرمالیزه نمودن تابع موج خواهیم داشت:

$$f - \frac{1}{1-\chi |\mathbf{A}|^2} |f|^2 f - \frac{\hbar^2}{2m^* \alpha (1-\chi |\mathbf{A}|^2)} \frac{d^2 f}{dx^2} = 0 \quad (19-4)$$

که در آن $\chi = -e^{*2}/2m^* c^2 \alpha$. از آنجائیکه α مقداری منفی است، طول مشخصه مؤثر ابررسانا

$$\xi_{eff} = \frac{\hbar}{\sqrt{2m^* |\alpha| (1-\chi |\mathbf{A}|^2)}} = \frac{\xi}{\sqrt{1-\chi |\mathbf{A}|^2}} \quad (20-4)$$

با اعمال میدان، افزایش می‌یابد و تا هنگامی که طول مشخصه مؤثر ماده ابررسانا مقداری محدود باشد، ماده در فاز ابررسانا باقی می‌ماند.

۴-۵ نتایج محاسبات

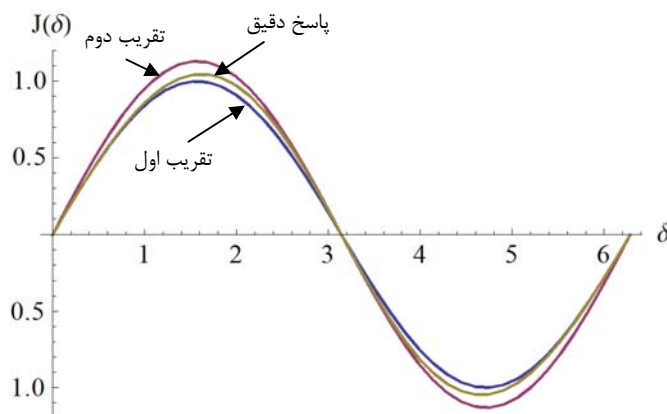
بدون از بین بردن کلیت مسئله، می‌توان با الهام گرفتن از رابطه (۴-۸) تمامی ابعاد فیزیکی مسئله را توسط طول مشخصه ابررسانا^۱ (λ) بسنجیم. بنابراین در ادامه تمامی ابعاد فیزیکی به صورت نسبی (نرمالیزه) با طول مشخصه سنجیده خواهد شد ($\lambda=1$).

۴-۶ مقادیر دقیق چگالی جریان الکتریکی پیوند

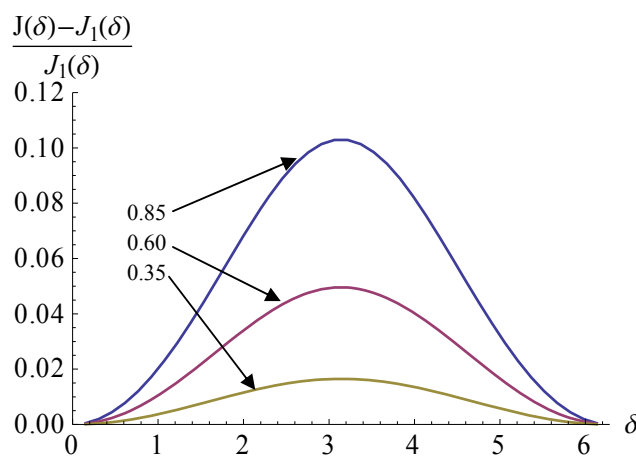
با حل دسته معادلات دیفرانسیل (۴-۱۶) چگالی جریان عبوری از پیوند جوزفسون محاسبه شده و در این بخش آورده شده است.

همانطور که در شکل ۴-۱ دیده می‌شود، بر خلاف نتایج تقریبی معادلات (۴-۶) و (۴-۹)، پاسخ دقیق بدست آمده دیگر سینوسی خالص نمی‌باشد و نامتقارن است؛ به طوری که $J\left[(n+\frac{1}{2})\pi + \delta\right] \neq J\left[(n+\frac{1}{2})\pi - \delta\right]$. این امر بر روی احتمال تونلزنی حالت‌های محصور در چاه پتانسیل اثر خواهد گذاشت که در ادامه توضیح خواهیم داد.

^۱ Superconductor characteristic length



شکل ۱-۴. چگالی جریان محاسبه شده از سه روش. معادلات (۶-۴)، (۹-۴) و پاسخ دقیق (۶-۱۶) بر حسب اختلاف فاز دو سر پیوند برای عرض پیوند $I_b/I_c = 0.85$ و $L = 5\text{ cm}$ جریان بایاس 0.5



شکل ۲-۴. نسبت تفاضل چگالی جریان دقیق و تقریبی معادلات (۶-۴) و (۶-۱۶) بر حسب اختلاف فاز دو سر پیوند برای جریان بایاس $I_b/I_c = 0.5$ و عرض های پیوند 0.85 و 0.60 و 0.35 و $L = 5\text{ cm}$

برای بهتر نشان دادن اختلاف نتایج بدست آمده، نسبت اختلاف محاسبات دقیق و تقریبی را در

شکل ۲-۴ آورده‌ایم. این امر برای سه عرض متفاوت آورده شده است. همانطور که دیده می‌شود، این نسبت تغییرات در حدود $\frac{\pi}{8}$ کوچک بوده ولی در عرض‌های بزرگ‌تر، این نسبت در نزدیکی نقطه $\delta = 10$ درصد نیز تجاوز می‌کند که قابل توجه است.

فصل ۵ بهینه‌سازی دقیق کیوبیت ابررسانا

۱-۵ مقدمه

از آنجایی که شکل پتانسیل عامل مهمی در قدرت تمیز بین دو حالت کوانتمی در اندازه‌گیری حالت می‌باشد و از سوی دیگر وابستگی جریان جوزفسون به فاز ابررسانایی دو سر پیوند، که در پیوندهای معمول یک تابع سینوسی است، مهمترین عامل تعیین کننده شکل تابع پتانسیل می‌باشد؛ تلاش ما بر این بوده که با در نظر گرفتن یک پیوند جوزفسون با لایه عایق ضخیم و محاسبه وابستگی جریان به فاز ابررسانایی در این سیستم (که دیگر انتظار نمی‌رود سینوسی باشد) تغییرات در شکل پتانسیل و در نتیجه خروجی اندازه‌گیری حالتنهایی بیت کوانتمی را بررسی نمائیم.

پس از محاسبه دقیق ارتباط بین چگالی جریان الکتریکی و اختلاف فاز دو سر پیوند (CPR)، در این فصل تغییرات پتانسیل فازی دقیق پیوند (کیوبیت) را محاسبه نموده و با توجه به آن ویژگی‌های تعیین

کننده کیوبیت را بدست می‌آوریم. در این صورت خواهیم توانست در مورد بهینه‌سازی پارامترهای کیوبیت و یا سیستم تصمیم‌گیری نمائیم.

ابتدا مسئله تونل‌زنی را در کیوبیت بررسی نموده و احتمالات تونل‌زنی حالات کیوبیت در شرایط مختلف را بدست می‌آوریم؛ سپس با تعریف معیارهای مقایسه، شرایط بهینه کاری را معرفی نموده و نتایج را با گزارشات موجود مقایسه می‌کنیم.

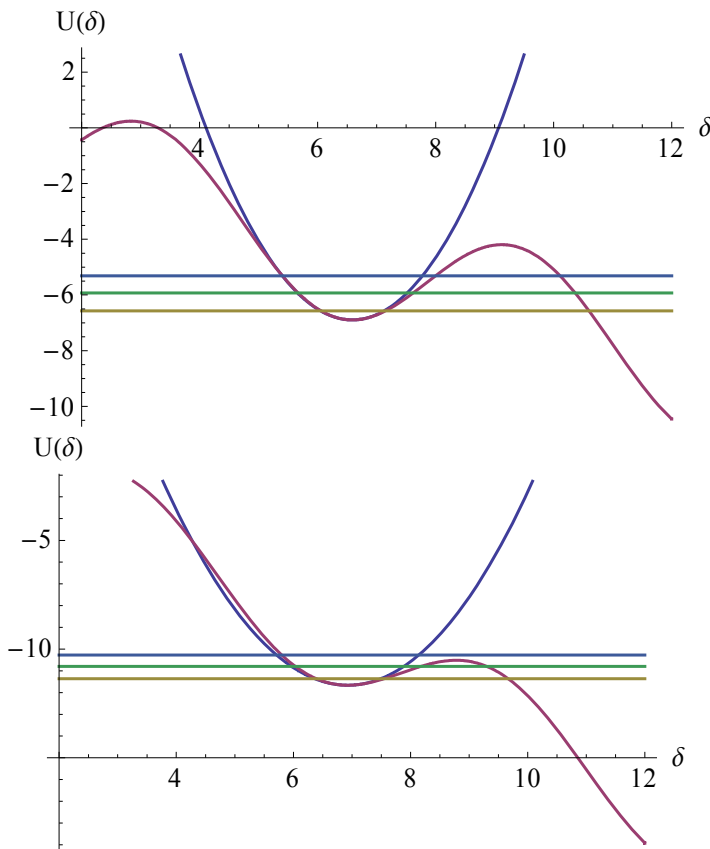
۲-۵ محاسبه احتمالات تونل‌زنی حالات کیوبیت

پس از محاسبه مقدار دقیق چگالی جریان بر حسب اختلاف فاز، می‌توانیم تغییرات پتانسیل بر حسب اختلاف فاز را با استفاده از رابطه (۲-۳) یافته و سپس انرژی حالت‌های درون چاه پتانسیل را بدست آوریم.

به وضوح تعدادی حالت محبوس در چاه پتانسیل ایجاد شده وجود خواهند داشت ولی تعدادی از حالت‌ها غیرمحبوس (نشتی) خواهند بود. به دلیل محاسبات عددی چاه پتانسیل، عبارت بسته‌ای برای انرژی حالت‌های مذکور وجود ندارد؛ بنابراین از تئوری اختلال برای محاسبه آنها استفاده می‌کنیم و از نوسان‌گر هماهنگ (Harmonic Oscillator) به عنوان پتانسیل مختلط نشده (حدس اولیه) که ویژگی‌های

آن کاملاً بررسی شده بهره می‌گیریم. برای ایجاد بیشترین شباهت، نوسان‌گر هماهنگی در کف چاه پتانسیل با تقریب یکسان در نظر می‌گیریم. همچنین، انرژی را در محاسبات به مقدار $E_c=2e^2/C=0.1$ نرمالیزه می‌نمائیم. ضمناً در محاسبات انجام شده، سطح مقطع پیوند جوزفسون به عنوان مثالی برای نشان دادن نتایج به جز در قسمتی که اثر آن بررسی شده، $A/\zeta^2=1$ در نظر گرفته شده است. برای محاسبه سه حالت پائین چاه پتانسیل از اختلال مرتبه دوم در محاسبات استفاده نمودیم. این سه، حالت پایه چاه $\langle 0 |$

حالت برانگیخته اول $\langle 1 \rangle$ برای تعریف کیوبیت و حالت ناخواسته برانگیخته دوم $\langle 2 \rangle$ که برای بررسی نشست انرژی به خارج از فضای کیوبیت به این حالت نیاز خواهد بود.



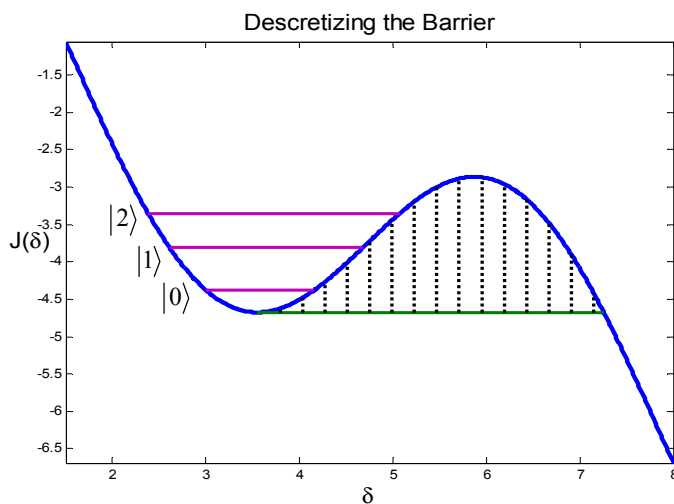
شکل ۱-۵. انرژی حالت‌های چاه پتانسیل تشکیل شده در پیوند جوزفسون برای جریان بایاس $I_b/I_c=0.5$

بالا: هر سه حالت محبوس می‌باشند، پائین: حالت سوم نشی است.

حالات پایدار (دارای عمر طولانی) محبوس و همچنین بهینه نمودن پارامترهای اندازه‌گیری نیازمند مقدار جریان بایاس خاصی می‌باشند که در ادامه در مورد آنها بحث خواهد شد. در شکل ۱-۵ سه حالت پائین چاه پتانسیل برای یک پیوند جوزفسون نوعی، نشان داده شده‌اند. در شکل ۱-۵(بالا) هر سه حالت مورد بحث در چاه پتانسیل محبوس هستند اما با افزایش جریان بایاس (یا اعمال جریان اندازه-گیری) مطابق شکل ۱-۵(پائین) سد پتانسیل کوتاه شده است که نتیجه این موضوع نشی شدن حالت سوم و افزایش بسیار زیاد احتمال تونل‌زنی آن می‌باشد.

در محاسبات انجام شده، فرض شده است که اعمال جریان اندازه‌گیری به صورت آرام و پیوسته^۱ انجام گرفته است؛ به این معنی که حالت‌های اولیه سیستم متناظرًا به حالت‌های سیستم جدید تبدیل شده‌اند. بنابراین حالت‌های جدید مجددًا محاسبه شده‌اند. این امر وابسته به ثابت زمانی کیویت می‌باشد که طبق آن سیستم به سمت فضای جدید حرکت می‌کند.

برای محاسبه نرخ تونل‌زنی حالت‌های سیستم، سد پتانسیل را مطابق شکل ۲-۵ در بازه اختلاف فاز گسته نموده و از روش ماتریس انتقال^۲ [۴۳] برای این منظور استفاده کردیم.



شکل ۲-۵. گسته‌سازی مانع پتانسیل برای محاسبه تونل‌زنی حالت‌ها با استفاده از روش ماتریس انتقال.

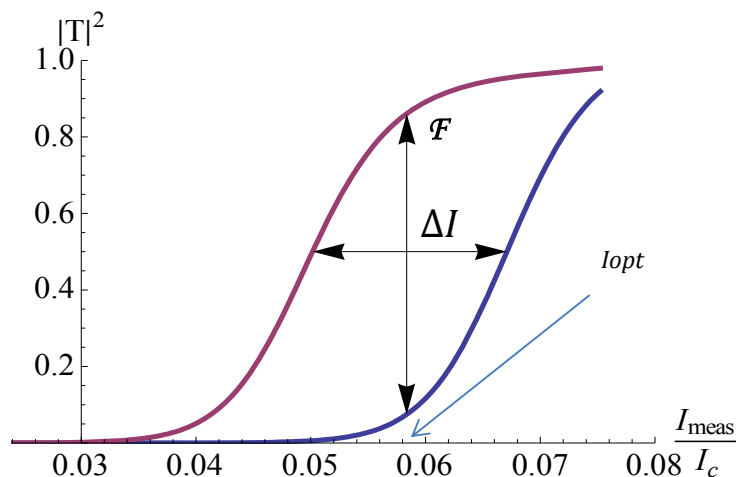
این بازه از کف چاه پتانسیل شروع شده و تا نقطه مقابل آن در سمت دیگر سد پتانسیل ادامه می‌یابد. این عملیات برای جریان‌های اندازه‌گیری بین صفر و $I_c - I_b$ که اختلاف بین جریان بحرانی پیوند و جریان بایاس می‌باشد، انجام می‌شود.

¹ Adiabatically movement

² Transfer Matrix Method

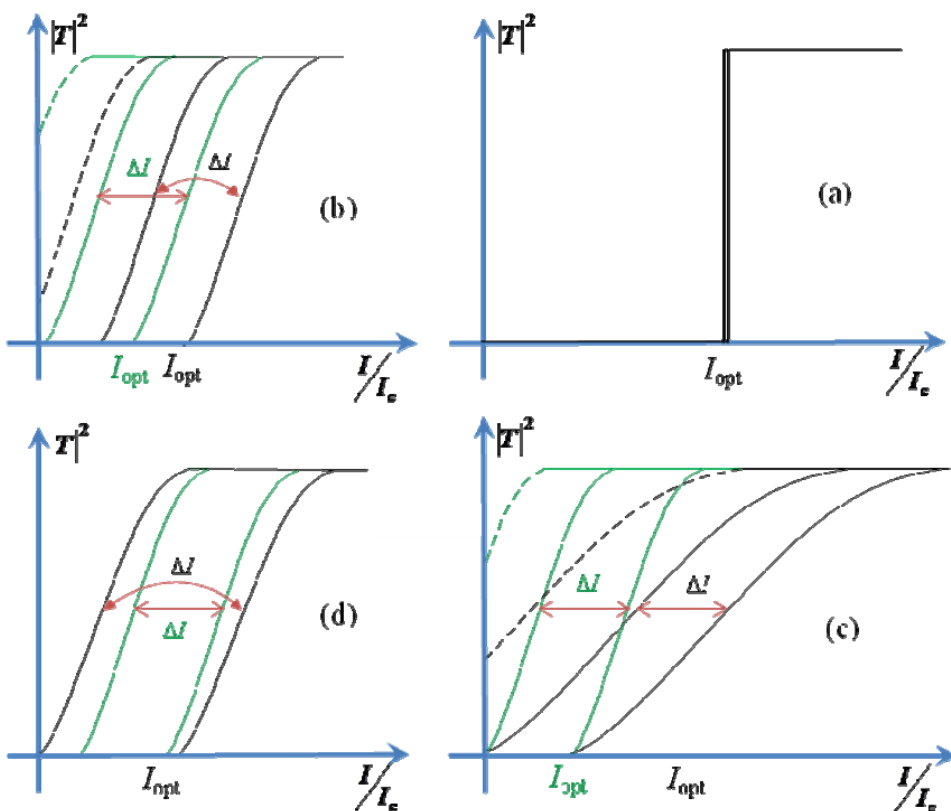
به دلیل اینکه برای محاسبه حالت‌ها از اختلال استفاده نمودیم، محاسبه دقیق مقادیر احتمال تونل-زنی در جریان‌های اندازه‌گیری نزدیک $I_c - I_b$ امکان‌پذیر نیست. برای جلوگیری از اینگونه اشتباهات محاسباتی دو شرط را در الگوریتم مورد استفاده لحاظ نموده‌ایم: اول $E_B < E_0 < E_1 < E_2$ و دوم $E_B < E_2 - E_1 < E_1 - E_0$ که انرژی کف چاه پتانسیل است. این شرط نتایج بدینهی چاه پتانسیلی با تقریبیش از تقریب چاه می‌باشد که در پیوندهای جوزفسون همواره این اتفاق رخ می‌دهد. شرط دوم در واقع متناظر با $\omega_{12} > \omega_{01}$ می‌باشد که به معنی بزرگتر بودن فرکانس انتقال اصلی از فرکانس انتقال دوم است.

محاسبات فوق برای هر سه حالت پائین چاه پتانسیل انجام شده و نتایج آنها در شکل‌های بعدی آورده شده‌اند. به وضوح، در حالت‌های بالاتر احتمال تونل‌زنی و عبور از سد در جریان‌های اندازه‌گیری یکسان، بیشتر است؛ بنابراین ترتیب منحنی‌های تونل‌زنی همواره به صورت افزایش شماره حالت از راست به چپ می‌باشد.



شکل ۳-۵. معیارهای بهینه‌سازی

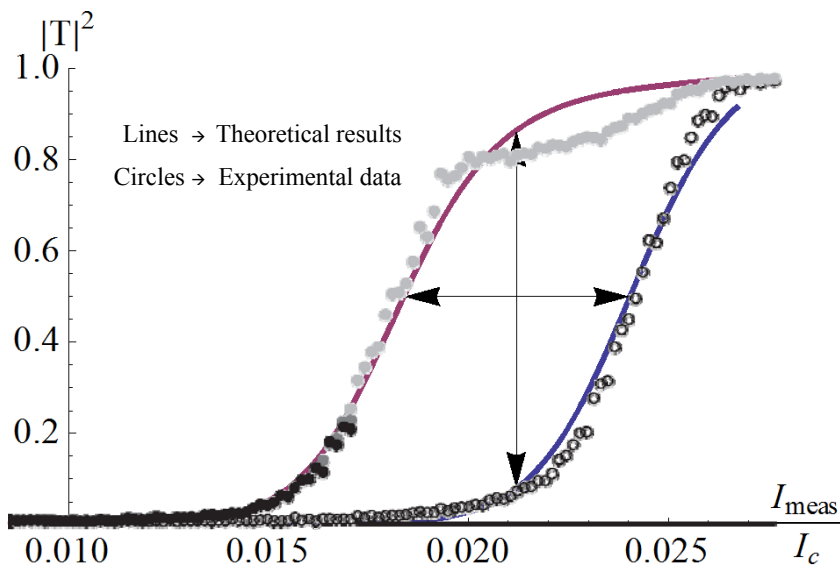
برای مقایسه بهتر بین نمودارهای مختلف چند معیار بهینه‌سازی تعریف می‌کنیم: تشابه (تفکیک-پذیری) در اندازه‌گیری که مقدار بیشینه اختلاف در مقادیر تونل زنی دو حالت $|0\rangle$ و $|1\rangle$ در جریان اندازه‌گیری یکسان می‌باشد و آن را \mathcal{F} می‌نامیم؛ به جریان شرایط مذکور، جریان اندازه‌گیری بهینه (I_{opt}) انتقال ۵۰٪ و جریان اندازه‌گیری بهینه $\Delta I/I_{opt}$ که آن را \mathcal{R} می‌نامیم (شکل ۳-۵).



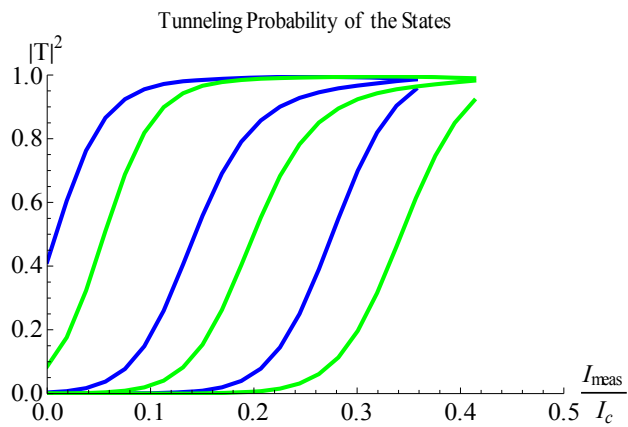
- شکل ۴-۵. نمودارهای فرضی قابل تصور تغییرات نرخ تونل زنی حالت‌های کیویت برای بیان دلیل تعریف معیار \mathcal{R} .
- (a): علی‌رغم اینکه مقدار تشابه اندازه‌گیری (\mathcal{F}) واحد است، به دلیل حساسیت زیاد به تغییرات جریان اندازه‌گیری مناسب نیست.
 - (b): اختلاف جریان‌ها (ΔI) برابر است، منحنی سبز (کمرنگ) ارجح است چون حالت برانگیخته دوم طول عمر کمتری دارد.
 - (c): در منحنی سیاه (پررنگ) تشابه به شدت افت کرده است
 - (d): منحنی سیاه (پررنگ) تشابه بزرگتری دارد و همچنین حالت برانگیخته دوم نیز طول عمر کمتری دارد پس ارجح است.

برای بیان اینکه معیار مقایسه R چرا بدین گونه تعریف شده است، در شکل ۵-۴ چندین نمودار قابل تصور برای اینگونه تغییرات را آورده‌ایم تا موضوع روشن‌تر شود. در نمودارهای (b) و (c) منحنی سبز رنگ ارجح است اما در نمودار (d) منحنی سیاه رنگ. همانطور که می‌بینیم معیار تعریف شده در همه موارد نتیجه درستی ارایه می‌کند.

مقادیر عددی استخراج شده از یک آزمایش تجربی [۳۳] به همراه نتایج محاسبات تئوری توسط روش ارائه شده، در شکل ۵-۵ آورده شده‌اند. با توجه به اینکه در یکی از مقالات ارائه شده توسط این گروه تحقیقاتی از ماده آلومینیوم به عنوان ابررسانا و از اکسید آلومینیوم آمورف (Amorphous) به عنوان لایه میانی استفاده نموده‌اند، برای هماهنگی نموار از پارامترهای یکسانی استفاده نموده‌ایم. توده آلومینیوم دارای طول مشخصه بسیار بزرگ در حدود ۱۶۰۰ نانومتر می‌باشد اما فیلم آلومینیوم که در کیوبیت‌ها استفاده می‌شود به طور میانگین در حدود ۱۰۰ نانومتر درنظر گرفته شده است [۴۴]، [۴۵] و [۴۶]. همچنین عرض پیوند در حدود ۲ نانومتر و سطح مقطع در حدود $1\mu\text{m}^2$ انتخاب شده‌اند [۴۷]. جریان بایاس پیوند در سیستم عملی گزارش نشده است و در اینجا ناچار شدیم با عملیات حدس و خطا بهترین تطابق را بدست آوریم که به طرز قابل قبولی به مقدار $I_b/I_c=0.97$ رسیدیم. همانطوریکه می‌بینیم نمودار بدست آمده هماهنگی بسیار خوبی با نتایج عملی دارد. یکی از دلایل جابجائی این پیش‌بینی در جریان‌های بالا، همان مشکل روش اختلال در محاسبه انرژی حالت‌ها می‌باشد که در این شرایط اختلال مرتبه دوم استفاده شده نیز پاسخگو نمی‌باشد. جدا از هماهنگی ظاهری دو نمودار، مقادیر معیار تعریف شده نیز مشابه می‌باشند که این امر از اهمیت بسیاری برخوردار است.



شکل ۵-۵. احتمالات تونل زنی حالت های پایه کویبیت بر حسب جریان اندازه گیری؛ خطوط پیوسته: نتایج عددی برای عرض بیوند $0.02 = \frac{\gamma}{L}$ ، سطح مقطع $100 = \frac{\gamma^2}{A}$ و جریان بایاس $I_b/I_c = 0.97$ دایره خالی: نتایج عملی برای حالت پایه، و دایره پر: نتایج عملی برای حالت برانگیخته.



شکل ۶-۵. احتمالات تونل زنی سه حالت اول بر حسب جریان اندازه گیری برای جریان بایاس $I_b/I_c = 0.5$ و عرض پیوند $\frac{\gamma}{L} = 0.85$ خطوط تیره (آبی): محاسبات دقیق، و خطوط روشن (سبز): محاسبات تقریبی.

نتایج محاسبات دقیق انجام شده با نتایج تقریبی قبلی در شکل ۶-۵ با یکدیگر مقایسه شده اند.

احتمالات تونل زنی به وضوح به سمت مقادیر کمتر جریان های اندازه گیری حرکت نموده اند. بنابراین

اولین نکته که توجه را به خود جلب می کند، کم شدن جریان اندازه گیری بهینه است. \mathcal{R} افزایش قابل

توجهی یافته (٪۳۳)، اما مقدار F در حدود ۱٪ کاهش داشته است.

۳-۵ نتایج محاسبات

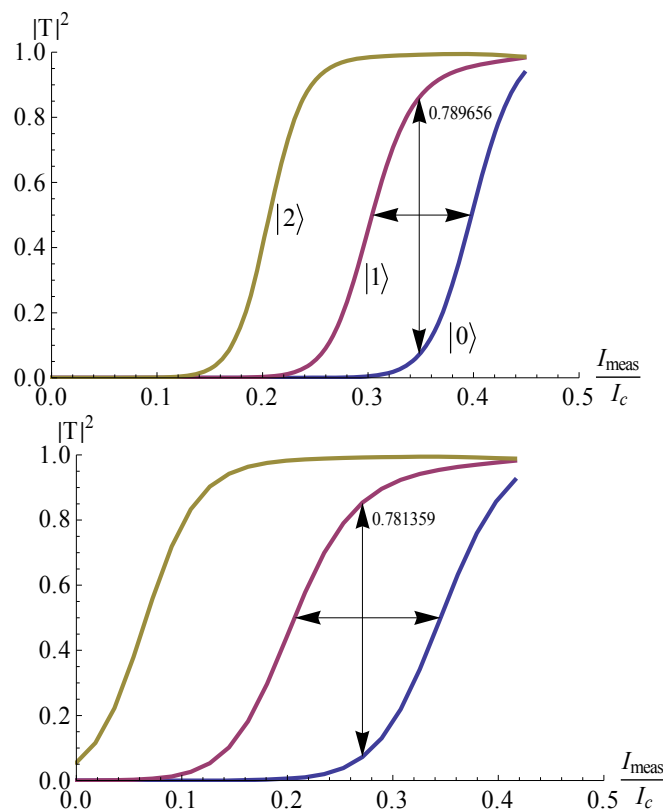
حال که معیارهای مقایسه را تعریف کرده‌ایم اثر هر کدام از پارامترهای کیوبیت را بر روی عملکرد

آن بررسی می‌کنیم

۱-۳-۵ اثر عرض پیوند

احتمالات تونلزنی برای یک پیوند جوزفسون نوعی با عرض‌های کم و زیاد در شکل ۷-۵ نمایش

داده شده‌اند. نمودارهای بالا و پائین به ترتیب متعلق به عرض‌های $\xi/L = 0.25$ و $\xi/L = 0.75$ می‌باشند.



شکل ۷-۵. احتمالات تونلزنی بر حسب جریان اندازه‌گیری برای جریان بایاس $I_b/I_c = 0.5$

بالا: عرض پیوند $\xi/L = 0.25$ پائین: عرض پیوند $\xi/L = 0.75$

در عرض 0.25m مقدار $F=0.790$ میباشد و در جریان اندازهگیری $I_{meas}/I_c=0.349$ اتفاق

میافتد که همان جریان اندازهگیری بهینه I_{opt} است. در حالی که برای 0.75m مقدار

است و در جریان اندازهگیری $I_{meas}/I_c=0.271$ رخ میدهد.

همانطور که میبینیم، مقدار F حدود ۱٪ کاهش داشته است اما خوبشخтанه جریان اندازهگیری بهینه

به اندازه ۲۲٪ کاهش داشته است که این امر در دقت آزمایش و حذف اثرات نوافه‌های محیط بسیار مؤثر

است و امنیت سیستم را بالا میبرد. باید به این نکته دقت نمود که در پیوندهای جوزفسون با عرض

زیاد، مقدار جریان بحرانی کاهش یافته است؛ در نتیجه اثر کاهش جریان اندازهگیری بهینه دوچندان

خواهد بود.

مسئله بعدی بهبود قابل توجه معیار R است که از مقدار 1.310m برای عرض 0.25m به مقدار

در عرض 0.75m افزایش یافته است. افزایش R به معنی دقت و امنیت بیشتر سیستم نسبت به

پارامترهای زائد و در نتیجه تشخیص بهتر حالت‌های داخلی کیوبیت میباشد. این معیار به اندازه ۲۷٪

بهبود یافته است.

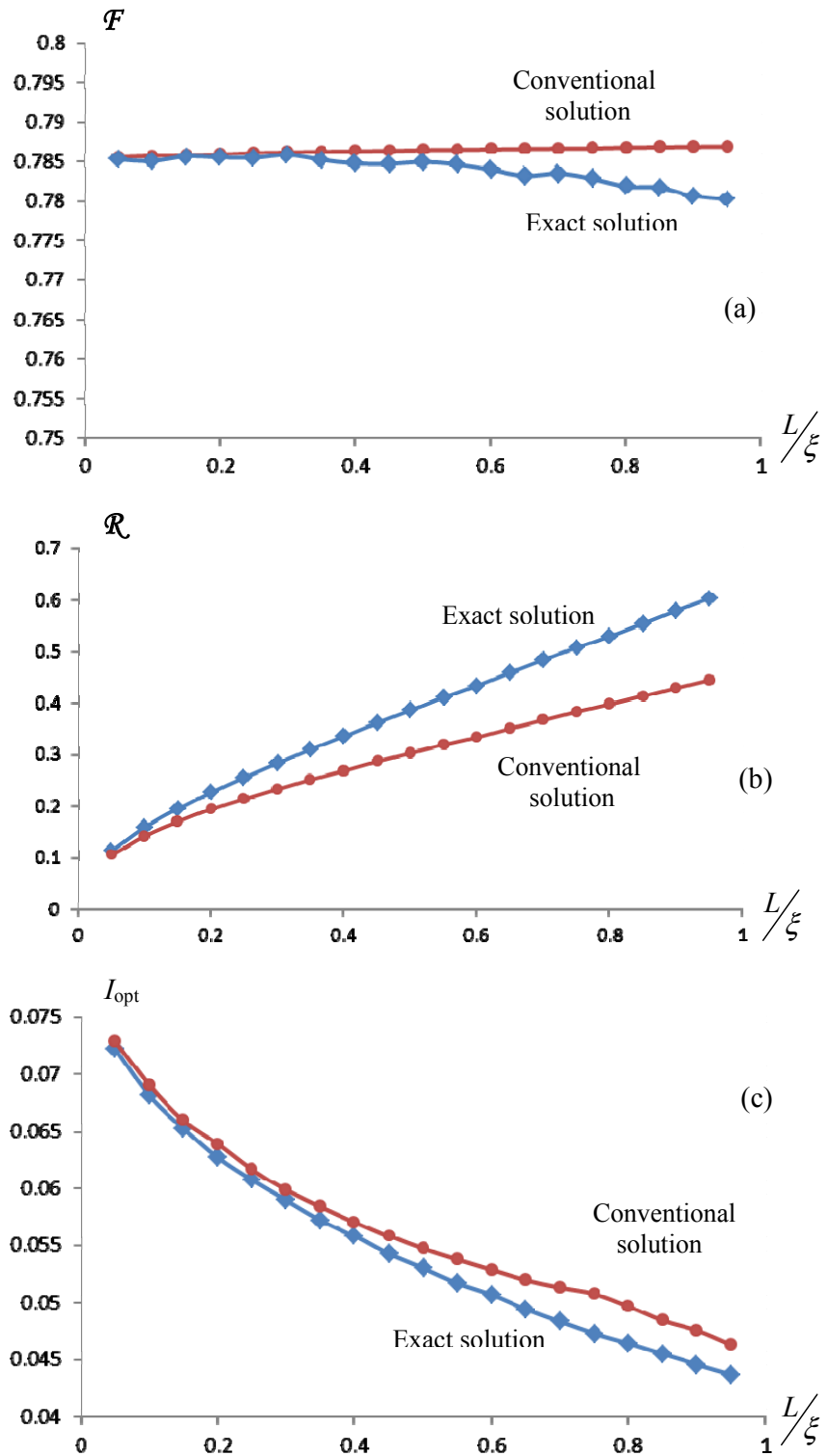
تغییرات معیارهای مقایسه نسبت به تغییرات عرض پیوند در شکل ۸-۵ نشان داده شده‌اند. همانطور

که مشاهده می‌شود، در مقادیر بالای عرض پیوند R رشد بیشتری داشته است در حالیکه F ثابت باقی

مانده است. واضح است که در این صورت I_{opt} کاهش بیشتری را تجربه کرده است. اگر بین پاسخ دقیق

و تقریبی مقایسه کنیم، میبینیم که در مقادیر بزرگ عرض پیوند، اختلاف این دو زیاد می‌شود و نشان

می‌دهد که در این محدوده پاسخ تقریبی دیگر جوابگو نمی‌باشد.



شکل ۸-۵ تغییرات معیارهای مقایسه نسبت به عرض پیوند در جریان بایاس نرمالیزه
 $I_b/I_c = 0.915$
 دایره‌های قرمز: پاسخ مرسوم تقریبی، مریع‌های آبی: پاسخ دقیق بر اساس راه حل جدید.

یکی از دلایل این امر می‌تواند تضعیف تزویج بین توابع موج دو طرف پیوند در شرایط عریض بودن لایه میانی باشد. در این صورت بخش‌هایی که در معادله GL غیر مرسوم بوده‌اند، خود را نشان می‌دهند و تاثیر بیشتری بر نتیجه خواهند گذاشت.

بین دو عرض پیوند بزرگ ($L/\xi = 0.85$) و کوچک ($L/\xi = 0.25$), معیار I_{opt} حدود ۲۰٪ کاهش پیدا کرده است. باستی دقت شود که این ارقام نرمالیزه می‌باشند و اگر به مقادیر واقعی بازگردیم، می‌بینیم که جریان بحرانی در پیوندهای عریض کوچکتر است پس در مثال مذکور جریان بسیار کوچکتری برای اندازه‌گیری بهینه مورد نیاز است و این امر باعث می‌شود که نویز جریان در این شرایط کاهش پیدا کند یا به بیان دیگر امنیت نویز افزایش پیدا خواهد کرد. به بیان دیگر اگر به معیار R در این بازه دقت کنیم، افزایش حدود ۱۰٪ از خود نشان می‌دهد که با توضیحات فوق منطبق است.

۲-۳-۵ اثر جریان بایاس

مهمترین تأثیر جریان بایاس تعیین و کنترل تعداد حالت‌های موجود در چاه پتانسیل می‌باشد. یک کیوبیت تنها به دو حالت اصلی برای هدف خود نیاز دارد؛ بنابراین حالت‌های بالاتر زائد بوده و می‌توانند اثرات مخربی بر کارکرد کیوبیت داشته باشند.

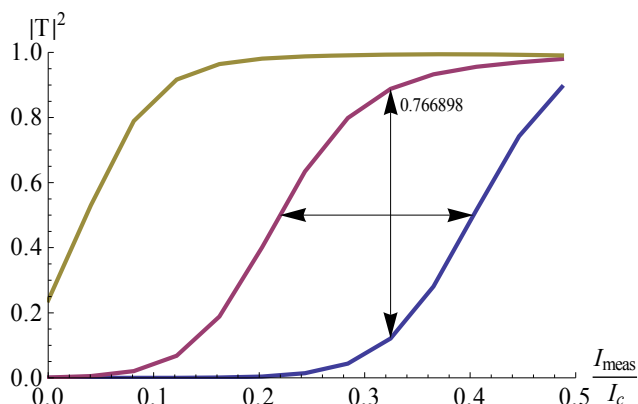
به عنوان مثال این احتمال وجود دارد که هنگام اعمال پالس مایکروویو برای تغییر حالت از $|0\rangle$ به $|1\rangle$ ، سیستم به حالت $|2\rangle$ برانگیخته شود که در این صورت نشت انرژی به خارج از فضای کیوبیت رخداده است که در این شرایط حالت جدید در محاسبات کوانتومی تعریف نشده بوده و در عمل اطلاعات از بین رفته است. در حال حاضر تحقیقات بسیاری در این زمینه در حال انجام می‌باشد [۴۸] و [۴۹] تا از این رخداد تا حد امکان اجتناب شود. در هر صورت نمی‌توانیم به طور کامل این نشت را حذف نمائیم،

چون برای پایدار بودن کیوبیت و داشتن حالت‌هایی با عمر طولانی (مخصوصاً حالت برانگیخته) نیاز به در نظر گرفتن فاصله مناسب از قله مانع پتانسیل می‌باشد تا احتمال تونل زنی حالت‌ها در شرایط عادی به اندازه کافی کم باشد. در نتیجه وجود حالت برانگیخته دوم $\langle 2 \rangle$ در کنار حالت‌های اصلی غیر قابل اجتناب است. به طور کلی تعادلی بین وجود حالت‌های نشستی زائد و پایداری کیوبیت وجود دارد.

برای نتیجه‌گیری مناسب و یافتن نقطه مناسب در این تعادل، شرط دیگری برای کیوبیت در نظر می‌گیریم. برای داشتن یک کیوبیت پایدار فرض می‌کنیم که بعد از بایاس سیستم، همواره احتمال تونل‌زنی حالت $\langle 1 \rangle$ از 0.001 کمتر باشد. به عنوان مثال برای کیوبیت با شرایط قبلی جریان بایاس را تا حد امکان افزایش می‌دهیم تا به مرز شرط فوق برسیم و آن را جریان بایاس بهینه می‌نامیم. همواره با تغییر جریان بایاس معیار F تقریباً بدون تغییر باقی می‌ماند، در حالی که معیار R به شکل موافق تغییر خواهد کرد چون با افزایش جریان بایاس، منحنی به سمت چپ حرکت می‌کند و مقدار I_{opt} کم می‌شود.

۳-۳-۵ اثر سطح مقطع

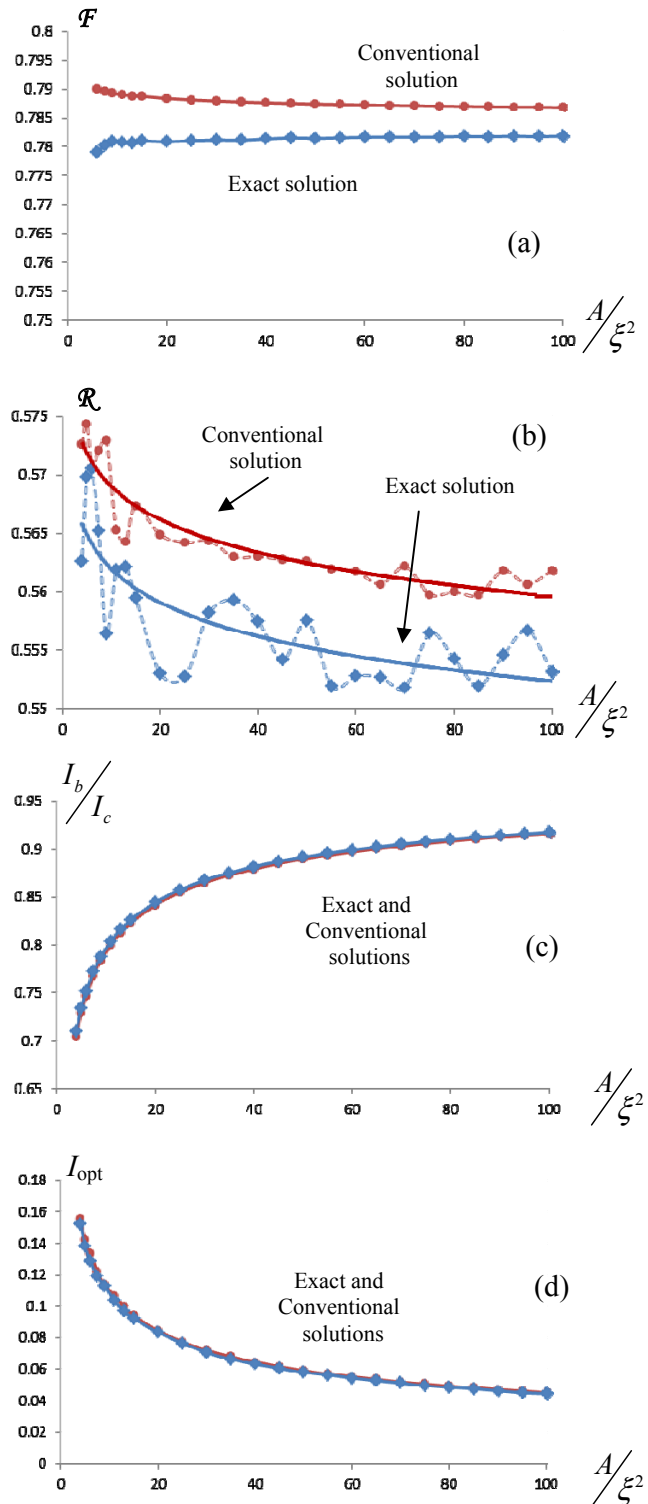
جریان بحرانی پیوند جوزفسون شدیداً تحت تأثیر سطح مقطع آن می‌باشد. در شکل ۹-۵ نمودار احتمالات تونل‌زنی برای یک پیوند با عرض $L=0.85\text{ cm}$ و سطح مقطع کوچکتر $A=0.5\text{ cm}^2$ نشان داده شده‌اند. مجدداً شرط $T|A| < 0.001$ برای حالت $\langle 1 \rangle$ در نظر گرفته شده تا بتوانیم با نتایج قبلی مقایسه نماییم. با رساندن جریان بایاس به بیشترین مقدار ممکن $I_{opt}/I_c = 0.385$ مشاهده می‌کنیم که معیار F کمی کاهش یافته و جریان اندازه‌گیری بهینه افزایش یافته اما اگر به دنبال داشتن امنیت نوفه باشیم باید متذکر شویم که به دلیل بازتر شدن نمودار، معیار R به مقدار 1.837 بهبود پیدا کرده است. اما بایستی دقت نمود که کوچک نمودن سطح مقطع به ابعاد ساخت محدود می‌شود و دارای حد نهائی می‌باشد.



شکل ۹-۵. احتمالات تونل زنی بر حسب جریان اندازه‌گیری برای جریان بایاس $I_b/I_c=0.385$ عرض پیوند $=\xi/L$ و سطح مقطع $A/\xi^2=0.5$

در شکل ۱۰-۵ تغییرات معیارهای مقایسه نسبت به تغییرات میدان مغناطیسی خارجی اعمالی در ξ/L رسم شده‌اند. این نمودارها پس از اصلاح جریان بایاس مطابق روش مذکور بدست آمده‌اند. اگر به پاسخ‌های دقیق و تقریبی دقت کنیم، می‌بینیم که در نمودار تغییرات F و در سطح مقطع‌های کوچک، پاسخ‌های دقیق و تقریبی رفتار متفاوتی از خود نشان می‌دهند. باز هم می‌توان حدس زد که این امر به دلیل ضعیف بودن پدیده جوزفسون در پیوندهایی با سطح مقطع کوچک باشد. در نمودار (b) تغییرات معیار R بسیار غیریکنواخت است که در بهترین انتخاب، با یک منحنی لگاریتمی تطابق داده شده است.

نمودار تغییرات جریان بهینه اندازه‌گیری و جریان بایاس اصلاح شده نیز در قسمت‌های (c) و (d) آورده شده‌اند. همانطورکه مشاهده می‌شود، در روش‌های حل دقیق و تقریبی تفاوت چندانی در مقادیر بدست آمده وجود ندارد.



شکل ۵-۱۰. تغییرات معیارهای مقایسه و جریان بایاس اصلاح شده نسبت به سطح مقطع برای عرض پیوند $\xi=0.85$ و $L=10^{-5}$

دایره‌های قرمز: پاسخ مرسوم تقریبی، مربع‌های آبی: پاسخ دقیق بر اساس راه حل جدید.

خط توپ در (b) منحنی تطبیقی لگاریتمی می‌باشد.

۴-۳-۵ اثر حضور میدان مغناطیسی خارجی

میدان مغناطیسی همواره باعث تضعیف تابع موج و تخریب پارامترهای ابررسانائی می‌شود. با این حال، چون به دنبال شکست تقارن در سیستم می‌باشیم، به دنبال اثرات غیر خطی میدان می‌رویم و اثر آن بر کیوبیت را بررسی می‌نماییم.

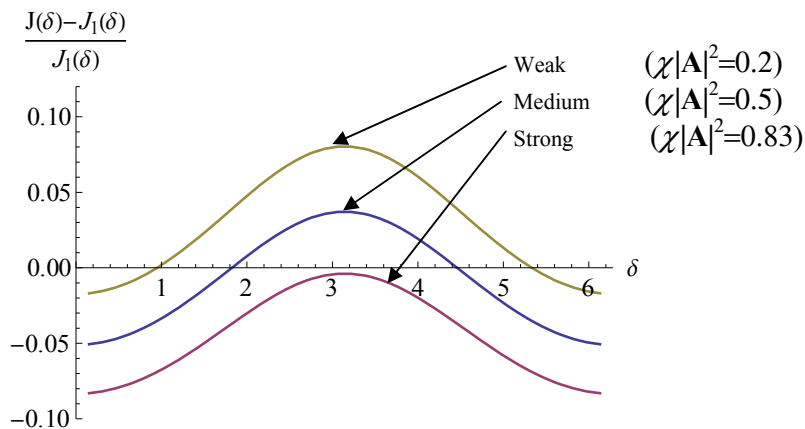
در زیر فصل ۴-۴، تأثیر میدان مغناطیسی عمود بر فیلم ابررسانا بر روی معادلات گینزبرگ-لاندau بررسی شد و مطابق رابطه (۲۰-۴) طول مشخصه مؤثر ابررسانا ξ_{eff} تعریف شد. با اعمال میدان ξ_{eff} افزایش یافته و بر خلاف انتظار عملکرد کیوبیت به سمت نسبت عرض‌های (ξ/L) کوچکتر حرکت می-کند که مطلوب نیست؛ اما باید دقت نمود که ضریب جمله غیرخطی نیز مطابق (۱۹-۴) با ضریب $1/\left(1+\chi|\mathbf{A}|^2/\alpha\right)$ افزایش یافته است. پس به سادگی نمی‌توان اثر میدان مغناطیسی را پیش‌بینی کرد.

تأثیر میدان مغناطیسی بر چگالی جریان پیوند جوزفسون به صورت نسبت تفاضل محاسبه دقیق با مقدار تقریبی در شکل ۱۱-۵ آورده شده است. اثرات غیر خطی میدان به خصوص در میدان‌های متوسط بر چگالی جریان به وضوح مشاهده می‌شود. این نمودار در میدان‌های ضعیف ($|\mathbf{A}|=\sqrt{|\alpha|/5\chi}$)، متوسط ($|\mathbf{A}|=\sqrt{|\alpha|/2\chi}$) و قوی ($|\mathbf{A}|=\sqrt{|\alpha|/1.2\chi}$) برای عرض پیوند $L=0.85$ محاسبه شده‌اند.

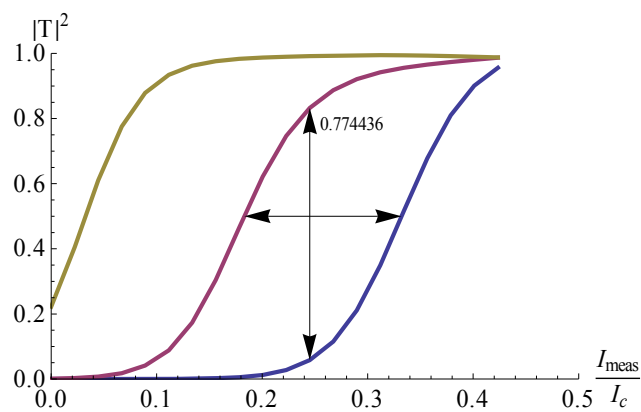
احتمالات تونلزنی در حضور میدان مغناطیسی قوی در شکل ۱۲-۵ نشان داده شده است. پس از اعمال شرط $|T|^2<0.001$ برای بهینه سازی پارامترها، مشاهده می‌کنیم که متأسفانه معیارهای F و R هردو کاهش پیدا کرده‌اند. در نتیجه به طور کلی جدا از اثرات مخرب دیگر میدان بر ابررسانا، غیرخطی بودن آن نیز کمکی به عملکرد کیوبیت نمی‌نماید.

تغییرات معیارهای مقایسه نسبت به اندازه میدان مغناطیسی اعمالی در جریان بایاس نرمالیزه $I_b/I_c=0.915$ و $L=0.85$ در شکل ۱۳-۵ نشان داده شده‌اند. بسیار جالب است که معیارهای مقایسه F و

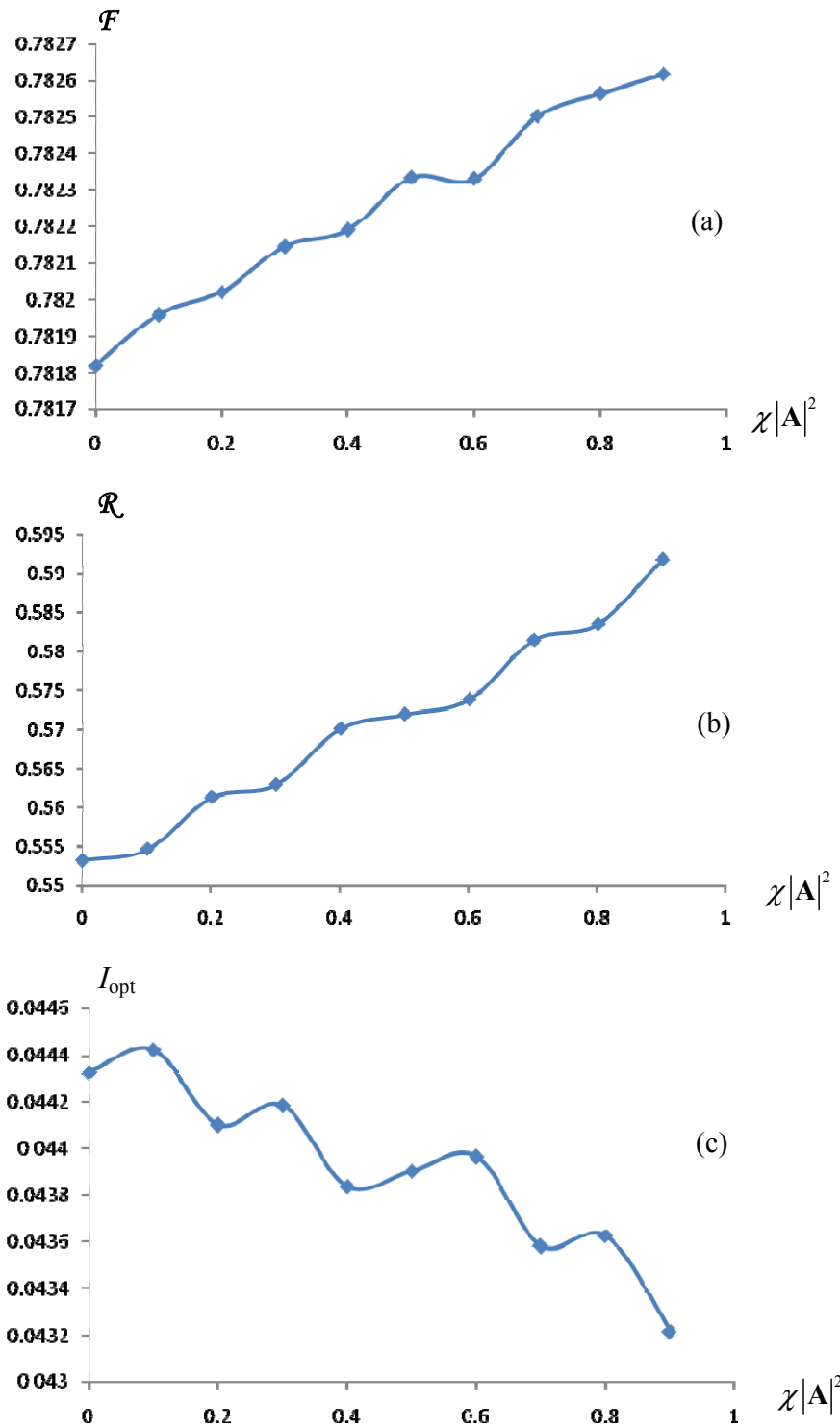
\mathcal{R} هر دو بهبود یافته‌اند! تنها توجیحی که می‌توان برای این مسئله ارایه نمود، برهم‌کنش میدان مغناطیسی عمود خارجی با زوج‌های کوپر تزویجی است که به وضوح خود را در مقدار طول مشخصه موثر ابررسانا نشان داده است. به نظر می‌آید که میدان خارجی با ایجاد گرداب‌های مغناطیسی (Vortices) در عایق پیوند مشخصات چاه پتانسیل کیویت را بهبود داده است.



شکل ۱۱-۵. نسبت تفاضل مقدار دقیق و تقریبی چگالی جریان بر حسب اختلاف فاز دو سر پیوند دارای عرض پیوند $L/2=0.85$ و جریان بایاس $I_b/I_c=0.5$ برای میدان‌های مغناطیسی ضعیف، متوسط و قوی.



شکل ۱۲-۵. احتمالات تونلزنی بر حسب جریان اندازه‌گیری برای عرض پیوند $L/2=0.85$ در حضور میدان مغناطیسی خارجی قوی.



شکل ۱۳-۵. تغییرات معیارهای مقایسه نسبت به اندازه میدان مغناطیسی اعمالی در جریان بایاس نرمالیزه $L_b/I_c=0.915$ و $\xi=0.85$ دایره‌های قرمز: پاسخ مرسوم تقریبی، مرتعهای آبی: پاسخ دقیق بر اساس راه حل جدید.

اگر بخواهیم کمی قدم فراتر نهیم و اثر میدان مغناطیسی سه بعدی دلخواه را بر روی پیوند بیابیم،

بایستی در گیج کولومب معادله (۱۸-۴) را مشابه (۱۹-۴) به شکل زیر بازنویسی نمائیم:

$$f - \frac{1}{1-\chi|\mathbf{A}|^2} |f|^2 f + i\beta \cos(\varphi) \frac{df}{dx} - \frac{\hbar^2}{2m^* \alpha (1-\chi|\mathbf{A}|^2)} \frac{d^2 f}{dx^2} = 0 \quad (1-5)$$

که در آن $\beta = 2\xi |\mathbf{A}| \sqrt{\chi} / (1-\chi|\mathbf{A}|^2)$ و φ زاویه میدان مغناطیسی نسبت به سطح فیلم ابررسانا

می‌باشد. اگر روش ارایه شده در زیر فصل ۴-۴ را تکرار کنیم، به زوج معادلات زیر می‌رسیم:

$$\begin{aligned} \delta f_r - \frac{\epsilon}{1-\chi|\mathbf{A}|^2} |f|^2 f_r - \beta \cos(\varphi) \frac{d\delta f_i}{dx} + \xi_{eff}^2 \frac{d^2 \delta f_r}{dx^2} \\ - n \frac{\epsilon}{1-\chi|\mathbf{A}|^2} (2|f|^2 \delta f_r + \operatorname{Re}\{f^2\} \delta f_r + \operatorname{Im}\{f^2\} \delta f_i) \approx 0 \quad (2-5) \\ \delta f_i - \frac{\epsilon}{1-\chi|\mathbf{A}|^2} |f|^2 f_i + \beta \cos(\varphi) \frac{d\delta f_r}{dx} + \xi_{eff}^2 \frac{d^2 \delta f_i}{dx^2} \\ - n \frac{\epsilon}{1-\chi|\mathbf{A}|^2} (2|f|^2 \delta f_i - \operatorname{Re}\{f^2\} \delta f_i + \operatorname{Im}\{f^2\} \delta f_r) \approx 0 \end{aligned}$$

پس از حل این معادلات دیفرانسیل خطی تزویج شده با شرایط مرزی صفر، می‌توانیم نتایج CPR

را بدست آوریم. نمودار تغییرات چگالی جریان الکتریکی بر حسب اختلاف فاز دو سر پیوند هنگامی که

میدان مغناطیسی خارجی با اندازه $\chi|\mathbf{A}|^2 = 0.5$ در زوایای مختلف به پیوند اعمال شده است در شکل

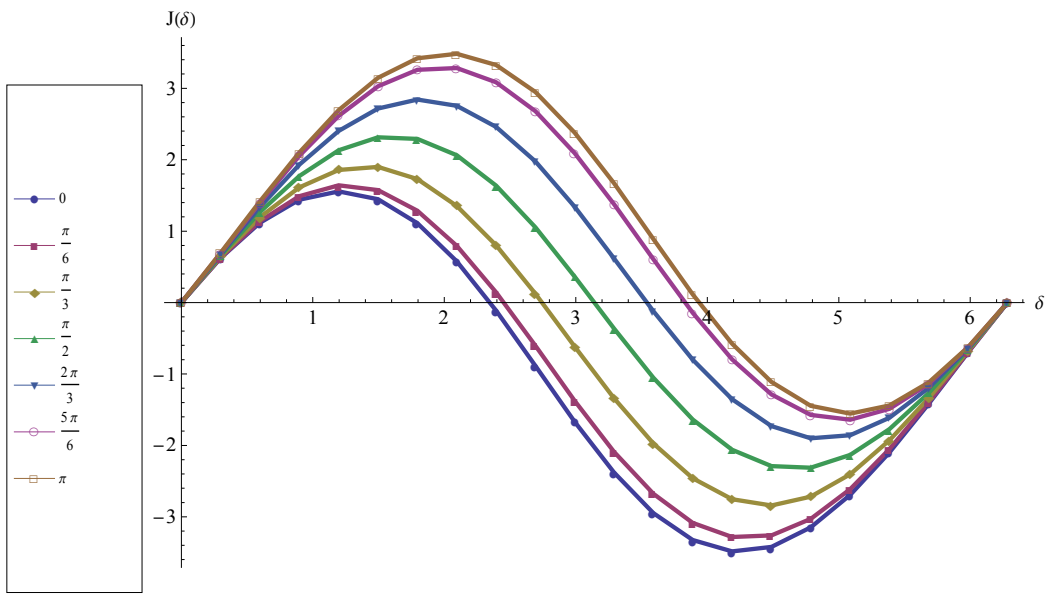
۱۴-۵ نشان داده شده است. مهمترین نکته‌ای که در شکل دیده می‌شود عدم تقارن شکل نسبت به نقطه

$\pi = \delta$ می‌باشد که نشان از تاثیرات غیر خطی شدید میدان مغناطیسی دارد. به همین ترتیب احتمالات

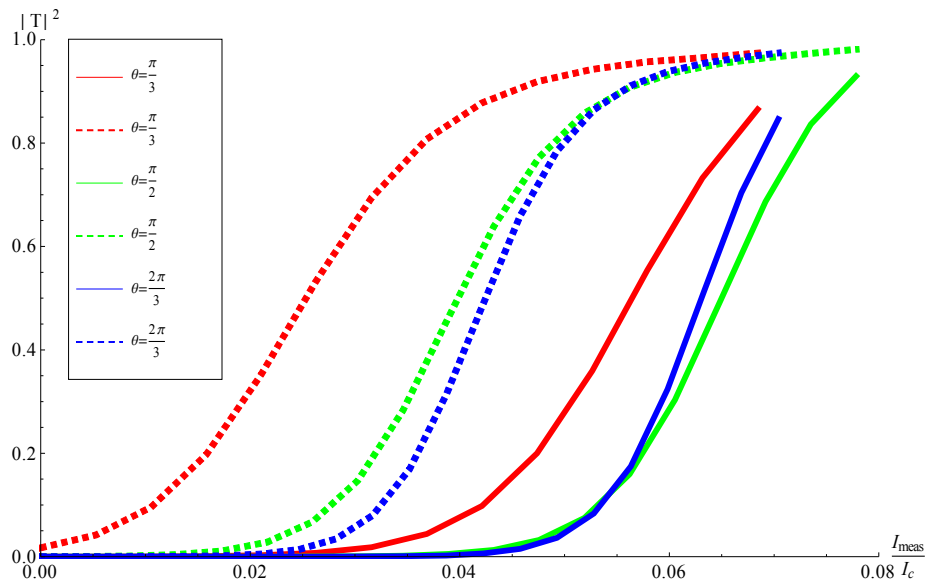
تونل زنی بر حسب جریان اندازه‌گیری هنگامی که میدان مغناطیسی با اندازه $\chi|\mathbf{A}|^2 = 0.5$ در زوایای

مختلف ($\varphi = \pi/3, 2\pi/3, \pi/2$) به پیوند اعمال شده است، در شکل ۱۵-۵ نشان داده شده‌اند. مشاهده

می‌شود که میدان حتی نسبت با راستای عمود نیز تقارن ندارد (جهت جریان پیوند اهمیت دارد).



شکل ۱۴-۵. نمودار تغییرات چگالی جریان الکتریکی بر حسب اختلاف فاز دو سر پیوند هنگامی که میدان مغناطیسی با اندازه $\chi|A|^2 = 0.5$ در زوایای مختلف به پیوند اعمال شده است.



شکل ۱۵-۵. احتمالات توزیعی بر حسب جریان اندازه‌گیری هنگامی که میدان مغناطیسی با اندازه $\chi|A|^2 = 0.5$ در زوایای مختلف ($\varphi = \pi/3, \pi/2, 2\pi/3$) به پیوند اعمال شده است.

فصل ۶ کیوبیت‌های تزویج شده

۱-۶ مقدمه

برهم‌نگی حالت‌ها^۱ در یک ذره کوانتومی تنها و در هم‌تنیدگی^۲ حالت‌های کوانتومی چندین ذره از مهمترین خواص تئوری اطلاعات کوانتومی می‌باشند [۳]. در واقع همین خواص منحصر به فرد کوانتومی هستند که پایه ایده‌های الگوریتم‌های کوانتومی و نهایتا ساخت رایانه‌های کوانتومی برای حل مسائل پیچیده را شکل می‌دهند.

در مورد برهم‌نگی حالت‌ها در فصول قبلی صحبت نموده‌ایم؛ در این فصل به سراغ سیستمی می‌رویم که دارای دو ذره کوانتومی است و بالقوه می‌تواند حالت در هم‌تنیده کوانتومی ایجاد کند.

¹ Superposition of states

² Entanglement

در هم تنیدگی ذرات کوانتومی با روش‌های مختلفی انجام می‌پذیرد. به طور خاص برای کیوبیت‌های فاز در هم تنیدگی توسط روش‌های زیر انجام گرفته است: تزویج خازنی [۵۰]، تزویج قابل کنترل [۵۱] و تزویج رزونانسی [۵۲] و همینطور توسط المان اسکوید [۵۴].

کار کردن با سیستم‌های دو کیوبیتی به وضوح به گیت‌های دو کیوبیتی نیز نیاز دارد. به طور مثال تحول زمانی آزاد بین حالت‌های $|01\rangle$ و $|10\rangle$ که به گیت (iSWAP) مشهور است.

گیت مذکور در هماهنگی کامل با کیوبیت‌های تزویجی از نوع خازنی می‌باشد [۵۰]. این گیت به همراه گیت‌های چرخشی تک کیوبیتی (گیت عملیاتی دو کیوبیتی است و عملگر واحد بر کیوبیت دوم اعمال می‌شود) یک مجموعه کامل از گیت‌های کوانتومی دو بعدی را تشکیل می‌دهد [۴۸].

ابتدا به توضیح چگونگی اندازه‌گیری حالت‌ها در سیستم‌های دو کیوبیتی می‌پردازیم، سپس در مورد همشنوایی^۱ به عنوان یک عامل بروز خطا در اندازه‌گیری حالت‌ها می‌پردازیم و در نهایت روش تزویج جدیدی ارایه می‌کنیم تا بدین ترتیب در حد بسیار خوبی همشنوایی را از بین ببریم.

۲-۶ اندازه‌گیری حالت سیستم‌های دو کیوبیتی

از آنجائیکه اندازه‌گیری در مورد سیستمهای دو کیوبیتی که حالت‌های آنها کاملاً از هم مستقل‌اند، هیچ تفاوتی با حالت تک کیوبیتی نمی‌کند، به سراغ سیستم‌هایی می‌رویم که در آنها نیاز به در هم تنیده شدن حالت‌ها (کیوبیت‌ها) وجود دارد. مطابق مکانیک کوانتومی، اگر کیوبیت‌های A و B در هم تنیده‌اند،

^۱ Crosstalk

تا زمانی که عملیات اندازه‌گیری هنوز انجام نشده است، آنها یک حالت دو بعدی جدا نشدنی را تشکیل می‌دهند [۹]. در این شرایط روش اندازه‌گیری بسیار مهم است و نسبت به بسیاری از موارد دیگر کار با کیوبیت‌ها حساس‌تر می‌باشد.

در مورد حالت‌های درهم‌تنیده، همانطور که می‌دانیم خروجی اندازه‌گیری کیوبیت A یا B، حالت زوج کیوبیت را تعیین می‌کند. اگر چه در سیستم‌های عملی برای به دست آوردن تشابه اندازه‌گیری بهتر ناچاریم که هر دو را اندازه‌گیری کنیم. در کیوبیت‌های فاز که تمرکز این پایان‌نامه بر روی آنهاست، برای دو حالت درهم‌تنیده مثل $\langle 10 | +\frac{1}{\sqrt{2}}, \text{اندازه‌گیری دقیق خواهد بود اگر در نیمی از تلاش‌ها،} \langle 01 | -\frac{1}{\sqrt{2}}$ کیوبیت A هیچ خروجی نداشته باشد در حالی که کیوبیت B به دلیل تونل‌زنی از حالت بر انگیخته ولتاژی نشان دهد و بالعکس.

یک روش معمول برای اندازه‌گیری حالت‌های دو کیوبیت اعمال دو جریان اندازه‌گیری مستقل می‌باشد. از آنجایی که پایه عملگرهای اندازه‌گیری همچنان در فضای $\{|0\rangle, |1\rangle\}$ می‌باشند نتایج اندازه‌گیری نیز در همان فضا خواهند بود. در نتیجه اگر شخص به پایه‌های درهم‌تنیده علاقه‌مند باشد، خروجی اندازه‌گیری باید به فضای واقعی کیوبیتها درهم‌تنیده تصویر شود.

نکته بسیار مهم در این سیستم این است که اندازه‌گیری حالت هر کیوبیت می‌تواند در حالت کیوبیت دیگر اختلال ایجاد کند، که باعث تخریب اطلاعات کوانتمی ذخیره شده در سیستم خواهد شد. در عمل در صورت اندازه‌گیری ترتیبی این دو کیوبیت، اتفاق تونل‌زنی در هر کیوبیت یک پالس ولتاژ در کیوبیت دیگر القا می‌کند که در نهایت باعث تزریق مقداری جریان خواهد شد که دارای طیف فرکانسی وسیعی می‌باشد؛ در نتیجه این پالس می‌تواند باعث تحریک ناخواسته کیوبیت دوم (قبل از اندازه‌گیری) شود و در نهایت باعث ایجاد خطأ در خروجی سیستم شود. این پدیده در ادبیات اطلاعات کوانتمی به عنوان

همشنوایی اندازه‌گیری^۱ [۵۵] شناخته می‌شود که انگیزه اصلی نویسنده برای تحقیق در این زمینه، حذف آن از سیستم کوانتمی می‌باشد.

وجود همشنوایی به شدت وابسته به زمانبندی دو پالس اندازه‌گیری است. در حقیقت ریشه همشنوایی در تحولات زمانی حالت‌ها می‌باشد. در مراحل اندازه‌گیری حالت‌های سیستم، دو بازه زمانی مهم برای همشنوایی وجود دارند. اول هنگام اعمال پالس‌های اندازه‌گیری و دوم پس از پایان یافتن آنها.

تا به امروز مسئله همشنوایی بازه زمانی دوم به طور مفصل تحقیق شده است [۵۱] و [۵۲]. در این بازه زمانی، جریان تزریق شده ممکن است به طور ناخواسته کیوبیت دوم را تحریک کند و به تونل‌زنی ناخواسته پس از پایان پالس اندازه‌گیری منجر شود و متعاقباً مدار اندازه‌گیری ممکن است یک ولتاژ پسین(غلط) نشان دهد. منشأ این اتفاق زمان‌های پاسخ‌دهی بزرگ SQUID‌های مدار می‌باشد [۵۶]. برای حذف این اثر ناخواسته المان تزویج‌کننده به جای یک عنصر ثابت مثل خازن، بایستی قابل کنترل باشد. این امر می‌تواند توسط مداری تشکیل شده از سلف‌های تزویجی و یا پیوند جوزفسون بین دو کیوبیت میسر شود [۵۱] و [۵۶]. در این صورت امکان قطع و وصل نمودن تزویج بین دو کیوبیت توسط جریان اعمالی به مدار میانی، وجود دارد.

اگر چه ایجاد همشنوایی در حقیقت از همان ابتدای عملیات اندازه‌گیری آغاز می‌شود؛ هنگامی که شار انرژی حتی شدیدتر است (در بازه زمانی اول). دلیل این اتفاق مهم دامنه‌های بزرگ ابتدایی نوسانات رابی است که توسط تونل‌زنی احتمالی حالت(ها) ایجاد شده است. علاوه بر این هر دو کیوبیت به

^۱ Measurement Crosstalk

صورت هم زمان با سد پتانسیل کوتاه شده مواجه می شوند که باعث می شود تونل زنی آسان تر شود و در نتیجه شدت هم شنوایی افزایش پیدا کند. برای کاهش این اثر می توان پالس های اندازه گیری را به صورت هم زمان به دو کیوبیت اعمال کرد (در بازه زمانی کوتاه تر از ایجاد مکانیزم هم شنوایی). متاسفانه آزمایش ها این حقیقت را نشان می دهد که در بهترین حالت حتی با دقیق ترین زمان بندی اعمال این پالس ها، تونل زنی در یک کیوبیت می تواند با احتمال خطای حدود ۱۵٪ باعث خروجی اندازه گیری اشتباه $|1\rangle$ در کیوبیت دوم شود [۵۳]. بنابراین همگام سازی این دو جریان در عمل امکان پذیر نیست و تونل زنی در دو کیوبیت در یک زمان اتفاق نمی افتد. این امر نهایتاً به یک تبادل انرژی ناخواسته بین دو کیوبیت منجر می شود و هم شنوایی ایجاد شده همچنان می تواند خروجی را تغییر دهد. این نوع از خطا تمرکز اصلی این بخش می باشد. در کارهای گزارش شده تا به امروز در مورد هم شنوایی، از انواع تزویج کننده های قابل کنترل برای جدا سازی کیوبیت ها درست بعد از اعمال پالس های اندازه گیری برای کم کردن هم شنوایی استفاده شده و یا برخی برای محاسبه آن از تبدیل فوریه کمک گرفته اند (پاسخ دائم نه گذرا) که در عمل با صرف نظر کردن از انتقال انرژی در زمان های ابتدایی است. مهم ترین برتری سیستم ارائه شده در این پایان نامه حذف تقریبی هم شنوایی به طور کلی از سیستم و در همه زمان ها می باشد.

اگر به شکل ۸-۳ بازگردیم، در کیوبیت فاز معرفی شده، جریان I_1 برای اعمال گیت های چرخش حول صفحه $y-x$ استفاده شده است. عملیات تونل زنی کوانتمی از حالت برانگیخته در سمت (b) نشان داده شده است که در آن Γ_1 مرتبط با نرخ تونل زنی کوانتمی می باشد [۳۹].

به طور مشابه تشابه اندازه گیری مطابق رابطه زیر تعریف می شود [۵۷]:

$$F = \max\{P_{11} - P_{01}\} \quad (1-6)$$

که P_{01} احتمال اندازه گیری ناخواسته حالت برانگیخته $|1\rangle$ می باشد، در حالی که حالت واقعی حالت

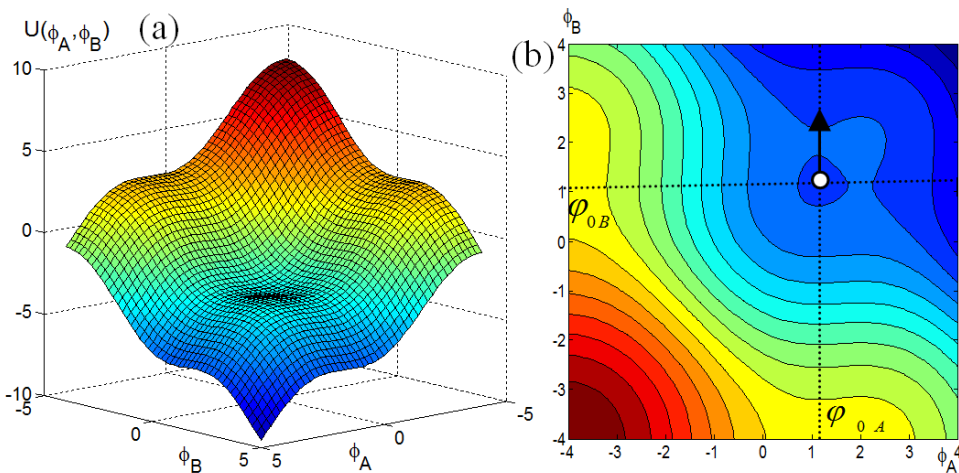
پایه $|0\rangle$ بوده است. به همین ترتیب P_{11} احتمال اندازه‌گیری $\langle 1|$ را نشان می‌دهد در حالی که حالت واقعی کیوبیت بوده است.

همانطور که قبلاً نیز اشاره شده است، بر اساس تئوری کوانتومی، تشابه اندازه‌گیری هیچ گاه به ۱ نمی‌رسد. تا به امروز بالاترین تشابه تئوری گزارش شده کنتر از ۹۹/۲٪ بوده است. ضمناً باید توجه کرد که در اندازه‌گیری‌های گزارش شده پالس‌های زمانی استفاده شده بسیار پهن بوده و می‌تواند به عدم همدوسی شدید در حالت کیوبیت‌ها منجر شود. علاوه بر این، پارامترهای پیوند جوزفسون فرض شده برای این اندازه‌گیری خارج از بازه عملی موجود برای پیوندھای جوزفسون در دسترس می‌باشد [۵۷]. گزارش‌هایی در زمینه بهینه‌سازی شکل پالس جریان برای گیت‌های پایه‌ای که منجر به تشابه اندازه‌گیری بالا می‌شود وجود دارد [۳۳] و [۵۸]. این در حالیست که تمامی این کارها در انتها به مرحله اندازه‌گیری رسیده و در نهایت تحت تاثیر اثرات تخریبی عملیات اندازه‌گیری قرار می‌گیرند.

۳-۶ طراحی مدار تزویج با استفاده از خازن و DC-SQUID

در این بخش یک سیستم دو کیوبیتی تزویجی طراحی شده است که به وسیله مفهوم تونل‌زنی کوانتومی دو-بعدی^۱ در فضای فاز بهینه شده است. در سیستمی که از دو کیوبیت فاز تزویج شده تشکیل شده است، پتانسیل هر کیوبیت به فاز کیوبیت دیگر نیز وابسته است. پتانسیل دو-بعدی که توسط تزویج خازنی تنها بین کیوبیت‌ها به دست آمده و نمای کانتور آن در شکل ۱-۶ نشان داده شده است.

^۱ 2D quantum tunneling



شکل ۱-۶. a) نمای ۳-بعدی و b) نمای کانتور؛ از پتانسیل فازی دو-بعدی سیستم بر حسب اختلاف فازهای کیوبیت‌های A و B خطوط نقطه‌چین دو راستایی را نشان می‌دهند که پتانسیل فازی بر اثر اعمال جریان‌های اندازه‌گیری در جهت آنها خم می‌شود. فلاش جهت تونل‌زنی احتمالی حالت را نشان می‌دهد اگر حالت کیوبیت $|01\rangle_{AB}$ بوده باشد.

تمام شکل‌های پتانسیل دو-بعدی در این پایان‌نامه توسط واحد انرژی $I_0 = \frac{\hbar}{2e}$ نرمالیزه شده‌اند که

جریان بحرانی پیوند جوزفسون می‌باشد.

در سیستم دو کیوبیتی پارامتری به نام زاویه فرار^۱ تعریف می‌کنیم که نشان دهنده اختلاف زاویه تونل‌زنی حالت کوانتومی از مسیر کمترین عمل^۲ می‌باشد. این مسیر فرار بر روی خمی قرار دارد که در آن پیچش^۳ تابع پتانسیل صفر است [۵۹] و [۶۰]. در حقیقت با اینکه مفهوم مسیر فرار بر روی تابع پتانسیل فازی یک مسیر معین است اما در حقیقت وجود خارجی ندارد و در هیچ آزمایشی نمی‌توان آن را نشان داد و به همین ترتیب نمی‌توان زاویه فرار را اندازه گرفت. این امر به این دلیل است که پایه فضای موجود از جنس فاز است نه از جنس مکان.

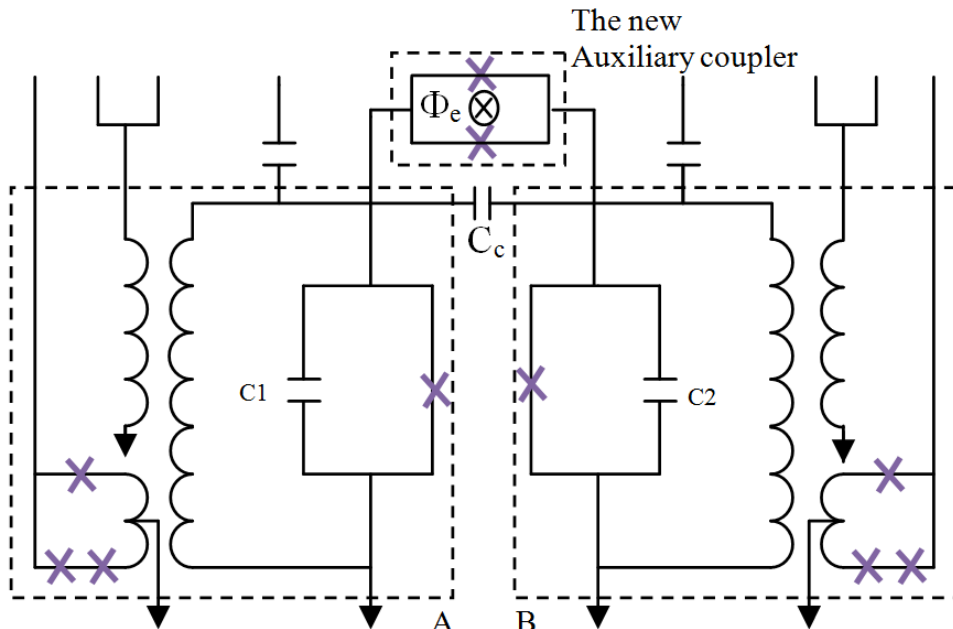
^۱ Escape angle

^۲ Least action trajectory

^۳ Curvature

برای مثال حالت $|01\rangle_{AB}$ را در نظر می‌گیریم که دو پالس اندازه‌گیری دقیقاً در یک زمان به هر دو کیوبیت رسیده باشد. حالت $|0\rangle_A$ کمترین ارتفاع را در مسیر $\phi_B = \phi_{0B}$ مشاهده می‌کند. با این حال احتمال تونل زنی حالت پایه همچنان قابل صرفنظر است. از طرفی حالت $|1\rangle_B$ به احتمال بسیار زیاد از سد پتانسیل مسیر $\phi_A = \phi_{0A}$ تونل می‌زند. در نتیجه تغییرات فاز در این مسیر همراه است با ایجاد ولتاژی در دو سر پیوند کیوبیت که متعاقباً باعث تحریک اسکوئید مدار اندازه‌گیری می‌شود.

مدار طراحی شده این سیستم در شکل ۲-۶ نشان داده شده است. کیوبیت‌های A و B توسط کادرهای خط‌چین مربعی در چپ و راست شکل قرار دارند. مدار تزویج کننده شامل یک خازن (C_c) و یک DC-SQUID می‌باشد. شار Φ_e توسط میدان مغناطیسی خارجی به اسکوئید اعمال شده است. ایجاد شده در حلقه اسکوئید، کل پتانسیل کیوبیت‌ها را تغییر شکل می‌دهد که در ادامه خواهیم دید باعث حذف تقریبی همشنوایی می‌شود.



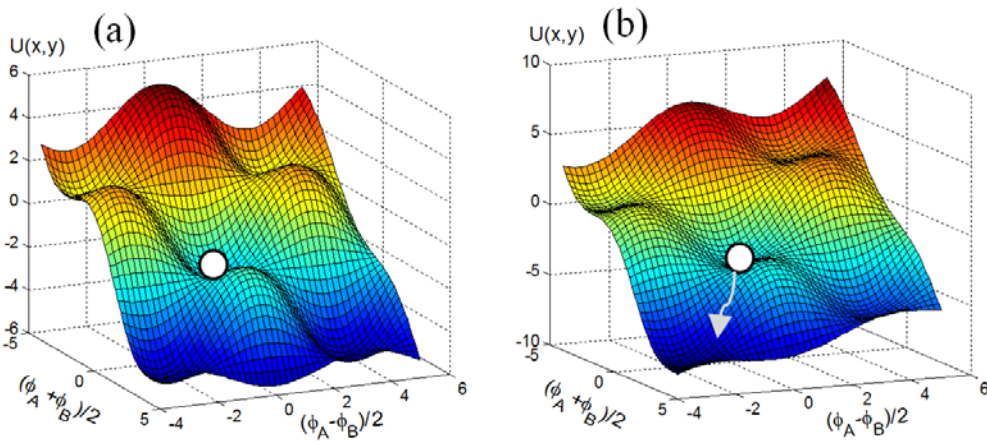
شکل ۲-۶. دو کیوبیت تک پیوندی که توسط مدار تزویج کننده شامل یک خازن و یک DC-SQUID به یکدیگر متصل شده‌اند.

همانطور که در مقدمه این فصل گفته شد، گیت SWAP از نظر تئوری اطلاعات کوانتومی بسیار مهم و اساسی می‌باشد و به همین دلیل بهینه‌سازی عملکرد سیستم طراحی شده، به طور خاص برای این گیت انجام شده است.

دو روش برای اندازه‌گیری حالت در این سیستم قابل تصور است. روش اول مشابه توضیحات بخش پیشین می‌باشد که توسط دو پالس اندازه‌گیری تا حد امکان همزمان که به هر کیوبیت اعمال شده-اند، اندازه‌گیری حالت صورت پذیرد. و یا می‌توان هر دو کیوبیت را فقط با تزریق یک پالس جریان، همراه میدان مغناطیسی خارجی مناسب که به اسکوئید تزوییج کننده اعمال شده است اندازه‌گیری کنیم.

۱-۳-۶ اندازه‌گیری حالت سیستم تزوییجی توسط دو پالس مجزا

پتانسیل فازی کلی دو-بعدی پیوندهای جوزفسون تزوییج شده توسط خازن تنها بر حسب نصف جمع $x = (\phi_A + \phi_B)/2$ و نصف تفاضل $y = (\phi_A - \phi_B)/2$ اختلاف فازهای کیوبیت‌های A و B قبل از اعمال جریان‌های اندازه‌گیری در شکل ۱-۳(a) نشان داده شده است. مشخص است که حالت‌های کوانتومی در مینیمم محلی این پتانسیل محبوس شده‌اند. در شکل (b) جریان اندازه‌گیری کیوبیت B اعمال شده است اما جریان اندازه‌گیری کیوبیت A اعمال نشده است. مشاهده می‌کنیم که حالت سیستم تمایل دارد در مسیر نشان داده شده تونل بزند.



شکل ۳-۶. پتانسیل فازی دو-بعدی سیستم تزویجی توسط خازن تنها بر حسب نصف جمع $(\phi_A + \phi_B)/2 = x$ و نصف تفاضل $y = (\phi_A - \phi_B)/2$ اختلاف فازهای کیوبیت‌های A و B. a) حالت سیستم در چاه پتانسیل محبوس است (قبل از اعمال جریان‌های اندازه‌گیری) b) جریان اندازه‌گیری کیوبیت B اعمال شده است اما جریان اندازه‌گیری کیوبیت A اعمال نشده است.

همان طور که قبلاً اشاره شد در عمل همزمانی این پالس‌ها امکان پذیر نمی‌باشد [۵۰] و [۵۶].

در نتیجه درست بعد از رسیدن پالس اول برای مثال به کیوبیت B تونل زنی احتمالی از $|1\rangle_B$ ممکن است

$|0\rangle_A$ را تحریک کند، قبل از اینکه پالس نهایی به کیوبیت A رسیده باشد.

مطابق بخش قبلی، برای فائق آمدن بر این موضوع، یک DC-SQUID کمکی به موازات خازن

تزویجی اضافه کرده‌ایم که هدف از این امر وابسته ماندن کیوبیت‌های فاز حتی در طی عملیات اندازه-

گیری می‌باشد (شکل ۲-۶). اسکوئید مذکور در محلی از تراشه قرار داده شده است که بتوان یک میدان

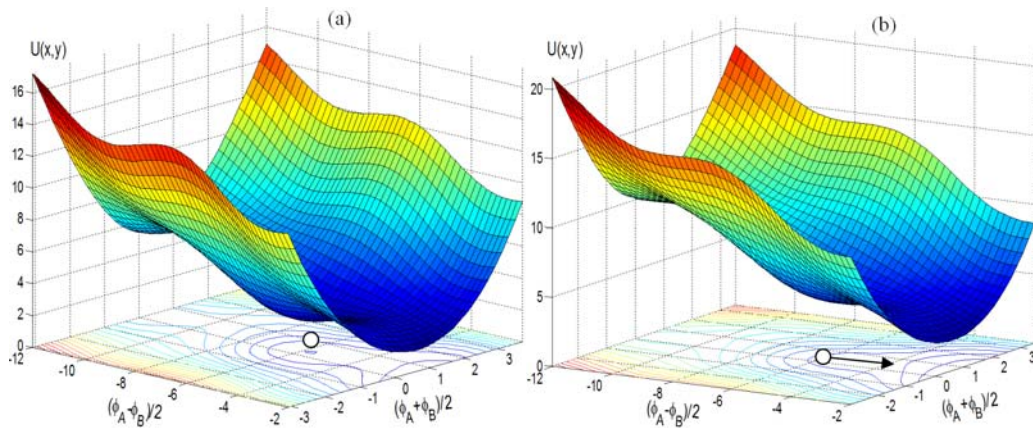
خارجی به آن اعمال کرد. این المان هندسه قله‌های پتانسیل دو بعدی را جابجا می‌کند. به این ترتیب می-

توانیم یک درجه آزادی (شار میدان خارجی) به سیستم اضافه کنیم و ابزاری برای شکستن سد پتانسیل

در مسیر مشخص به طوری که نرخ تونل زنی هر دو کیوبیت یکسان شود، تهیه کنیم. به وضوح این

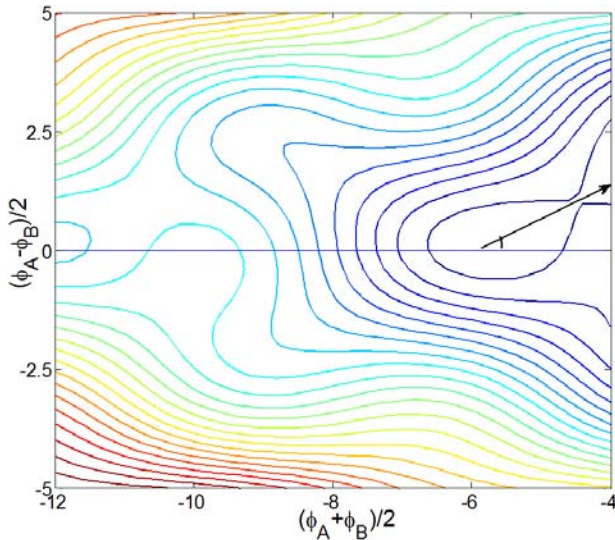
تراجکتوری^۱ در راستای نیم ساز محورهای اختلاف فاز $\frac{1}{\sqrt{2}}(\hat{\phi}_A + \hat{\phi}_B)$ می‌باشد که در آن راستا حالت‌ها به طور همزمان تونل می‌زنند.

در شکل ۶-۴ پتانسیل دو-بعدی و چاه پتانسیل سیستم تزویجی با DC-SQUID کمکی نشان داده شده است. حالت کیوبیت در یک چاه محلی به تله می‌افتدند تا جریان پالسی اعمال شود(a). پس از اینکه یک جریان اندازه‌گیری به یک کیوبیت برسد، برای مثال به B راستایی (فلش) نزدیک به نیمساز قطعاً تراجکتوری تونل‌زنی خواهد بود (b). بنابر این، با اعمال یک جریان تنها به یک کیوبیت، تراجکتوری تونل‌زنی موثر همچنان همان مسیر قبلی خواهد بود، که هر دو کیوبیت در همان مسیر طول خواهند زد و در نهایت همسنوایی اندازه‌گیری در این کیوبیتها حذف خواهد شد. زاویه فرار (θ) در اینجا زاویه بین محور x و راستای کمترین عمل است (شکل ۵-۶ را بینید).



شکل ۶-۴. پتانسیل فازی دو-بعدی سیستم تزویجی پیشنهادی توسط مدار کمکی با پارامترهای $\Phi_0/2\pi L I_0 = 0.1$ و $\Phi_e = \Phi_0/\pi$. (a) قبل از عملیات اندازه‌گیری (b) جریان اندازه‌گیری اعمال شده است. فلش مسیر فرار حالت محبوس در چاه را نشان می‌دهد.

¹ Trajectory



شکل ۶-۵. نمای کانتور پتانسیل دو-بعدی قبل از عملیات اندازه‌گیری با پارامترهای $\Phi_0/2\pi LI_0=0.025$ و $\pi\Phi_e/\Phi_0=2$. زاویه θ تراژکتوری کمترین عمل را نشان می‌دهد.

برای یافتن مقدار شار مناسب برای تونلزنی همزمان، بهتر است که شکل تحلیلی^۱ تابع پتانسیل را بدست آوریم. انرژی پتبسیل اسکوئید را می‌توان به شکل زیر بیان نمود [۵۹]:

$$U_S = 2E_{JS}[-I_{DC}(\theta_1 + \theta_2)/(4I_{0S}) - \frac{1}{2}\cos\theta_1 - \frac{1}{2}\cos\theta_2 + (\Phi_0/2\pi LI_{0S})(\frac{1}{2}(\theta_1 - \theta_2) - \pi\Phi_e/\Phi_0)] \quad (۲-۶)$$

که در آن I_{DC} فازهای اسکوئید هستند، E_{JS} انرژی پیوندها است و $\theta_1 = \phi_A - \phi_B$ و $\theta_2 = \phi_B - \phi_A$ می‌باشد. فرض شده است که هر دو پیوند SQUID دارای سلف جریانی است که در حلقه اسکوئید می‌چرخد. فرض شده است که هر دو پیوند SQUID معادل یکسانی هستند. L مقدار اندوکتانس حلقه SQUID، و Φ_e مقدار شار میدان خارجی است. با بازنویسی انرژی مذکور نسبت به اختلاف فازهای پیوندهای جوزفسون، به دلیل شرط $\theta_1 + \theta_2 = 0$ اولین

^۱ Analytical form

بخش حذف می‌شود. با در نظر گرفتن اینکه جریان‌های یکسانی به پیوندها اعمال شده است ($I_1 = I_2$)

انرژی پتانسیل کل سیستم (کیوبیت‌های A و B همراه با SQUID تزویجی) برابر خواهد بود با:

$$U(\phi_A, \phi_B) = E_{Jq} \left(-\cos \phi_A - \cos \phi_B - \frac{I}{I_{0q}} \phi_A - \frac{I}{I_{0q}} \phi_B \right) + 2E_{JS} \left(-\cos \phi_A + \frac{\Phi_0}{2\pi L I_{0S}} \left[2(\phi_A - \phi_B) - \frac{\phi_e}{2} \right]^2 \right). \quad (3-6)$$

اگر فرض کنیم که پیوندها طوری ساخته شده‌اند که جریان بحرانی SQUID (I_{0S}) از جریان

بحرانی کیوبیت‌ها (I_{0q}) بسیار کوچکتر باشد ($I_{0S} \ll I_{0q}$), می‌توان عبارت فوق را به شکل زیر

بازنویسی نمود:

$$U(\phi_A, \phi_B) = 2E_J \left[-\cos x \cos y - \frac{I}{I_0} x + b \left(y - \frac{1}{8} \phi_e \right)^2 \right] \quad (4-6)$$

که در آن $E_J = E_{Jq}$ ، $\phi_e = 2\pi\Phi_e/\Phi_0$ و $b = 8/\pi\beta_L = 8\Phi_0/2\pi L I_0$ ، $I_0 = I_{0q}$ انرژی پیوند

جوزفسون هر کیوبیت می‌باشد. همچنین $I = I_b + I_p$ که جریان بایاس و I_p دامنه پالس اندازه‌گیری

می‌باشند.

دو پارامتر کلیدی برای توصیف دقیق پدیده تونل‌زنی دو-بعدی لازمند. احتمال فرار ($P_{esc}(|AB\rangle)$)

که نشان دهنده احتمال تونل‌زنی از حالت $|AB\rangle$ از میان سد دو-بعدی است و مقدار مناسب جریان

بایاس برای بدست آوردن تشابه اندازه‌گیری بالا را تعیین می‌کند. زاویه فرار θ که با مقدار همسنوایی

سیستم در ارتباط است. این دو پارامتر مستقیماً به جریان کیوبیت‌ها و مقدار شار خارجی اعمالی به

SQUID وابسته می‌باشند. باید توجه کرد که چون کیوبیت‌ها به هم تزویج شده‌اند نمی‌توان مقادیر

جریان بهینه را برای هر کیوبیت مستقلًا محاسبه نمود. بنابراین ناگزیریم که از روش پیشنهادی فوق

(تونل‌زنی دو-بعدی) برای بهینه‌سازی عملکرد سیستم کمک بگیریم.

ارتفاع سد پتانسیل در راستای مسیر فرار از رابطه $\Delta U = \Delta U_0 \sqrt{s_c \cos^3 \theta / 4}$ بدست می‌آید. فرکانس

پلاسمای نیز برای سیستم $\omega_D = \omega_0 (u \cos \theta / s_c)^{\frac{1}{4}}$ می‌باشد. که u مشتق سوم تابع پتانسیل در راستای فرار و s_c نسبت جریانی است که در آن پیچش تابع پتانسیل به صفر می‌رسد (مسیر فرار). توجه شود که ΔU_0 و ω_0 مقادیر ارتفاع سد پتانسیل و فرکانس پلاسمای در یک سیستم تک کیویتی می‌باشند [۵۹] و [۶۱].

جدول ۱-۶ (اعداد پر رنگ) مقادیر زاویه‌های فرار را به ازای مقادیر مختلف b و $\pi\Phi_e/\Phi_0$ ، متناسب با قدرت تزویج و دامنه شار مغناطیسی اعمالی نشان می‌دهد. همانطور که مشخص است افزایش b به مقادیر کوچکتر θ می‌انجامد. این در نهایت باعث می‌شود که همثناوی حذف شود، چون تغییرات فاز در کیویت‌ها برابر خواهد بود $\Delta\phi_B = \Delta\phi_A$. بنا بر این نرخ‌های تونل‌زنی برای حالت‌های هر دو کیویت یکسان خواهد بود و اندازه‌گیری نیز زمان انجام می‌شود.

جدول ۱-۶. زاویه فرار θ بر حسب قدرت تزویج b و شار مغناطیسی خارجی نرمالیزه $\pi\Phi_e/\Phi_0$. اعداد پر رنگ: نتایج اعمال دو پالس جریان اندازه‌گیری هم‌زمان. اعداد کم‌رنگ: تک پالس جریان اعمال شده است.

		b				
		0.2	0.4	0.6	0.8	1
$\pi\frac{\Phi_e}{\Phi_0}$	0.8	20.1° 22.5°	12.4° 13.5°	8.7° 9.3°	6.7° 7.1°	5.4° 5.7°
	1.2	24.3° 25.8°	16.3° 17.2°	12.0° 12.5°	9.4° 9.7°	7.6° 7.9°
	1.6	27.0° 28.0°	19.2° 19.9°	14.6° 15.0°	11.6° 11.9°	9.5° 9.7°
	2	28.8° 29.6°	21.4° 21.9°	16.6° 16.9°	13.4° 13.6°	11.1° 11.3°

در دماهای پایین که نوسانات حرارتی قابل صرف‌نظراند نرخ فرار از سد پتانسیل بر نرخ تونل‌زنی ماکروسکوپی غالب خواهد بود و برابر است با [۵۹]، [۶۱] و [۶۲].

$$\Gamma^{MQT} = \frac{\omega_{lD}}{2\pi} \sqrt{864\pi \frac{\Delta U}{\hbar\omega_{lD}}} \exp\left(-\frac{36}{5} \frac{\Delta U}{\hbar\omega_{lD}}\right) \quad (5-6)$$

به همین ترتیب احتمال فرار برابر خواهد بود با:

$$P_{esc} = 1 - e^{-\Gamma\Delta t} \quad (6-6)$$

معمولًا اختلاف زمانی در حدود $\Delta t = 50\mu s$ می‌باشد که با عرض پالس‌های جریان مورد استفاده

منتظر است [۵۹].

در اینجا بیانی از پیوست A را می‌آوریم که در آن مقادیر ویژه انرژی برای کل کیوبیت‌های تزویجی به طور کامل محاسبه شده است. از آنجایی که کیوبیت‌های A و B متقارن می‌باشند (این امر برای عملکرد متناسب گیت‌ها لازم است [۵۰]), فرکانس‌های پلاسمای برای این دو کیوبیت یکسان می‌باشند $\omega_A = \omega_B = \omega$ ، و بنابراین فرکانس انتقال متناظر با اختلاف انرژی بین حالت‌های $|00\rangle$ و $|11\rangle$ برابر است با 2ω که دو برابر اختلاف انرژی بین حالت‌های $|00\rangle$ و $|01\rangle$ می‌باشد.

حال مقادیر فرکانس پلاسمای توابع پتانسیل یک بعدی و دو بعدی را به شکل زیر تعریف می‌کنیم:

$$\omega_{lD} = \frac{1}{2}\omega_{2D}(|11\rangle) - \frac{1}{2}\omega_{2D}(|00\rangle) \quad (7-6)$$

$$\omega_{lD} = \omega_{2D}(|10\rangle, |01\rangle) - \omega_{2D}(|00\rangle) \quad (8-6)$$

با استفاده از (۶-۵) و (۶-۶) می‌توان احتمال فرار را برای هر حالت محبوس با استفاده از دو پارامتر کلیدی بدست آورد؛ فرکانس پلاسمای چاه پتانسیل و ارتفاع سد پتانسیل. مهم است که متذکر شویم محاسبات احتمالات تونلزنی برای یافتن مقادیر بهینه جریان بایاس با هدف افزایش تشابه اندازه‌گیری انجام شده است، در حالی که عملیات اندازه‌گیری مطابق روش ارائه شده در بخش بعد پیاده می‌شود. به دلیل وابستگی ایجاد شده توسط مدار تزویج کننده کیوبیت‌ها جریان بهینه بایستی مستقیماً توسط پتانسیل کل مجموعه و مفهوم کمترین عمل محاسبه شود. به بیان دیگر هر کیوبیت نمی‌تواند مستقیماً برای به

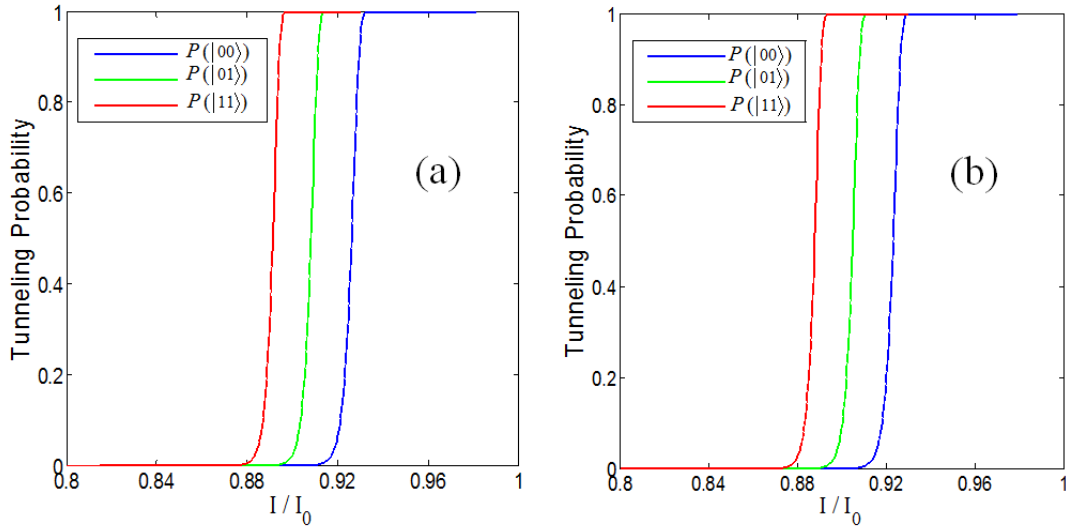
دست آوردن بیشترین تشابه اندازه‌گیری مورد تحقیق قرار گیرد. حالت‌های متقارن $|01\rangle$ و $|10\rangle$ سیستم برای ساخت یک گیت ایده‌آل SWAP کافی هستند. اگر چه در عملیات اندازه‌گیری همواره احتمال خطأ وجود دارد که به نتایج اشتباه منجر می‌شود. برای مثال حالت پایه $|0\rangle$ یک کیوبیت ممکن است از سد پتانسیل تونل بزند و خروجی اشتباه $|11\rangle$ را ایجاد کند و مشابها خروجی ناخواسته‌ای ایجاد شود اگر حالت بر انگیخته در چاه باقی بماند. بنابراین جریان‌های اندازه‌گیری برای داشتن مقدار بیشینه اختلاف بین احتمالات تونل زنی حالت‌های $|00\rangle$ و $|01\rangle$ ، بایستی به دقت انتخاب شوند که این امر عیناً با تعریف تشابه اندازه‌گیری در کیوبیت‌های ساده مرسوم متناظر است.

با فرض اینکه حالت دو بعدی در راستای کمترین عمل تونل بزند ($P_{esc}(|11\rangle)$) می‌تواند در یک چاه پتانسیل هم‌ارز با تک کیوبیت محاسبه شود که دارای فرکانس پلاسمایی برابر با مقدار محاسبه شده باشد. همچنین ارتفاع سد پتانسیل مطابق مقدار محاسبه شدی $\Delta U - 2\hbar\omega_{1D}$ قرار داده می‌شود. عملیات یکسانی برای محاسبه احتمالات فرار $P_{esc}(|01\rangle) = P_{esc}(|10\rangle)$ با قرار دادن مقدار سد پتانسیل $\Delta U - \hbar\omega_{2D}(|01\rangle \text{ or } |10\rangle) = \Delta U - \hbar\omega_{1D}$

با کاهش شار مغناطیسی خارجی زاویه فرار θ به صفر نزدیک می‌شود (جدول ۱-۶ را ببینید). این امر نشان می‌دهد که همسنوایی کاهش پیدا کرده است در حالی که تشابه اندازه‌گیری نیز مقداری کم شده است. بنابراین بین تشابه اندازه‌گیری بالا و همسنوایی کم یک تعادل نسبی^۱ برقرار است. در مقادیر بزرگ b همسنوایی نیز کاهش پیدا می‌کند در حالی که در تشابه اندازه‌گیری تاثیر بسیار کمی مشاهده می‌شود.

¹ Trade off

شکل ۶-۶(a) احتمالات تونل زنی را هنگامی که دو پالس جریان هم‌زمان اعمال شده‌اند، نشان می‌دهد. مشاهده می‌شود که تشابه اندازه‌گیری در سیستم دو کیوبیتی تا ۹۹٪ افزایش پیدا کرده است. با دستکاری در پارامترهای دیگر مثل شار مغناطیسی خارجی و یا افزایش قدرت تزوییج (b) سیستم می‌تواند به مقادیر بسیار کوچک هم‌شناوی با هزینه از دست دادن تشابه به اندازه کمتر از ۱٪ برسد. از دیدگاه دیگر برای زوایای فرار کمتر از ۵ درجه، هم‌شناوی تقریباً صفر است (قابل صرف‌نظر). نگاهی به جدول ۶-۱ مشخص می‌کند که با افزایش شار میدان خارجی، زاویه فرار هم زمان افزایش پیدا می‌کند اما ارتباط زاویه فرار θ نسبت به Φ_0 غیرخطی است. در نهایت می‌توان گفت هم‌شناوی کم (زوایای فرار کوچک) در مقادیر مناسب شار میدان در دسترس می‌باشدند



شکل ۶-۶. احتمالات تونل زنی برای حالت یک سیستم دو کیوبیتی بر حسب جریان اندازه‌گیری نرمالیزه (I/I_0) برای پارامترهای $y_B = \phi_e/8 = 0.2$ و $b = 0.8$ و $r = 0.021$. (a) با دو پالس جریان اندازه‌گیری، (b) تک پالس چریان اندازه‌گیری در $P_{esc}(|11\rangle)$ می‌باشدند.

۲-۳-۶ اندازه‌گیری حالت تنها توسط یک پالس

در این بخش تغییرات پارامترهای کیویت با اعمال تنها یک پالس اندازه‌گیری را محاسبه می‌کنیم.

نشان می‌دهیم که زاویه فرار θ برای مقادیر مناسب پارامترهای سیستم همچنان نزدیک به صفر باقی می-

ماند. در عمل نتایج عملیات اندازه‌گیری با اعمال یک جریان پالس به اندازه اعمال هم‌زمان دو جریان

مجزا مناسب خواهد بود. اگر تنها یک پالس اعمال شود پتانسیل کل سیستم برابر خواهد بود با:

$$U = 2E_J \left[-\cos x \cos y - \frac{2I_b + I_p}{2I_0} x + r \frac{I_p}{2I_0} y + b \left(y - \frac{1}{8} \phi_e \right)^2 \right] \quad (9-6)$$

که $r = I_p / (2I_b + I_p)$. از آنجاییکه جریان بایاس I_b تقریبا در حدود $0.9I_0$ می‌باشد و I_e نیز در

حدود $0.02I_0$ می‌باشد پارامتر r تقریبا برابر خواهد بود با 0.02 .

در جدول ۱-۶ مقادیر زاویه فرار برای اندازه‌گیری تک پالس و به ازای $r=0.02$ نشان داده شده

است. مقایسه این نتایج با مقادیر زاویه فرار بدست آمده در بخش قبل هم‌خوانی بسیار خوبی دارد.

با دقت به این موضوع که تنها یک پالس برای اندازه‌گیری نیاز است و مقادیر بسیار نزدیک

همشناوی با زوایای فرار مشابه یافت شده‌اند نتیجه می‌گیریم که به طور کلی روش اندازه‌گیری تک

پالسی نسبت به سیستم دو پالسی ارجح می‌باشد؛ چون از لحاظ پیاده سازی عملی ساده‌تر و موثرتر است.

همان طور که قبلا اشاره شد این امر به دلیل این حقیقت است که هم‌زمانی مطلق در عمل امکان

پذیر نیست ولی در تئوری، اعمال دو پالس هم زمان در مورد همشناوی (هر چند بسیار کم در حدود

۱٪) نتایج بهتری از خود نشان می‌دهد.

ارتفاع سد (ΔU) و فرکانس پلاسمما (ω_{lD}) برای این روش از روابط زیر به دست می‌آیند:

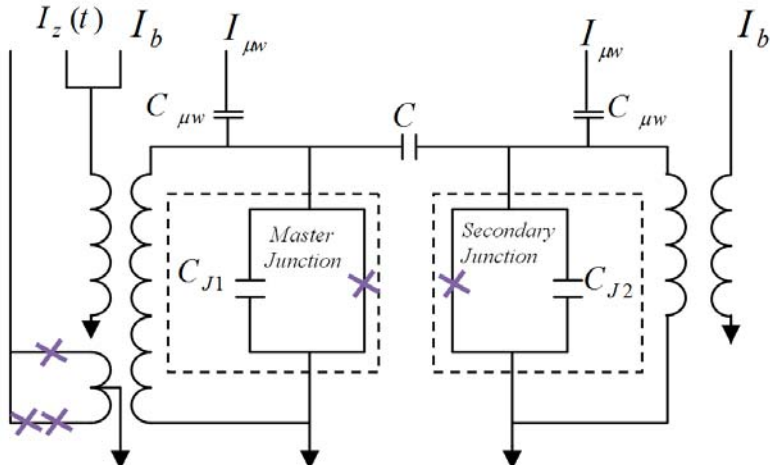
$$\Delta U = \Delta U_0 \sqrt{s_c \cos^3 \theta / 4} (1 + r \tan \theta)^{\frac{3}{2}}, \quad (10-6)$$

$$\omega_{lD} = \omega_0 (u \cos \theta / s_c)^{\frac{1}{4}} (1 + r \tan \theta)^{\frac{1}{4}}. \quad (11-6)$$

شکل ۶-۶(b) مفاهیم مشابه (a) را نمایش می‌دهد ولی هنگامی که تنها یک پالس اندازه‌گیری اعمال شده است. در اینجا تاثیرات پارامترهای مختلف در نظر گرفته شده‌اند. مقایسه این دو نمودار، این امر را آشکار می‌کند که تشابه اندازه‌گیری برای هر دو روش تقریباً یکسان است.

۶-۴ طراحی تک کیوبیت با عملکرد عالی

طرح پیشنهادی برای این منظور در شکل ۷-۶ نشان داده شده است که شامل یک پیوند جوزفسون اصلی و یک پیوند ثانویه می‌باشد. پایه کوانتموی این سیستم تک کیوبیتی بر حالت‌های $\{|00\rangle, |11\rangle\}$ تعریف شده است (به جای پایه‌های مرسوم $\{|0\rangle, |1\rangle\}$). با در نظر گرفتن این چنین سیستمی هر دو کیوبیت همواره در حالت کوانتموی یکسانی قرار دارند بنابراین تغییرات انرژی وابسته به تونلزنی در هر پیوند به خصوص در مراحل اندازه‌گیری هیچ تأثیری بر روی دیگری نخواهد داشت. با وجود انتقال انرژی به دلیل اختلاف زمانی، همسنوایی در سیستم طراحی شده ظاهر نخواهد شد.

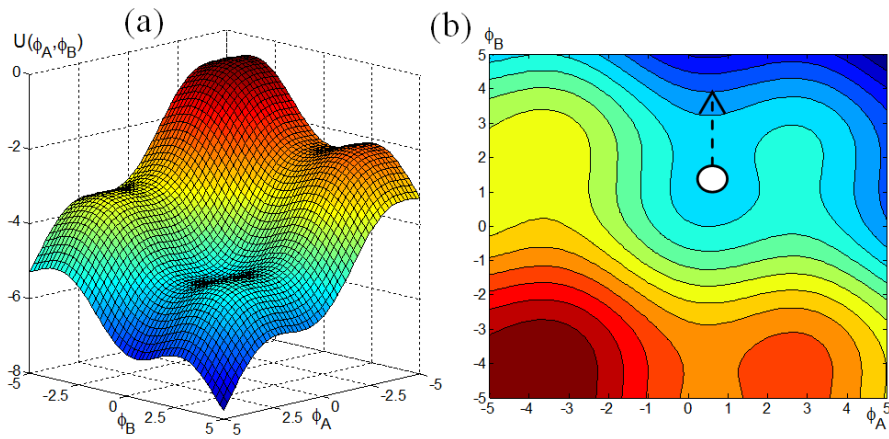


شکل ۷-۶. دو پیوند جوزفسون در این مدار به عنوان تک کیوبیت به هم تزویج شده‌اند. مقادیر خازن پیوندها و خازن تزویجی به ترتیب برابر است با $C_1 = C_2 = 4.3 \text{ pF}$ و $I_z = 1000 C_1$. جریان اندازه‌گیری (I_z) تنها به پیوند جوزفسون اصلی اعمال می‌شود.

در یک سیستم دو کیوبیتی برای حل مشکل همسنوای خازن تزویجی به مقداری است که زمان تزویج (بازه زمانی انتقال انرژی بین دو کیوبیت) در حدود میکرو ثانیه باشد. این زمان حدوداً هزار برابر بزرگتر از عرض پالس اندازه‌گیری است، بنابراین خروجی اندازه‌گیری شده هر کیوبیت در اسکوئید متناظر مستقل حاصل خواهد شد. اما برای ساختار تک کیوبیتی که در رژیم تزویجی قوی کار می‌کند مقدار مناسب خازن برای داشتن زمان‌های تزویج کوچکتر از عرض پالس اندازه‌گیری (۱۰٪) در حدود ۴۰۰pF می‌باشد که بسیار بزرگتر از خازن استفاده شده برای سیستم دو کیوبیتی است.

تمامی مراحل کار این سیستم از جمله مراحل آماده سازی، طریقه اعمال گیت، مراحل اندازه‌گیری و جریان‌های بهینه بایاس برای هر دو پیوند یکسان می‌باشند. از آنجایی که این پیوندها پارامترهای فیزیکی یکسانی دارند احتمال داشتن حالت‌های $|00\rangle$ و $|11\rangle$ در سیستم کلی بسیار بیشتر از وجود حالت‌های $|01\rangle$ و $|10\rangle$ می‌باشند. پارامترهای یکسان برای هر دو پیوند همچنین باعث داشتن فرکانس‌های پلاسمایکسان و حالت‌های ویژه یکسان می‌شود؛ هر چند جبران‌سازی کمی از تغییرات پارامترهای مختلف همچون جریان بحرانی و مقادیر خازن‌ها، توسط تنظیم مناسب مقادیر جریان‌های بایاس قابل انجام می‌باشد. بسیار قابل توجه است که با فرض تلورانس ۲/۵٪ برای هر کدام از پارامترهای پیوند، تشابه اندازه‌گیری در این سیستم تنها ۱/۰٪ نسبت به مقدار اصلی تغییر می‌کند.

پتانسیل کلی سیستم تک کیوبیتی پیشنهادی هنگامی که پالس اندازه‌گیری اعمال شده است، در شکل ۸-۶ نشان داده شده است. درک تفاوت بین مفاهیم تونل‌زنی دو بعدی برای یک تک کیوبیت (شکل ۷-۶) و دو کیوبیت تزویج شده (شکل ۲-۶) ضروریست. اگر پالس اندازه‌گیری به پیوند اصلی اعمال شود پتانسیل کل سیستم به سمت راستای محور فاز کیوبیت اصلی خم می‌شود. بنابراین احتمال تونل‌زنی حالت سیستم در این راستا بسیار زیاد خواهد بود.



شکل ۸-۶ a) نمای ۳-بعدی و b) نمای کانتور؛ از پتانسیل فازی دو-بعدی سیستم برای یک طراحی تک کیوبیتی با دو پیوند جوزفسون تزویجی بر حسب اختلاف فاز های دو پیوند. در این شکل جریان اندازه‌گیری به پیوند اصلی (A) اعمال شده است. فلش در (b) جهت تونل زنی احتمالی حالت را نشان می‌دهد.

تشابه اندازه‌گیری برای حالت‌های مثل $|00\rangle$ و $|11\rangle$ با داشتن مفهوم ترازهای انرژی در یک چاه پتانسیل تک پیوندی، محاسبه شده است. نرخ فرار حالت n -ام برای یک چاه پتانسیل دلخواه با استفاده از

تقریب پتانسیل مکعبی و روش^۱ WKB به دست می‌آید:

$$\Gamma_n = \frac{\omega_p}{n! \sqrt{2\pi}} (432N_s)^{\frac{1}{2}+n} \exp(-7.2N_s), \quad (12-6)$$

که در آن $N_s = \frac{2^{3/4}}{3} (E_J/E_c)^{1/2} (1 - I/I_c)^{5/4}$ شماره تقریبی حالت محبوس در چاه پتانسیل،

$E_n = \hbar \omega_p (n + \frac{1}{2})$ فرکانس پلاسمایی و $\omega_p = 2^{1/4} (2\pi I_c / \Phi_0 C)^{1/2} (1 - I_b/I_c)^{1/4}$

ام محبوس در چاه می‌باشد. I_0 و I_b به ترتیب جریان بحرانی، جریان کلی و جریان بایاس پیوند

جوزفسون هستند. همچنین $E_c = e^2/2C_1$ و $E_J = I_c \Phi_0 / 2\pi$ به ترتیب انرژی جوزفسون و

الکترواستاتیکی پیوند می‌باشند.

¹ Wentzel–Kramer–Brillouin

احتمال اندازه‌گیری حالت بر انگیخته به جای حالت پایه P_{01} و احتمال اندازه‌گیری صحیح حالت بر انگیخته P_{11} پس از اعمال جریان اندازه‌گیری در مقایسه با عرض پالس (τ) به دست می‌آیند:

$$P_{01}(\tau) = 1 - \exp\left(-\int_0^\tau \Gamma_0(t') dt'\right) = 1 - \exp(-\Gamma_0 \tau) \quad (13-6)$$

$$P_{11}(\tau) = 1 - \exp\left(-\int_0^\tau \Gamma_1(t') dt'\right) = 1 - \exp(-u \Gamma_0 \tau) \quad (14-6)$$

که در آن $\tau = \ln u / \Gamma_1$ و $u = \Gamma_1 / \Gamma_0 = 432N_s$ باشد [۵۷].

تشابه در اندازه‌گیری تابعی است از دامنه و عرض پالس جریان. با داشتن عرض پالس مورد نظر

مناسب تشابه اندازه‌گیری بهینه برابر خواهد بود با:

$$F^{opt} = \left(\frac{1}{u}\right)^{\frac{1}{u-1}} - \left(\frac{1}{u}\right)^{\frac{u}{u-1}} \quad (15-6)$$

محدودیت پارامترهای پیوند و داشتن عرض پالس‌های بسیار کوچک برای اندازه‌گیری (در حدود نانوثانیه) مسایلی هستند که برای به دست آوردن تشابه اندازه‌گیری بهینه باید بر آنها غلبه نمود.

در پیوست A نشان داده شده است که قدرت تزویج با مقدار $\omega C_c / C_1$ برابر است (الف-۷).

متعاقباً زمان تزویج برابر خواهد بود با $2\pi C_1 / (C_c \omega_1)$. برای داشتن زمان تزویج حدود 0.1ns با فرض

اینکه فرکانس پلاسمای در حدود 6 GHz باشد، نسبت خازن تزویجی در این مدار به خازن پیوند

جوزفsson برابر خواهد بود با:

$$C_c / C_{J1} \approx 100. \quad (16-6)$$

فرکانس انتقال حالت‌های این کیوبیت (بین $|00\rangle$ و $|11\rangle$) به مقدار $2\omega_p$ (الف-۸) به دست آمده

است که این مقدار برابر با فرکانس متناظر با اختلاف انرژی بین حالت بر انگیخته دوم $|2\rangle$ و حالت پایه

$|0\rangle$ از یک کیوبیت تک پیوندی می‌باشد.

احتمال تونل زنی $|11\rangle$ در راستای کمترین عمل که در این کیوبیت همان راستای محور فاز پیوند

اصلی می‌باشد، مطابق رابطه زیر به دست می‌آید:

$$P_{11}(\tau') = 1 - \exp\left(-\int_0^{\tau'} \Gamma_2(t') dt'\right) = 1 - \exp(-u' \Gamma_0 \tau') \quad (17-6)$$

در این رابطه $\frac{1}{2} \ln u' / \Gamma_0 = \Gamma_2 / \Gamma_0 = (432N_s)^2$ عرض پالس بهینه شده می‌باشد.

تشابه اندازه‌گیری می‌تواند به طور مشابه از رابطه (15-6) تنها با تعویض u' به جای u به دست آید.

در جدول ۲-۶ عرض پالس‌های اندازه‌گیری برای مقادیر مختلفی از جریان‌های بایاس و بحرانی

آورده شده است که در آنها فرض شده است مقدار I_p برابر با 100nA باشد. در این جدول نتایج در یک

کیوبیت تک پیوندی (ارقام پرنگ در صورت ستون سوم) و یک کیوبیت با پیوندهای تزویجی (ارقام

کم‌رنگ در مخرج ستون سوم) به ترتیب با فرض $u=1000$ و $F=0.992$

$u'=500000$ ($F=0.9999$) محاسبه شده‌اند. این مقادیر پس از بهینه‌سازی کیوبیت‌های عملی با پارامترهای

پیوند جوزفسون یکسان در هر دو ساختار مرسوم و جدید بدست آمده‌اند. در این صورت می‌توان به

تشابه اندازه‌گیری به ترتیب برابر با ۹۹.۳٪ و ۹۹.۹۹٪ در این کیوبیت‌ها رسید. جدول ۲-۶ نشان می‌دهد

که پالس‌های زمانی با عرض‌های حتی در حدود 0.9ns می‌توانند به عنوان پالس اندازه‌گیری در این

کیوبیت استفاده شوند. حتی در این شرایط خواص کیوبیت از کیوبیت‌های مرسوم بهتر می‌باشد.

در نهایت برای به دست آوردن تشابه اندازه‌گیری بالا (عالی) در یک مدار محاسبات کوانتومی کامل

که در آن یک الگوریتم کوانتومی پیاده سازی می‌شود بایستی هزینه دو برابر کردن خط پایانی کیوبیت‌ها را

پرداخت. در عمل در خط پایانی پیوندهای آینه‌ای (اصلی و ثانویه) به عنوان تشکیل دهنده حالت‌های

درهم‌تینیده بایستی قرار داده شوند. هنگام اجرای گیت‌های کوانتومی دو پیوند توسط اعمال جریان‌های

بایاس متفاوت از یکدیگر جدا می‌شوند (پیوست الف)، و در انتهای حالت‌های تزویجی توسط اعمال

جريان‌های باياس يكسان به پيوند‌ها تشکيل خواهند شد تا سیستم برای اندازه‌گيری آماده شود.

جدول ۲-۶. مقادير بهينه شده عرض پالس لازم اعمالي (ستون سوم) به يك سیستم تک كيوبيتي برای مقادير مختلف

جريان باياس و جريان بحراني پيوند‌های جوزفسون.

اعداد برنگ درصورت: در كيوبيتي با يك پيوند جوزفسون با در نظر گرفتن پارامتر $a=1000$ ($F=0.9992$)

اعداد کمزنگ در مخرج: در كيوبيتي با دو پيوند جوزفسون تزویچ شده و پارامتر $a'=500000$ ($F=0.9999$)

$I_c(\mu\text{A})$	$I_b(\mu\text{A})$	$\tau(\text{ns})$
10	9.78	285 / 1.08
12	11.77	268 / 1.02
14	13.75	254 / 0.97
16	15.74	241 / 0.92
18	17.73	233 / 0.89

۵-۶ زمان عدم همدوسی در کيوبيت

منبع غالب عدم همدوسی در کيوبيتها تلفات نيمه‌هادی می‌باشد [۶۳] که برای درک بهتر پدیده

درهم‌تنيگی بايستی بررسی شود. همچنین نويز جريان و نويز شار در اين عدم همدوسی شريکاند، البته

در اين کيوبيت نويز شار تاثير بسيار كمتری دارد. در سیستم طراحی شده جديد، تا زمان ايجاد درهم-

تنيگی، زمان عدم همدوسی برای هر حالت تفاوتی با يك کيوبيت تک پيوندی نمی‌کند. اما زمان عدم

همدوسی پس از ايجاد درهم‌تنيگی حالت‌ها تغيير خواهد نمود که با در نظر گرفتن (۱۶-۶) به اندازه

۱/۴۲ برابر زمان عدم همدوسی کيوبيتهاي تک پيوندی مرسوم محاسبه شده است (پيوست ب)؛ اين

مدت زمان، برای اجرای عملگرهای کوانتمی حتى بيش از مقدار لازم می‌باشد.

فصل ۷ نتیجه‌گیری و پیشنهادهایی برای تحقیقات آتی

در ابتدا آنالیزی از موضوع تونل‌زنی در پیوندهای جوزفسون آوردم که در آن از حل دقیق معادله دیفرانسیل غیرخطی گینزبرگ-لاندau با روش عددی پی‌درپی اختلال بهبود یافته شروع نموده و با محاسبه چگالی جریان الکتریکی در پیوند، پتانسیل موثر فازی دقیق و غیربدیهی را بدست آوردم. سپس انرژی حالت‌های کوانتومی محبوس در چاه را محاسبه کردیم و در نهایت با بدست آوردن احتمالات تونل‌زنی این حالت‌ها در شرایط مختلف نتیجه‌گیری‌های لازم برای عملکرد بهینه و به طور خاص اندازه-گیری موثر کیوبیت انجام دادیم. برای این منظور معیارهای منطقی مناسی تعريف و محاسبه کردیم و تأثیرات پارامترهای خود پیوند و پارامترهای خارجی سیستم همچون عرض پیوند، سطح مقطع پیوند، جریان بایاس و میدان مغناطیسی خارجی را بررسی کردیم. دیدیم که به طور کلی پیوندهایی با عرض بیشتر، نتایج بهتری خواهند داشت و سطح مقطع کوچکتر امنیت نوفه بیشتری تأمین می‌کند. جریان‌های بایاس بزرگتر باعث کاهش عمر حالت‌های کیوبیت می‌شوند، در حالی که جریان‌های بایاس کوچک

منجر به افزایش احتمال نشت و از بین رفتن اطلاعات خواهند شد؛ با در نظر گرفتن شرط لازم برای عمر کافی حالت‌ها (پایداری کیوبیت) مقدار بهینه جریان بایاس را پیدا نمودیم. مشاهده کردیم که میدان مغناطیسی خارجی اثرات غیر خطی شدیدی بر روی ارتباط چگالی جریان و اختلاف فاز می‌گذارد؛ با این حال اثرات مخربی بر عملکرد کیوبیت خواهد گذاشت. نتایج تئوری این کار را با نتایج یک آزمایش تجربی از یک گروه معتبر مقایسه کردیم و هماهنگی بسیار خوبی بین این دو مشاهده نمودیم که این امر صحت این محاسبات را تأیید می‌کند.

در ادامه در مورد سیستم‌های دوکیوبیتی فاز تزویجی تحقیق نموده و توسط مفهوم تونل‌زنی دو-بعدی، ساختار جدیدی معرفی کردیم که در آن برای بهبود مشخصات سیستم، دو پیوند جوزفسون هر کیوبیت از طریق یک خازن و یک المان DC-SQUID تزویج شده‌اند. بهبود این سیستم از به کارگیری یک پالس اندازه‌گیری و شار خارجی مناسب به ترتیب به پیوندها و اسکوئید به دست آمده است. همسنوایی در سیستمهای درهم‌تنیده یکی از مهمترین مشکلات در طول مرحله اندازه‌گیری می‌باشد که باعث رخ دادن خطا در خروجی می‌شود؛ به همین دلیل سیستم پیشنهادی طوری طراحی شده است که همسنوایی اندازه‌گیری در آن قابل صرف نظر باشد. در پتانسیل فازی دو-بعدی این سیستم، هر دو حالت در یک زمان و در مسیر مشخصی تونل می‌زنند و این امر باعث می‌شود که نتایج اندازه‌گیری یک کیوبیت بر روی حالت کیوبیت دیگر اثر مخربی نداشته باشد. این مسیر مناسب که توسط مسیر کمترین عمل مشخص می‌شود، که خود توسط شار میدان گذرنده از اسکوئید مورد نظر تعیین می‌شود. مقادیر شار لازم برای پائین آوردن مقدار همسنوایی در سیستم محاسبه شده و در کنار قدرت تزویج اسکوئید که به جریان آن وابسته است، معرفی شده‌اند. برای آسانی کار با سیستم، حالتی را بررسی نمودیم که به جای دو پالس اندازه‌گیری، تنها یک پالس اعمال گردد. مشاهده نمودیم که خروجی عملیات اندازه‌گیری مدار

تزویجی در این شرایط نیز چندان تفاوتی نمی‌کند و در عمل بسیار راحت‌تر خواهد بود که تنها یک جریان به یکی از پیوندها اعمال شود.

همچنین، با الهام از مدار دو کیوبیتی، سیستم تک کیوبیتی دو پیوندی طراحی نمودیم که در آن تشابه اندازه‌گیری پیش‌بینی شده به مقدار ۹۹/۹۹٪ رسید. این تشابه اندازه‌گیری عالی حتی به وسیله پالس‌هایی با زمان کمتر از یک نانو ثانیه به دست می‌آید، در حالی که بالاترین تشابهات گزارش شده تا به امروز توسط پالس‌های زمانی پهن بدست آمده‌اند. این امر به دلیل وجود خازن تزویجی مناسب حاصل شده است که پارامترهای: زمان تزویج، زمان اندازه‌گیری و نسبت آنها را تعیین می‌کند. در مداری با پارامترهای واقعی، حالت متعادل در شرایط $C_c=400\text{pF}$ بدست می‌آید که زمان تزویج حدوداً ۱۰٪ عرض پالس اندازه‌گیری می‌باشد.

در سیستم طراحی شده مجموعه حالت‌های کیوبیت $\{|00\rangle, |11\rangle\}$ می‌باشد که در این صورت حالت دو کیوبیت همواره یکسان خواهد بود. این امر جدا از امکان تشخیص خطأ در خروجی، تشابه اندازه‌گیری را افزایش می‌دهد؛ چون اختلاف انرژی بین دو حالت این مجموعه دو برابر شده است. در نهایت، زمان عدم همدوسی این ساختار را محاسبه نموده و دیدیم که نسبت به یک کیوبیت تک پیوندی مرسوم ۴۲٪ بهبود حاصل شده است. این زمان عدم همدوسی برای اعمال گیت‌های معرفی شده تا به امروز حتی از حد مورد نیاز نیز بیشتر می‌باشد.

به عنوان پیشنهاد برای فعالیت‌های آتی در این راستا چند موضوع زیر مطرح است:

- (۱) بررسی دقیق تحول زمانی سیستم و اعمال گیت‌های مختلف در کیوبیت فاز (تک پیوندی و دو پیوندی)
- (۲) بهینه‌سازی پارامترهای چینش مدار برای اعمال گیت‌های مختلف

۳) در صورت امکان تعیین یک استاندارد واحد برای گیت‌های مختلف

۴) بررسی دقیق تزویج کیوبیت فاز با انواع کیوبیت‌های دیگر

۵) مطالعه عمیق‌تر اثر میدان مغناطیسی خارجی و بدست آوردن ساختار هندسی مناسب برای پیوند

مورد استفاده

مراجع

- R. B. Ash, "Information Theory," New York: Interscience, ISBN 0-470-03445-9, [۱]
1965. New York: Dover, ISBN 0-486-66521-6, (1990).
- T.D. Ladd, F. Jelezko, R. Laflamme, Y. Nakamura, C. Monroe, J.L. O'Brien, [۲]
Quantum computers," *Nat. Rev.*, 464 ,08812, (2010)."
- C. H. Bennett and P. W. Shor, "Quantum Information Theory," *IEEE Trans. on Inf. Theory*, vol. 44, no. 6, Oct. (1998). [۳]
- D. Deutsch, "Quantum Theory, the Church-Turing Principle and the Universal Quantum Computer," *Proc. R. Soc. Lond. A*, vol. 400, no. 1818, 97-117, 8 July (1985). [۴]
- P. W. Shor, "Algorithms for quantum computation: discrete logarithms and factoring," *Proceedings of 35th Annual Symposium on Foundations of Computer Science*, pp. 124-134, (1994). [۵]
- L. K. Grover, "A fast quantum mechanical algorithm for database search," *Proceeding of STOC '96 Proceedings of the 28th annual ACM symposium on Theory of computing*, pp. 212-219, (1996). [۶]
- N. Gisin, G. Ribordy, W. Tittel, and H. Zbinden, "Quantum cryptography," *Rev. of Modern Phys.*, vol. 74, Jan. (2002). [۷]

- R. Feynman, "Simulating Physics with Computers," *International Journal of Theoretical Phys.*, 21, 6–7: 467–488. (1982), (Retrieved 2007-10-19). [۸]
- Nielsen, Michael A, and Isaac L Chuang, "Quantum Computation and Quantum Information," Cambridge University Press, (2000). [۹]
- Schuster, David Isaac, "Circuit Quantum Electrodynamics," Ph.D. Thesis, Yale Universtiy, (2007). [۱۰]
- H. Walther, B. T. H. Varcoe, B. Englert and T. Becker, "Cavity quantum electrodynamics," *Rep. Prog. Phys.*, 69 1325, (2006) [۱۱]
- H. Mabuchi and A. C. Doherty, "Cavity quantum electrodynamics: Coherence in context," *Science*, 298(5597):1372-1377, November (2002). [۱۲]
- Chen, C.T. "Advanced Linear Algebra," Wilseye, (2005). [۱۳]
- D. I. Schuster, A. A. Houck, J. A. Schreier, A. Wallraff, J. M. Gambetta, A. Blais, L. Frunzio, B. Johnson, M. H. Devoret, S. M. Girvin, and R. J. Schoelkopf, "Resolving photon number states in a superconducting circuit," *Nature*, 445, 515-518, (2007). [۱۴]
- D. Loss and D. DiVincenzo, "Quantum computation with quantum dots," *Phys. Rev. A*, 57, 120–126, (1998). [۱۵]
- J. M. Elzerman, R. Hanson, L. H. Willems Van Bereven, B. Witkamp, L. M. Vandersypen, and L. P. Kouwenhoven, "Single-shot read-out of an individual electron spin in a quantum dot," *Nature*, 430-431, (2004). [۱۶]
- J. P. Reithmaier, G. Sek, A. Loffer, C. Hofmann, S. Kuhn, S. Reitzenstein, L. V. Keldysh, V. D. Kulakovskii, T. L. Reinecke, and A. Forchel, "Strong coupling in a single quantum dot-semiconductor microcavity system," *Nature*, 432(7014):197-200, November (2004). [۱۷]
- T. Yoshie, A. Scherer, J. Hendrickson, G. Khitrova, H. M. Gibbs, G. Rupper, C. Ell, O. B. Shchekin, and D. G. Deppe, "Vacuum Rabi splitting with a single quantum dot in a photonic crystal nanocavity ,," *Nature*, 432(7014):200-203, November (2004). [۱۸]
- Werner Martienssen, Hans Warlimont, "Springer Handbook of Condensed Matter and Materials Data," ISBN-10: 3540443762, ISBN-13: 978-3540443766, Edition: 1, April 19, (2005). [۱۹]
- T. Van Duzer and C. W. Turner, "Principles of Superconductive Devices and

- Circuits”, New York: Elsevier North Holland, (1981).
- Charles P. Poole Jr., Horacio A. Farach, Richard J. Creswick, “*Superconductivity*,” [۲۱] ISBN-10: 012561456X, ISBN-13: 978-0125614566, April 3, (1996).
- Michael Tinkham, “*Introduction to Superconductivity*,” McGraw-Hill, New York, [۲۲] (1996).
- A. Barone, G. Paternò, “*Physics and Applications of the Josephson Effect*,” Wiley, [۲۳] Jan (2005).
- G. Wendum, V.S. Shumeiko, “*Superconducting quantum circuits, qubits and computing*,” in: M. Rieth, W. Schommers (Eds.), Handbook of Theoretical and [۲۴] Computational Nanotechnology, vol. 3, American Scientific, (2006).
- V. Bouchiat, D. Vion, P. Joyez, D. Esteve, and M. H. Devoret, “Quantum [۲۵] Coherence with a single Cooper pair,” *Physica Scripta*, vol. T67, 165-170, (1998).
- A. Blais, R. Huang, A. Wallraff, S. M. Girvin, and R. J. Schoelkopf, “Cavity [۲۶] quantum electrodynamics for superconducting electrical circuits: An architecture for quantum computation,” *Phys. Rev. A* 69, 062320, (2004).
- Jens Koch, Terri M. Yu, Jay Gambetta, A. A. Houck, D. I. Schuster, J. Majer, [۲۷] Alexandre Blais, M. H. Devoret, S. M. Girvin, and R. J. Schoelkopf, “Charge insensitive qubit design derived from the Cooper pair box,” *Phys. Rev. A* 76, 042319, (2007).
- C. Monroe, D. M. Meekhof, B. E. King, W. M. Itano, D. J. Wineland, [۲۸] “Demonstration of a Fundamental Quantum Logic Gate,” *Phys. Rev. Lett.*, 75, 4714-4717, (1995).
- F. F. Schmidt-Kaler, H. Häffner, M. Riebe, S. Gulde, G. P. T. Lancaster, T. [۲۹] Deuschle, C. Becher, C. F. Roos, J. Eschner, and R. Blatt, “Realization of the Cirac–Zoller controlled-NOT quantum gate,” *Nature*, 422, 408-411, (2003).
- L. Isenhower, E. Urban, T. Henage, X. L. Zhang, A. T. Gill, T. A. Johnson, T. G. [۳۰] Walker, and M. Saffman, “Demonstration of a Neutral Atom Controlled-NOT Quantum Gate,” *Phys. Rev. Lett.*, 104, 010503, (2010).
- J. L. O’Brien, G. J. Pryde, A. G. White, T. C. Ralph, and D. Branning, [۳۱] “Demonstration of an all-optical quantum controlled-NOT gate,” *Nature*, 426, 264-267, (2003).
- T. B. Bittman, M. J. Fitch, B. C. Jacobs, and J. D. Franson, “Experimental [۳۲]

- controlled-NOT logic gate for single photons in the coincidence basis,” *Phys. Rev. A*, 68, 032316, (2003). [۳۳]
- E. Lucero, M. Hofheinz, M. Ansmann, R. C. Bialczak, N. Katz, M. Neeley, A.D. O’Connell, H. Wang, A. N. Cleland, and J. M. Martinis, “High-Fidelity Gates in a Single Josephson Qubit,” *Phys. Rev. Lett.*, 100, 247001, (2008). [۳۴]
- T. Yamamoto, Y. A. Pashkin, O. Astafiev, Y. Nakamura, and J. S. Tsai, “Demonstration of conditional gate operation using superconducting charge qubits,” *Nature*, 425, 941-944, (2003). [۳۵]
- M. Steffen, M. Ansmann, R. C. Bialczak, N. Katz, E. Lucero, R. McDermott, M. Neeley, E. M. Weig, A. N. Cleland, and J. M. Martinis, “Measurement of the Entanglement of Two Superconducting Qubits via State Tomography,” *Science*, 313, 1423-1425, (2006). [۳۶]
- J. H. Plantenberg, P. C. de Groot, C. J. P. M. Harmans, J. E. Mooij, “Demonstration of controlled-NOT quantum gates on a pair of superconducting quantum bits,” *Nature*, 447, 836-839, (2007). [۳۷]
- L. DiCarlo, J. M. Chow, J. M. Gambetta, L. S. Bishop, B. R. Johnson, D. I. Schuster, J. Majer, A. Blais, L. Frunzio, S. M. Girvin, and R. J. Schoelkopf, “Demonstration of two-qubit algorithms with a superconducting quantum processor,” *Nature*, 460, 240-244, (2009). [۳۸]
- Y. Makhlin, G. Schön, and A. Shnirman, “Quantum-state engineering with Josephson-junction devices,” *Rev. Mod. Phys.*, 73, 357-400, (2001). [۳۹]
- G. Wendin and V. S. Shumeiko, “Quantum bits with Josephson junctions (Review Article),” *Low Temp. Phys.*, 33, 724, (2007). [۴۰]
- M. H. Devoret, A. Wallraff, and J. M. Martinis, “Superconducting Qubits: A Short Review,” *preprint arXiv:cond-matt/0411174*, (2004). [۴۱]
- I. Chiorescu, Y. Nakamura, C. J. P. M. Harmans, J. E. Mooij, “Coherent Quantum Dynamics of a Superconducting Flux Qubit,” *Science*, 299, 1869, (2003). [۴۲]
- G. Wendin, and V. S. Shumeiko, “*Handbook of Theoretical and Computational Nanotechnology*,” vol. 3, M. Rieth and W. Schommers, eds., American Scientific, (2006). [۴۳]
- S. Khorasani and B. Rashidian, “Modified transfer matrix method for conducting interfaces,” *J. Opt. A: Pure Appl. Opt.* 4, 251-256, (2002). [۴۴]

- G.R. Boogaard, A.H. Verbruggen, W. Belzig, T.M. Klapwijk, "Resistance of superconducting nanowires connected to normal-metal leads," *Phys. Rev. B* 69, 220503, (2004). [۴۴]
- K. Lin, Y.K. Kwong, M. Isaacson, J.M. Parpia, *Phys. B.* 165, 483, (1990). [۴۵]
- J.A. Haber, W.E. Buhro, J. Am., *Chem. Soc.* 120, 10847, (1998). [۴۶]
- رجوع شود به توضیحات تکمیلی مرجع [۳۵] بر روی اینترنت با آدرس:
<http://www.sciencemag.org/cgi/content/full/313/5792/1423/DC1> [۴۷]
- J. M. Martinis, "Superconducting Phase Qubits," *Quantum Inf. Proc.* 8, 81 (2009). [۴۸]
- M. Steffen, J. M. Martinis, and I. L. Chuang, "Accurate control of Josephson phase qubits," *Phys. Rev. B* 68, 224518 (2003). [۴۹]
- R. C. Bialczak, M. Ansmann, M. Hofheinz, E. Lucero, M. Neeley, A. D. O'Connell, D. Sank, H. Wang, J. Wenner, M. Steffen, A. N. Cleland, J. M. Martinis, "Quantum Process Tomography of a Universal Entangling Gate Implemented with Josephson Phase Qubits," *Nature Phys.* vol. 6, pp. 409-413, (2010). [۵۰]
- R. C. Bialczak, M. Ansmann, M. Hofheinz, M. Lenander, E. Lucero, M. Neeley, A. D. O'Connell, D. Sank, H. Wang, M. Weides, J. Wenner, T. Yamamoto, A. N. Cleland, J. M. Martinis, "Fast Tunable Coupler for Superconducting Qubits," *Phys. Rev. B*, vol. 106, 060501, (2011). [۵۱]
- R.A. Pinto and A.N. Korotkov, "Analysis of a tunable coupler for superconducting phase qubits," *Phys. Rev. B*, vol. 82, 104522, (2010). [۵۲]
- R. McDermott, R.W. Simmonds, M. Steffen, K.B. Cooper, K. Cicak, K.D. Osborn, S. Oh, D.P. Pappas, J.M. Martinis, "Simultaneous State Measurement of Coupled Josephson Phase Qubits," *Science*, vol. 307, pp. 1299-1302, (2005). [۵۳]
- R. Harris, M. W. Johnson, T. Lanting, A. J. Berkley, J. Johansson, P. Bunyk, E. Tolkacheva, E. Ladizinsky, N. Ladizinsky, T. Oh, F. Cioata, I. Perminov, P. Spear, C. Enderud, C. Rich, S. Uchaikin, M. C. Thom, E. M. Chapple, J. Wang, B. Wilson, M. H. S. Amin, N. Dickson, K. Karimi, B. Macready, C. J. S. Truncik, G. Rose, "Experimental Investigation of an Eight-Qubit Unit Cell in a Superconducting Optimization Processor," *Phys. Rev. B*, vol. 82, 024511, (2010). [۵۴]
- G. Kandasamy, C. J. Wellard, and L. C. L. Hollenberg, "Cross-talk compensation of hyperfine control in donor qubit architectures," *Nanotechnology*, vol. 17, pp. 4572–4580, Aug. (2006). [۵۵]

- A.G. Kofman, Q. Zhang, J.M. Martinis, A.N. Korotkov, "Theoretical analysis of measurement crosstalk for coupled Josephson phase qubits," *Phys. Rev. B*, vol. 75, 014524, (2007). [۵۶]
- T. A. Palomaki, S. K. Dutta, R. M. Lewis, H. Paik, K. Mitra, B. K. Cooper, A. J. Przybysz, A. J. Dragt, J. R. Anderson, C. J. Lobb, F. C. Wellstood, "Pulse Current Measurements and Rabi Oscillations in a dc SQUID Phase Qubit," *IEEE Trans. Appl. Super.*, vol. 17, pp. 162-165, (2007). [۵۷]
- S. Safaei, S. Montangero, F. Taddei, and R. Fazio, "Optimized single-qubit gates for Josephson phase qubits," *Phys. Rev. B*, vol. 79, 064524, Feb. (2009). [۵۸]
- V.L-Seguin, E.Turlot, C.Urbina, D.Esteve, M.H.Devoret, "Thermal activation of a hysteretic dc superconducting quantum interference device from its different zero-voltage states," *Phys. Rev. B*, vol. 46, pp. 5507-5522, (1992). [۵۹]
- B. Ivlev , J. P. Palomares-Báez, "Two-dimensional tunneling in a SQUID," *Phys. Rev. B*, vol. 82, 184513, (2010). [۶۰]
- F. Balestro, J. Claudon, J. P. Pekola, O. Buisson, "Evidence of two-dimensional macroscopic quantum tunneling of a current-biased DC- SQUID," *Phys. Rev. Lett.*, vol. 91, 158301, (2003). [۶۱]
- S. Kawabata, T. Kato, T. Bauch, "Theory of two-dimensional macroscopic quantum tunneling in a Josephson junction coupled with an LC circuit," *J. Phys.: Conf. Series*, vol. 150, 052105, (2009). [۶۲]
- R.-C. Ge, C.-F.Li, M. Gong, G.-C.Guo, "Partial-measurement-induced entanglement dynamics in a Josephson-junction system," *Europhys. Lett.*, vol. 89, 48005, 2010. [۶۳]
- T.Wu, Z.Li, J.Liu, "Diagonalizing the Hamiltonian of capacitively coupled superconducting phase qubits," *Japanese J. of Appl. Phys.*, vol. 45, Issue 6, pp. L180-L183, (2006). [۶۴]
- J. M. Martinis, K. B. Cooper, R. McDermott, M. Steffen, M. Ansmann, K. D. Osborn, K. Cicak, Seongshik Oh, D. P. Pappas, R.W. Simmonds, C. C. Yu, "Decoherence in Josephson Qubits from Dielectric Loss," *Phys. Rev. Lett.*, vol. 95, 210503, (2005). [۶۵]
- R.McDermott, "Materials Origins of Decoherence in Superconducting Qubits," *IEEE Trans. Appl. Super.*, vol. 19, 2012255, (2008). [۶۶]

- W. A. Phillips, "Two-level states in glasses," *Rep. Prog. Phys.*, vol. 50, pp. 1657- [۶۷]
1708, (1987).
- R.W. Simmonds, K.M. Lang, D. A. Hite, S. Nam, D. P. Pappas, and John M. [۶۸]
Martinis, "Decoherence in Josephson Phase Qubits from Junction Resonators,"
Phys. Rev. Lett., vol. 93, 077003, 2004.
- R. W. Simmonds, M. S. Allman, F. Altomare, K. Cicak, K. D. Osborn, J. A. Park, [۶۹]
M. Sillanpää, A. Sirois, J. A. Strong, J. D. Whittaker, "Coherent interactions
between phase qubits, cavities, and TLS defects," *Quantum Information
Processing*, vol. 8, pp. 117-131, 2009.
- P. Rebentrost and F. K. Wilhelm, "Optimal control of a leaking qubit," *Physical
Review B*, vol. 79, 060507, Feb. 2009. [۷۰]

پیوست الف (گیت (iSWAP

یک سیستم کوانتومی که دارای دو پیوند جوزفسون و یک خازن تزویجی باشد دارای لاگرانژی^۱ به

شکل زیر خواهد بود [۶۴]:

(الف-۱) (۱-۷)

$$L = \frac{1}{2} C_{J1} \left(\frac{\hbar}{2e} \right)^2 \dot{\phi}_1^2 + \frac{1}{2} C_{J2} \left(\frac{\hbar}{2e} \right)^2 \dot{\phi}_2^2 + E_{J1} \cos \phi_1 + E_{J2} \cos \phi_2 \\ + \frac{\hbar}{2e} \phi_1 I_{b1} + \frac{\hbar}{2e} \phi_2 I_{b2} + \frac{1}{2} C_c \left(\frac{\hbar}{2e} \right)^2 (\dot{\phi}_1 - \dot{\phi}_2)^2,$$

$$U_i(\phi) = E_{Ji} \cos \phi_i + \frac{\hbar}{2e} \phi_i I_{bi}, i=1,2 \quad (\text{الف-۲}) \quad (\text{۲-۷})$$

که در آن $U_i(\phi)$ پتانسیل هر پیوند نسبت به اختلاف فاز می‌باشد. فرکانس پلاسمای شرط

$$\partial U_i(\phi) / \partial \phi = 0 \quad \text{به شکل زیر به دست آمده است [۲۴]}$$

$$\omega = 2^{\frac{1}{4}} \omega_j \left(1 - \frac{I_b}{I_c} \right)^{\frac{1}{4}} \quad (\text{الف-۳}) \quad (\text{۳-۷})$$

که در آن $\omega_j = \sqrt{4\pi I_c / \Phi_0 C}$ و C خازن پیوند می‌باشد.

ممان‌های تزویجی پیوندهای جوزفسون مطابق زیر تعریف و محاسبه شده‌اند [۲۴]:

$$\begin{cases} p_1 = \frac{\partial L}{\partial \dot{\phi}_1} = C_1 \frac{\hbar}{2e} \dot{\phi}_1 - C_c \frac{\hbar}{2e} \dot{\phi}_2 \\ p_2 = \frac{\partial L}{\partial \dot{\phi}_2} = C_2 \frac{\hbar}{2e} \dot{\phi}_2 - C_c \frac{\hbar}{2e} \dot{\phi}_1 \end{cases} \quad (\text{الف-۴}) \quad (\text{۴-۷})$$

که در آن $C_i = C_{J_i} + C_c$

^۱ Lagrangian

با در نظر گرفتن روابط جابجایی کوانتمی^۱ بین دو اختلاف فاز و ممان‌های آنها، هامیلتونی متناظر به

شکل زیر به دست می‌آید:

الف-۵

(۵-۷)

$$H = \frac{p_1^2}{2m_1^*} + \frac{p_2^2}{2m_2^*} - E_{J1} \cos \phi_1 - E_{J2} \cos \phi_2 - \frac{\hbar}{2e} \dot{\phi}_1 I_{b1} - \frac{\hbar}{2e} \dot{\phi}_2 I_{b2} + \frac{C_c}{C_2 m_1^*} p_1 p_2 + \frac{1}{2} C_c \left(\frac{\hbar}{2e} \right)^2 (\dot{\phi}_1 - \dot{\phi}_2)^2$$

به نحوی که نسبت جریان‌ها به شکل $1 - k_i = I_{b_i} / I_{c_i}$ تعریف شده‌اند (۱) <>

با تعریف جرم‌های موثر برای هر پیوند به شکل

و $m_1^* = \left(\frac{\hbar}{2e}\right)^2 (C_1 C_2 - C_c^2) / C_2$ می‌توان هامیلتونی موثر را به دست آورد:

الف-۶

(۶-۷)

$$H_{eff} = \hbar \omega_1 \left(a_1^\dagger a_1 + \frac{1}{2} \right) + \hbar \omega_2 \left(a_2^\dagger a_2 + \frac{1}{2} \right) - \hbar \frac{C_c \sqrt{\omega_1 \omega_2}}{\sqrt{C_1 C_2}} (a_1^\dagger - a_1)(a_2^\dagger - a_2)$$

به طوری که $\omega_i = (2k_i)^{\frac{1}{4}} \sqrt{\hbar I_{c_i} / 2em_i^*}$ فرکانس پلاسمای موثر هر پیوند می‌باشد. با در نظر گرفتن

پارامترهای یکسان برای هر دو کیوبیت، بخش برهمنش هامیلتونی فوق را می‌توان به شکل ماتریسی زیر

نوشت

$$H_{int} = \hbar \omega_0 \frac{C_c}{C} (|01\rangle\langle 10| + |10\rangle\langle 01|) \quad \text{الف-۷} \quad (۷-۷)$$

که در آن $C = C_1 = C_2$

^۱ Quantum commutations

و در نهایت مقادیر ویژه این همیلتونی موثر برابر خواهند بود با:

$$\begin{aligned}\lambda_{1,2} &= \pm \frac{1}{2} \hbar \Omega \\ \lambda_{3,4} &= \pm \frac{1}{2} \hbar \sqrt{W^2 + \Delta^2}\end{aligned}\quad (\text{الف}-\text{V})$$

$$\Delta = \omega_1 - \omega_2 \quad \Omega = \omega_1 + \omega_2, \quad W = 2\sqrt{\omega_1 \omega_2} C_c / \sqrt{C_1 C_2}$$

هنگامی که جریان‌های بایاس اعمال شده مقادیر بسیار متفاوتی داشته باشند ($W \gg \Delta$) پیوندها به طور مستقل عمل خواهند کرد. به بیان دیگر حالت‌های سیستم در هم‌تنیده نخواهد بود. در شرایط عکس فرکانس‌های پلاسمایکسان خواهند بود ($\omega_1 = \omega_2$) که برای مراحل اندازه‌گیری و به دست آوردن تشابه اندازه‌گیری بالا مورد نیاز است.

پیوست ب (تلفات نیمه‌هادی)

ماتریس هامیلتونی برای یک سیستم دو حالته (TLS¹) در یک ماده نیمه هادی [۶۵]-[۶۷] به شکل

زیر نوشته می‌شود:

$$H_{TLS} = \frac{1}{2} \begin{pmatrix} \Delta & \Delta_0 \\ \Delta_0 & -\Delta \end{pmatrix} \quad (۹-۷)$$

هامیلتونی فوق در پایه‌های $|R\rangle$ و $|L\rangle$ نوشته شده‌اند که این حالت‌ها شکل‌های دو قطبی TLS می-

باشند. می‌توان حالت‌های ویژه ماتریس فوق را به نام‌های حالت پایه و برانگیخته محاسبه نمود:

$$\begin{aligned} |g\rangle &= \sin\left(\frac{\theta}{2}\right)|L\rangle + \cos\left(\frac{\theta}{2}\right)|R\rangle \\ |e\rangle &= \cos\left(\frac{\theta}{2}\right)|L\rangle - \sin\left(\frac{\theta}{2}\right)|R\rangle \end{aligned} \quad (۱۰-۷)$$

$$\text{که } \tan(\theta) = \Delta_0 / \Delta$$

بنابراین هامیلتونی برهم‌کنش [۶۵]-[۷۰] برای یک TLS و دو پیوند جوزفsson در حضور خازن

تزوییجی به شکل زیر بیان می‌شود:

$$(۱۱-۷)$$

$$\begin{aligned} H_{\text{int}} &= -E_{J1}d_1 - E_{J2}d_2 - E_c d_c \\ &= (edV_{J1} \cos(\eta)/x)(|L\rangle\langle L| - |R\rangle\langle R|) \\ &\quad + (edV_{J2} \cos(\eta)/x)(|L\rangle\langle L| - |R\rangle\langle R|) \\ &\quad + (ed'(V_{J1} - V_{J2}) \cos(\eta)/x')(|L\rangle\langle L| - |R\rangle\langle R|) \end{aligned}$$

که در آن E_{J1} ، E_{J2} و E_c دامنه‌های میدان الکتریکی القایی به ترتیب در پیوندهای جوزفsson و خازن تزوییجی می‌باشند. η ، $e.d$ و x همچنین به ترتیب زوایای نسبی ممان ثابت دو قطبی، ممان متغیر

¹ Two Level System

دو قطبی و ضخامت نیمه‌هادی پیوند می‌باشند. به طور مشابه $e.d'$ و x' ممان متغیر دو قطبی و ضخامت نیمه‌هادی خازن می‌باشند. V_{J1} و V_{J2} ولتاژهای موثر بین دو طرف پیوندهای جوزفسون می‌باشند که با

استفاده از (الف-۴) مطابق روابط زیر محاسبه می‌شوند:

$$\begin{aligned} V_{J1} &= \left(\frac{2e}{\hbar}\right)^2 \frac{1}{C_1 - C_c^2/C_1} \left(P_1 + \frac{C_c}{C_1} P_2\right) & \text{(۴-۷)} \\ V_{J2} &= \left(\frac{2e}{\hbar}\right)^2 \frac{1}{C_1 - C_c^2/C_1} \left(P_2 + \frac{C_c}{C_1} P_1\right) \end{aligned}$$

هامیلتونی برهم‌کنش نهایی در پایه‌های حالت‌های پایه و برانگیخته ماده نیمه‌هادی $\{|g\rangle, |e\rangle\}$ و کیوبیت $\{|1\rangle, |0\rangle\}$, با در نظر گرفتن تاثیر میدان‌های الکتریکی برابر خواهد بود با

(ب-۵) (۱۳-۷)

$$H_{\text{int}} = i(S/2) \left\{ |11\rangle\langle g| \left(\frac{1}{\sqrt{2}} |10\rangle + \frac{1}{\sqrt{2}} |01\rangle \right) \langle e| \right. \\ \left. - \left(\frac{1}{\sqrt{2}} |10\rangle + \frac{1}{\sqrt{2}} |01\rangle \right) \langle e| \langle 11| \langle g| \right\}$$

که $S = 2 \cos(\eta) \sin(\theta) (d/x) \sqrt{e^2 (\hbar \omega / 2C')}$ بدهست می‌آید و

$$C' = C_1 - C_c^2/C_1$$

نهایتاً نسبت نرخ میرایی برای حالت $|11\rangle \rightarrow \frac{1}{\sqrt{2}}(|01\rangle + |10\rangle)$ در پیوندهای تزویجی و نرخ میرایی در پیوندهای تکی $(|0\rangle \rightarrow |1\rangle)$ به شکل زیر به دست می‌اید:

$$\frac{\Gamma^{2D}}{\Gamma^{1D}} = 2 \left(\frac{C_{J1}}{C'} \right)^{\frac{3}{2}} \quad \text{(ب-۶)} \quad \text{(۱۴-۷)}$$

معادلات (ب-۵) و (ب-۶) با فرض $d' \ll d$ با هدف کاهش اثر تلفات نیمه‌هادی در خازن تزویجی محاسبه شده‌اند. با در نظر گرفتن (۱۶-۶) می‌توان نسبت فوق را با مقدار $7/0$ محاسبه نمود.

Abstract: The.

Keywords: Quantum Information, Superconductor, Phase Qubit, Josephson junction, Measurement Fidelity, Crosstalk.



**Sharif University of Technology
School of Electrical Engineering**

Ph.D. Thesis

Optimaization of the superconductor qubites operation

By:

Hesam Zandi

Supervisor:

Sina Khorasani

Coadvisor:

Mehdi Fardmanesh

September 2012